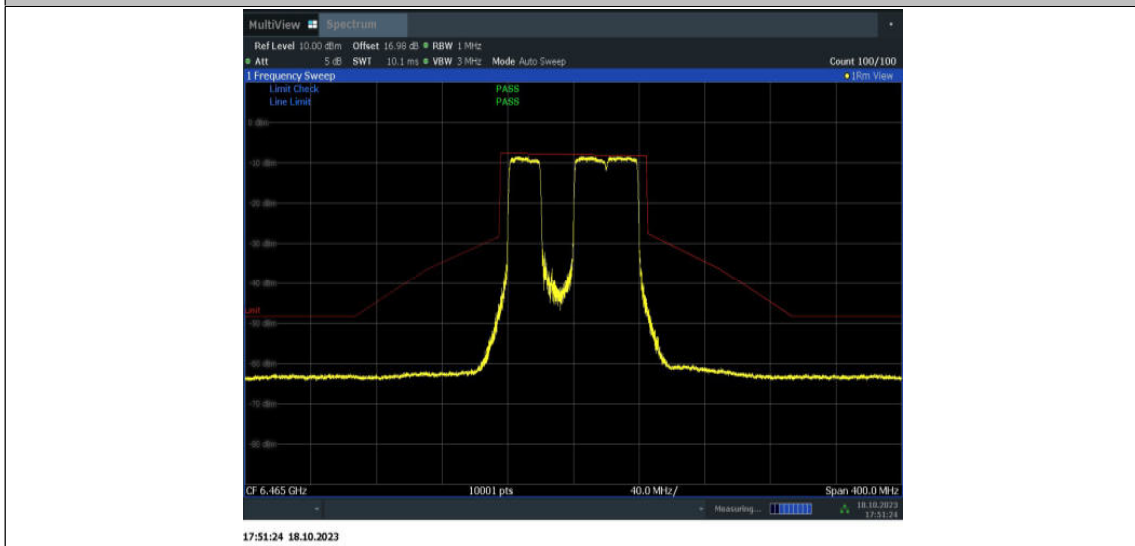
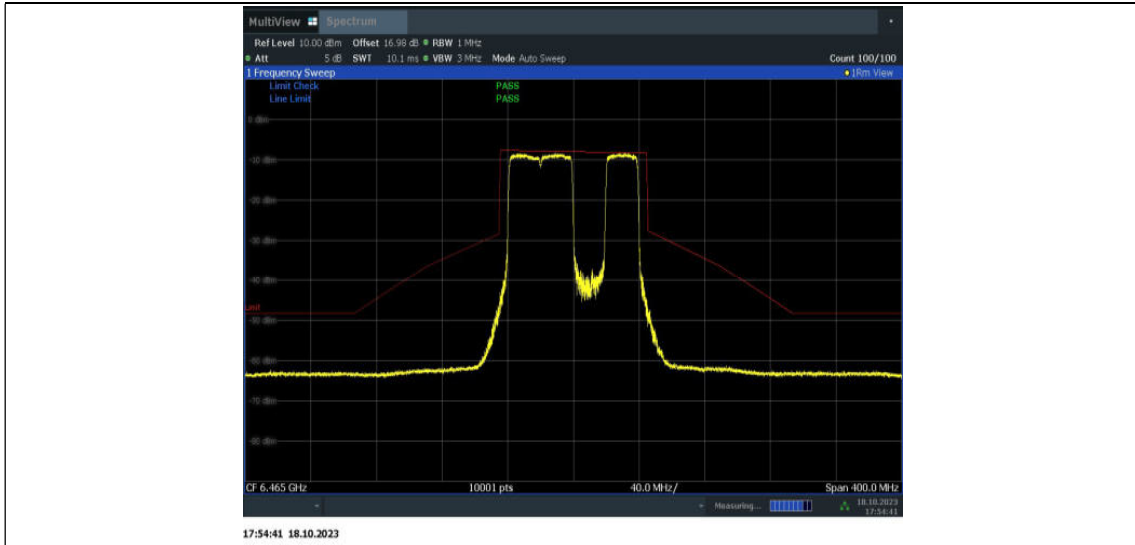


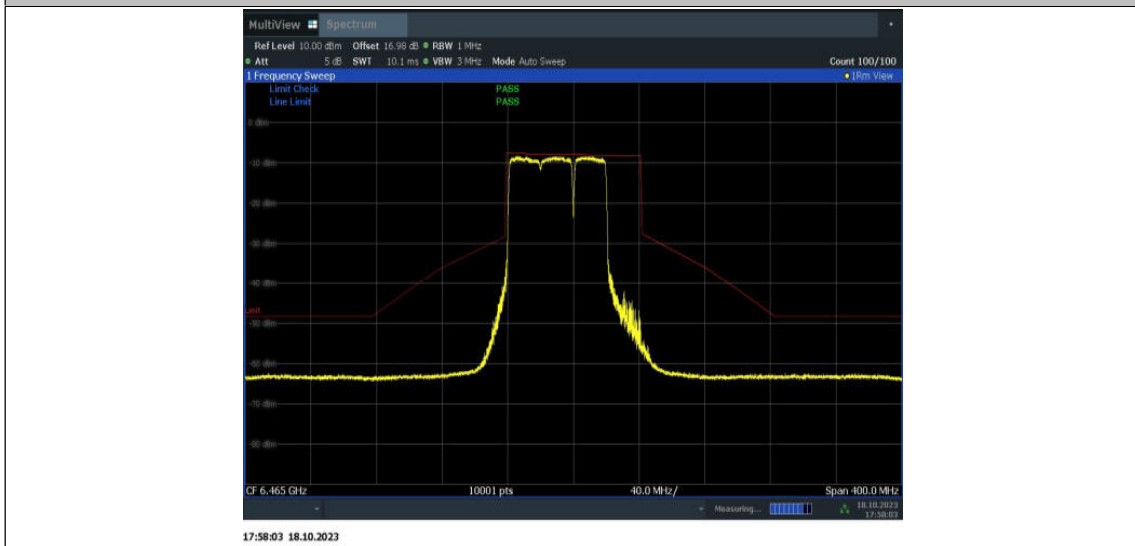
11BE80MIMO_Ant15_6465_484+242_OFDMA_2



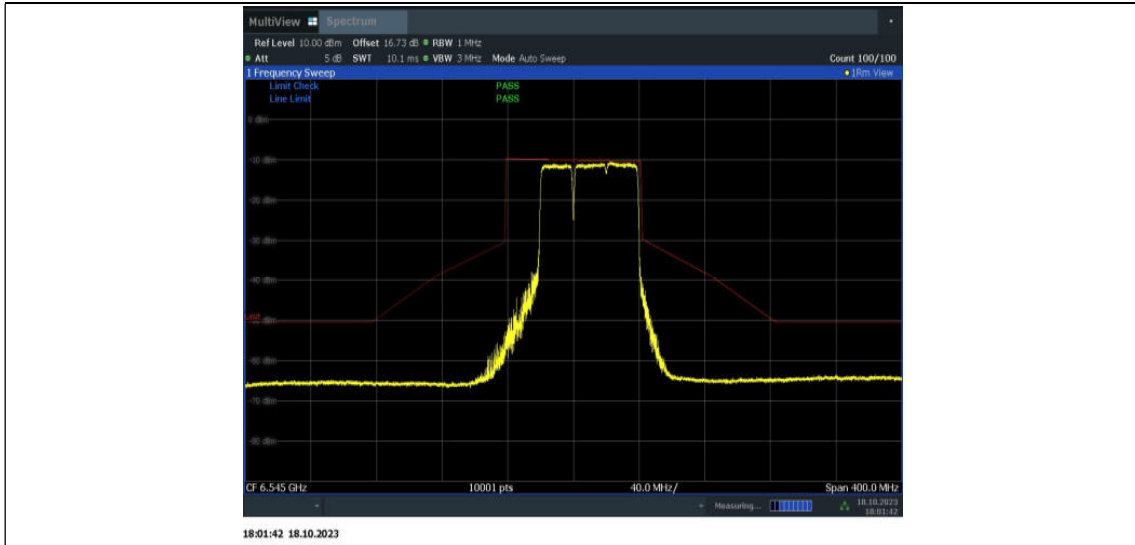
11BE80MIMO_Ant15_6465_484+242_OFDMA_3



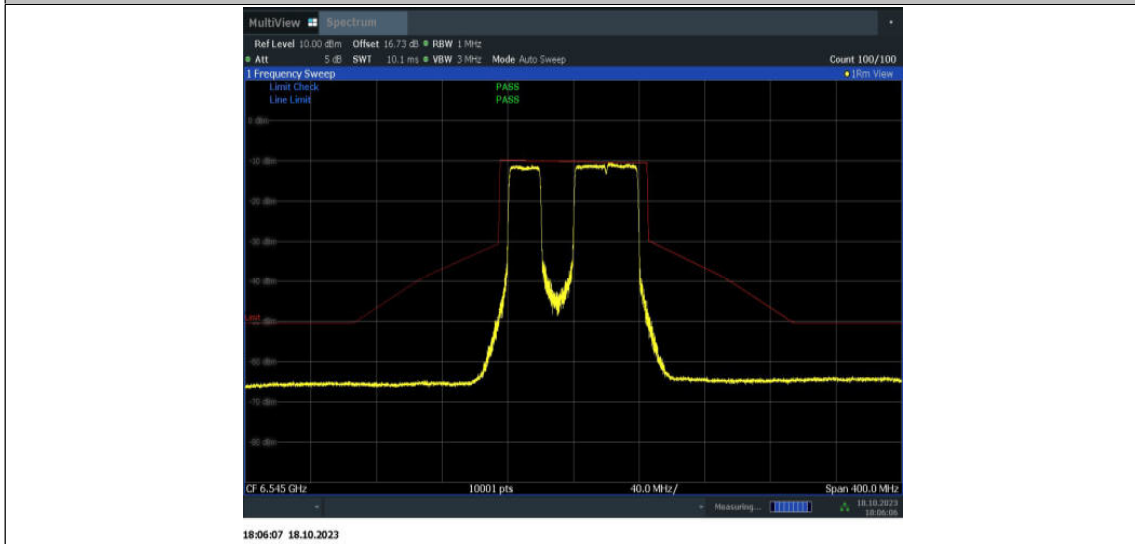
11BE80MIMO_Ant15_6465_484+242_OFDMA_4



11BE80MIMO_Ant9_6545_484+242_OFDMA_1



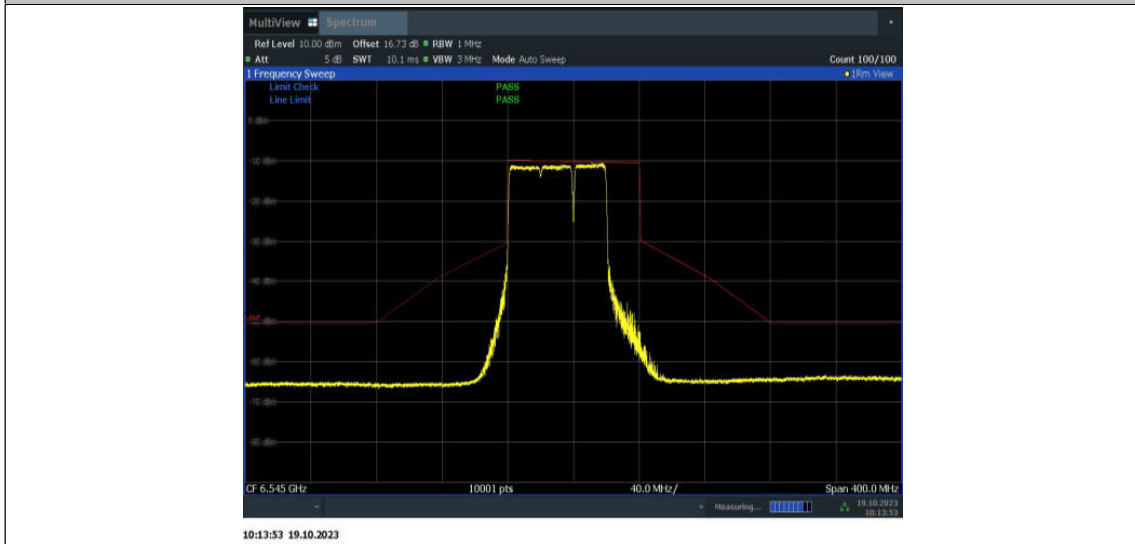
11BE80MIMO_Ant9_6545_484+242_OFDMA_2



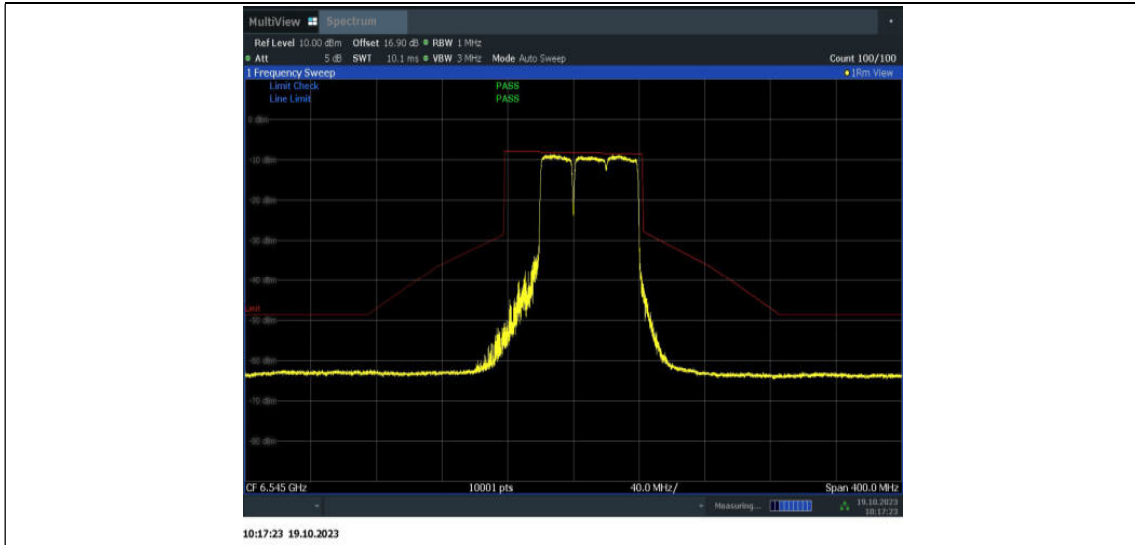
11BE80MIMO_Ant9_6545_484+242_OFDMA_3



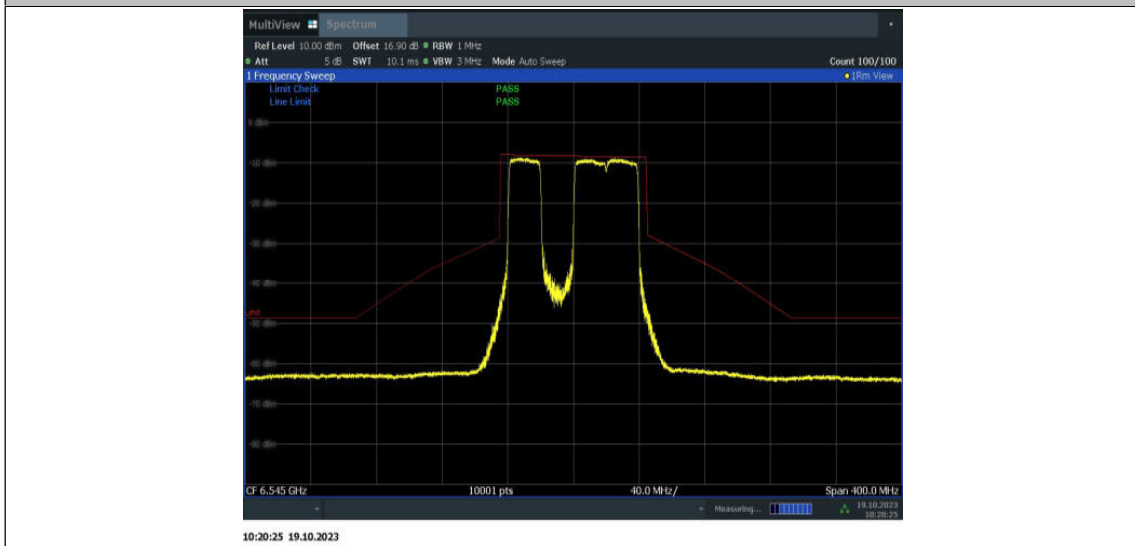
11BE80MIMO_Ant9_6545_484+242_OFDMA_4



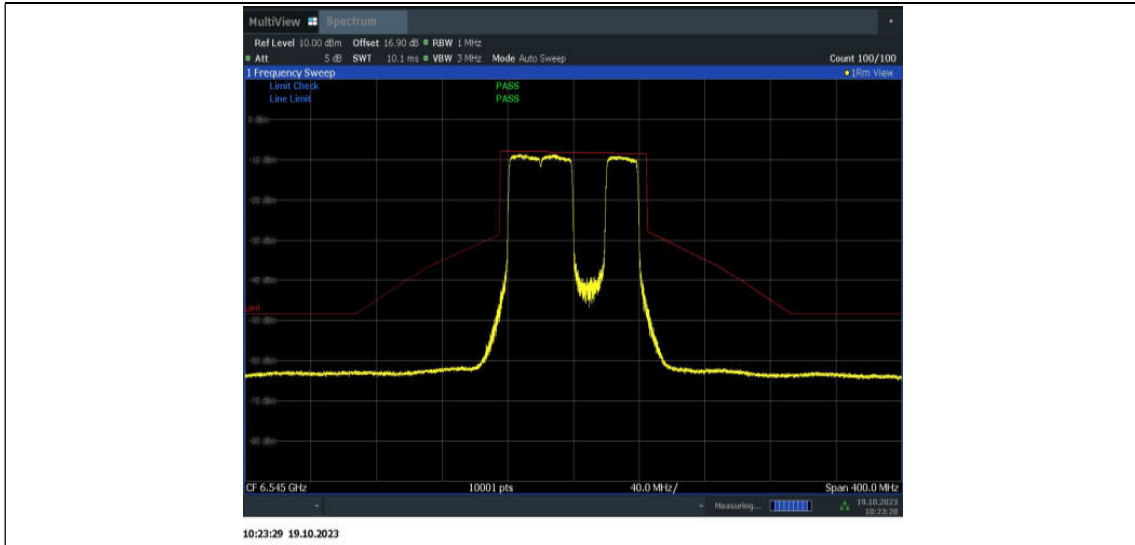
11BE80MIMO_Ant15_6545_484+242_OFDMA_1



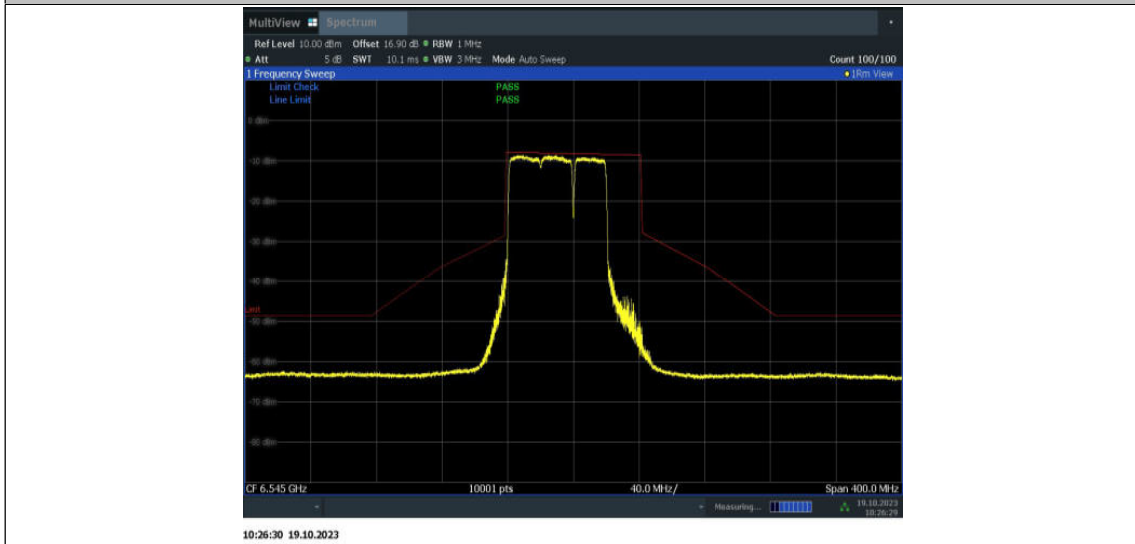
11BE80MIMO_Ant15_6545_484+242_OFDMA_2



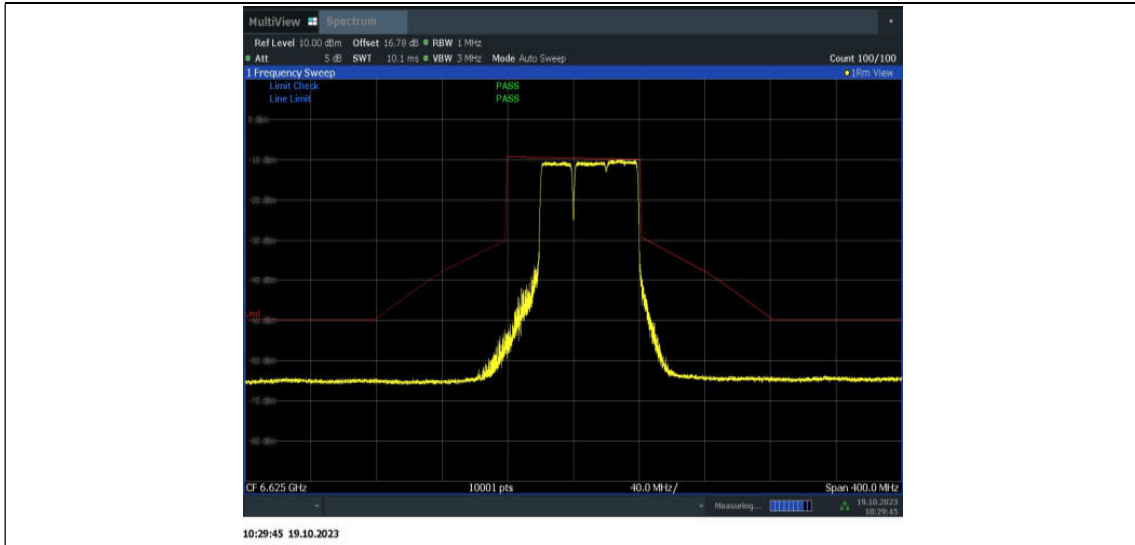
11BE80MIMO_Ant15_6545_484+242_OFDMA_3



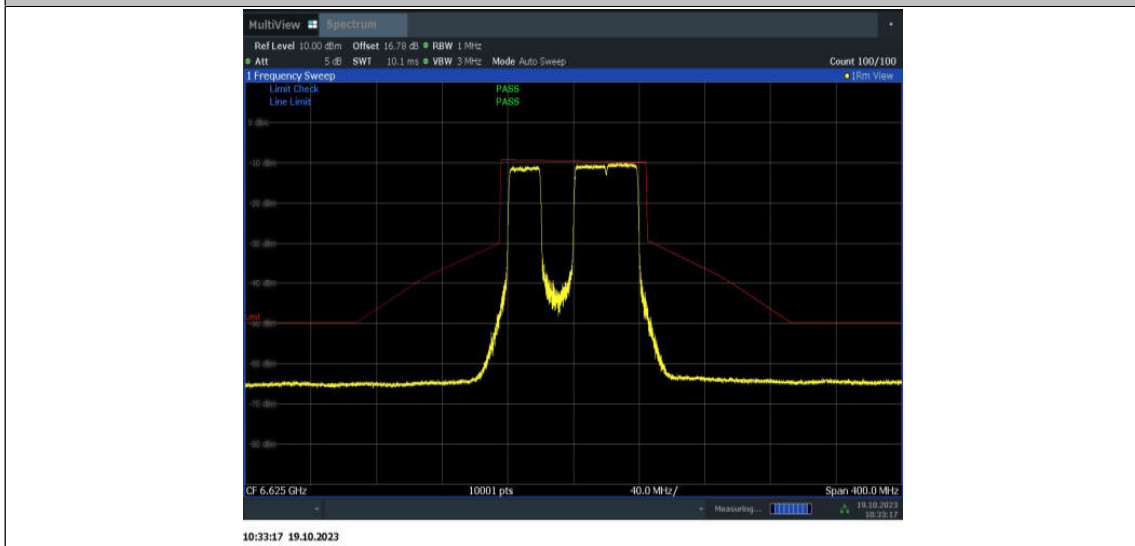
11BE80MIMO_Ant15_6545_484+242_OFDMA_4



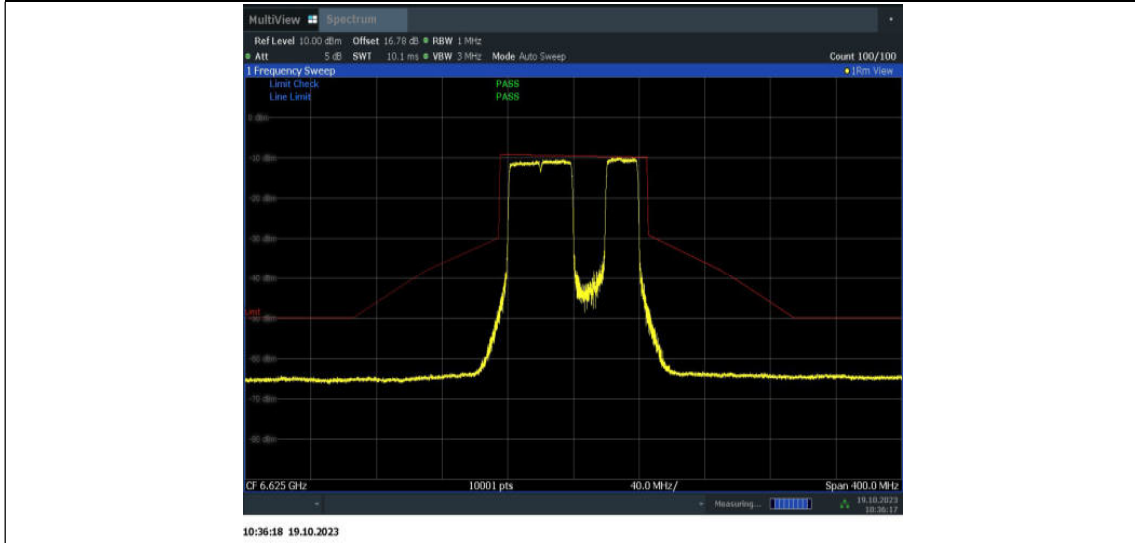
11BE80MIMO_Ant9_6625_484+242_OFDMA_1



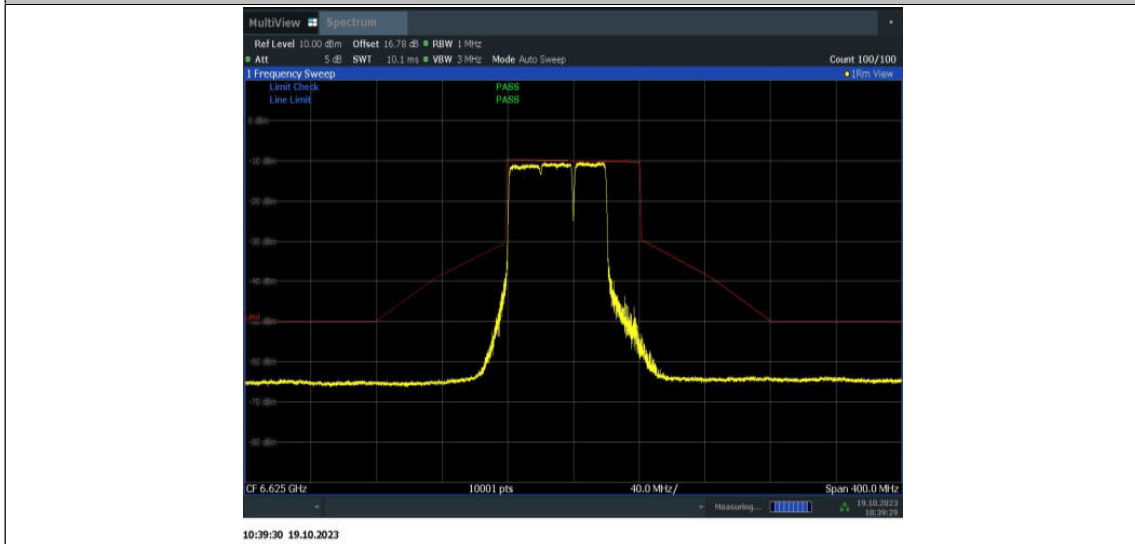
11BE80MIMO_Ant9_6625_484+242_OFDMA_2



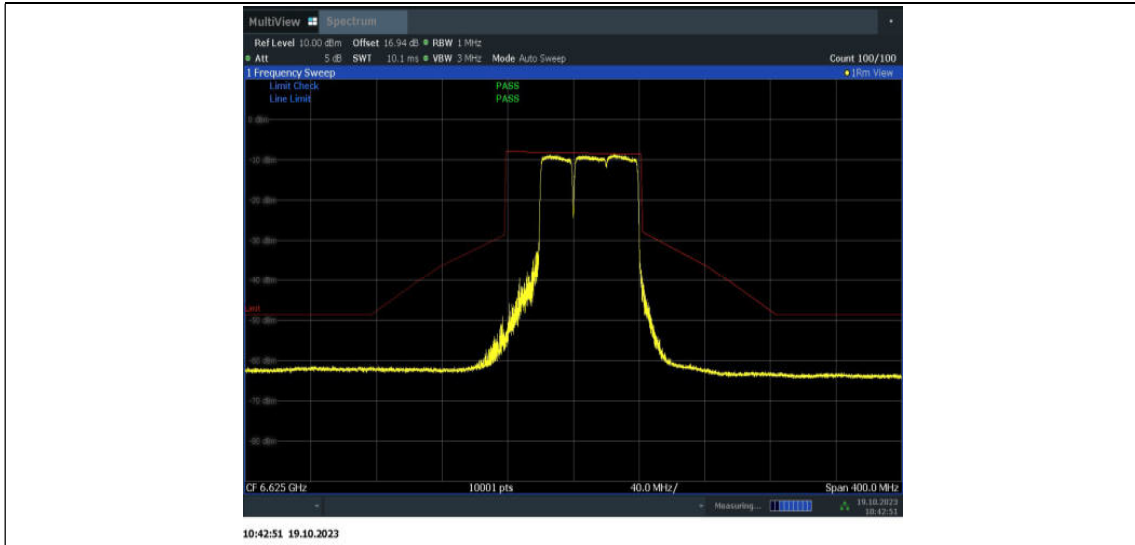
11BE80MIMO_Ant9_6625_484+242_OFDMA_3



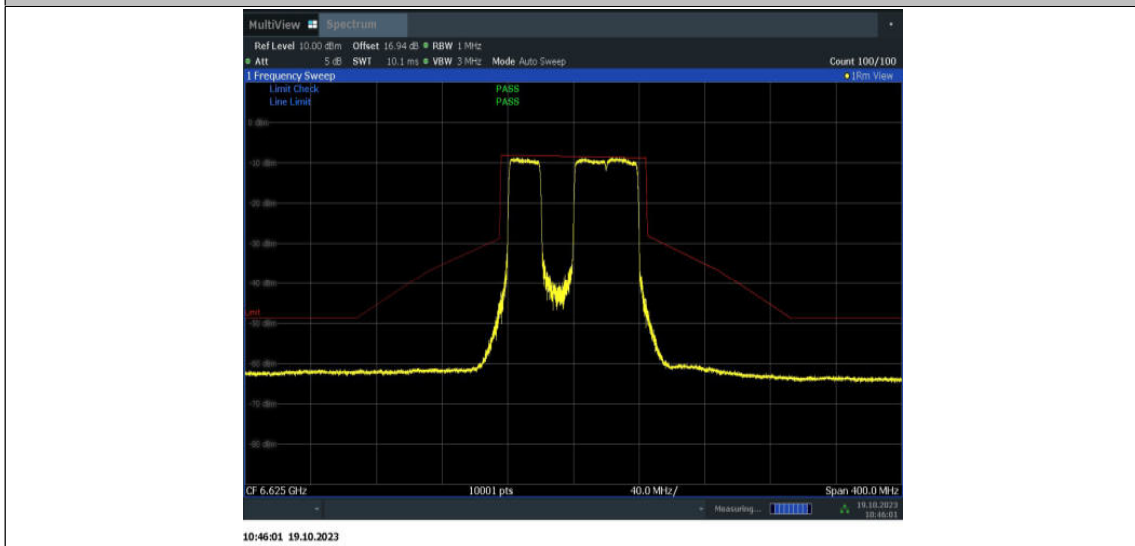
11BE80MIMO_Ant9_6625_484+242_OFDMA_4



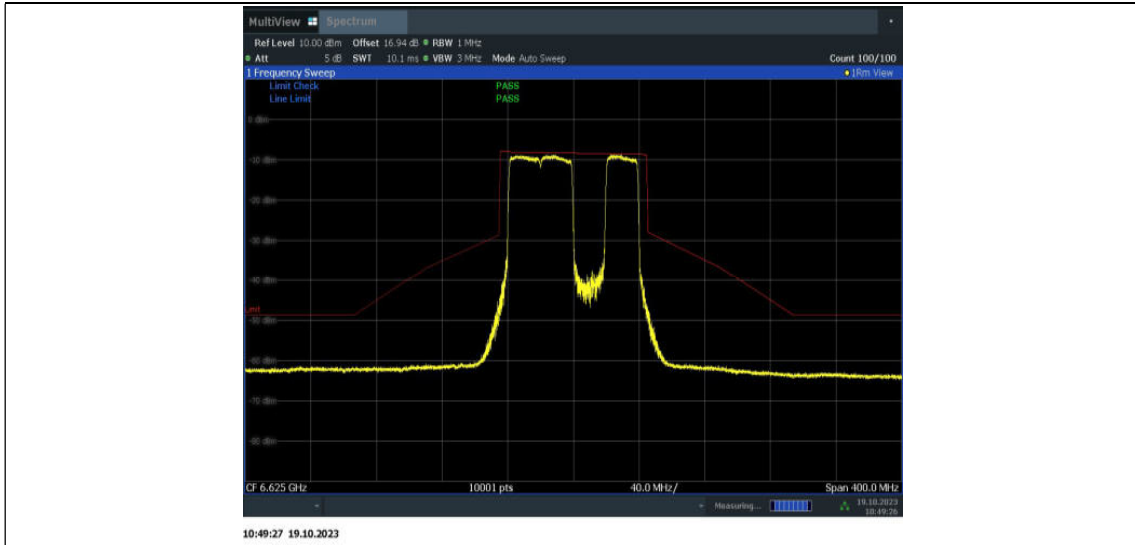
11BE80MIMO_Ant15_6625_484+242_OFDMA_1



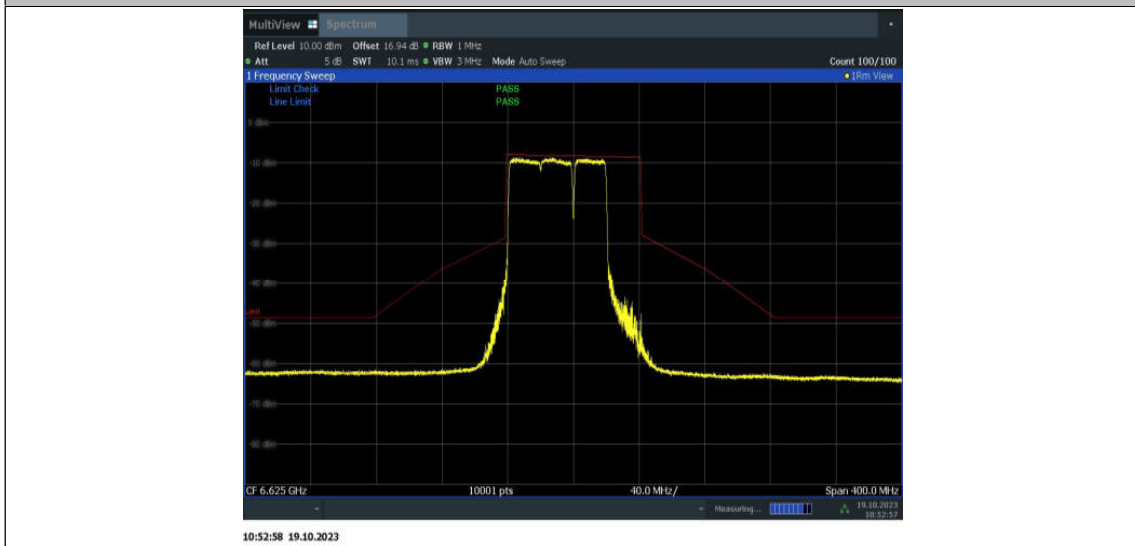
11BE80MIMO_Ant15_6625_484+242_OFDMA_2



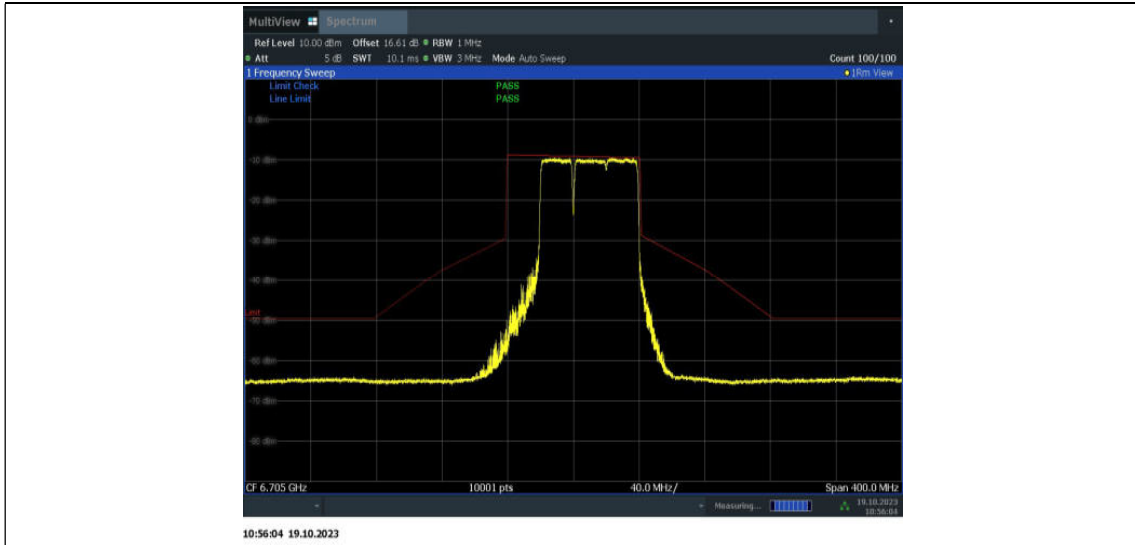
11BE80MIMO_Ant15_6625_484+242_OFDMA_3



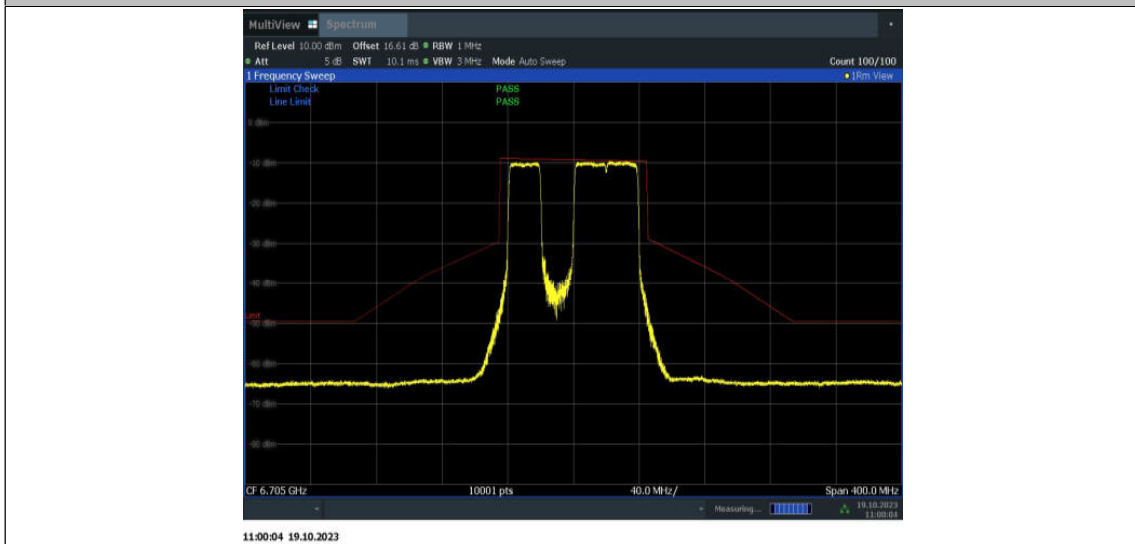
11BE80MIMO_Ant15_6625_484+242_OFDMA_4



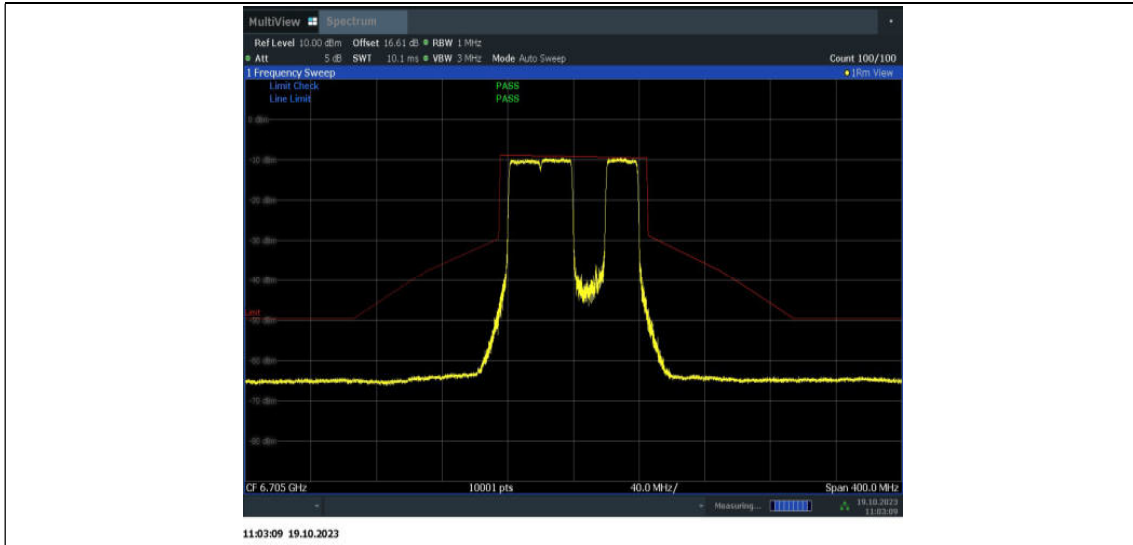
11BE80MIMO_Ant9_6705_484+242_OFDMA_1



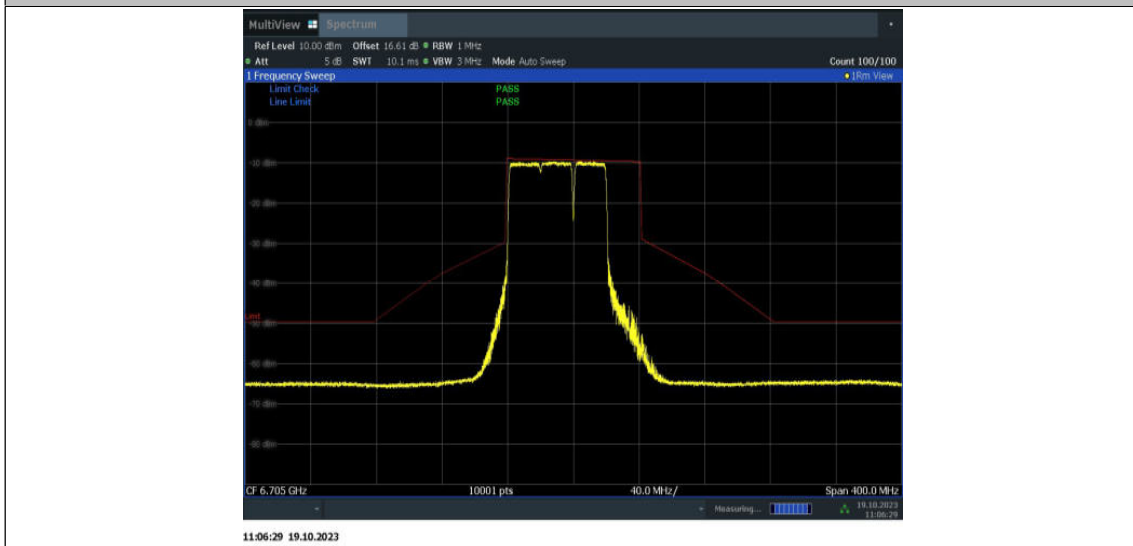
11BE80MIMO_Ant9_6705_484+242_OFDMA_2



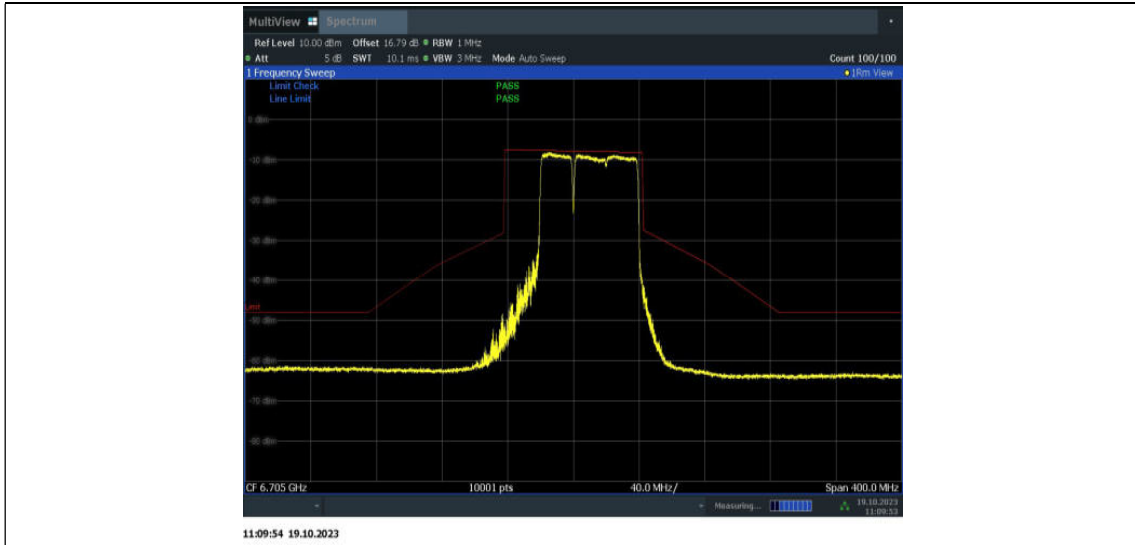
11BE80MIMO_Ant9_6705_484+242_OFDMA_3



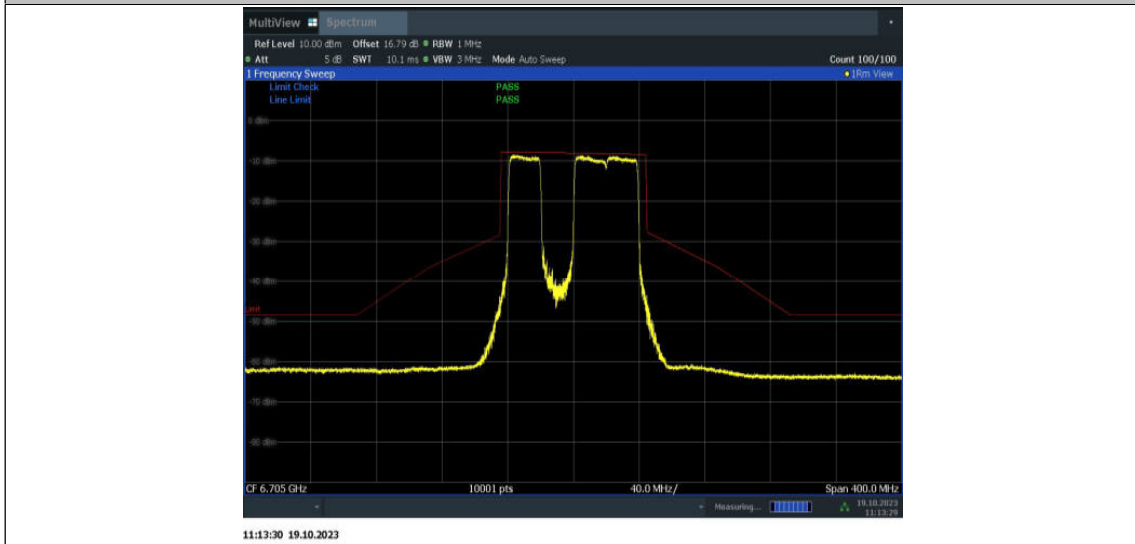
11BE80MIMO_Ant9_6705_484+242_OFDMA_4



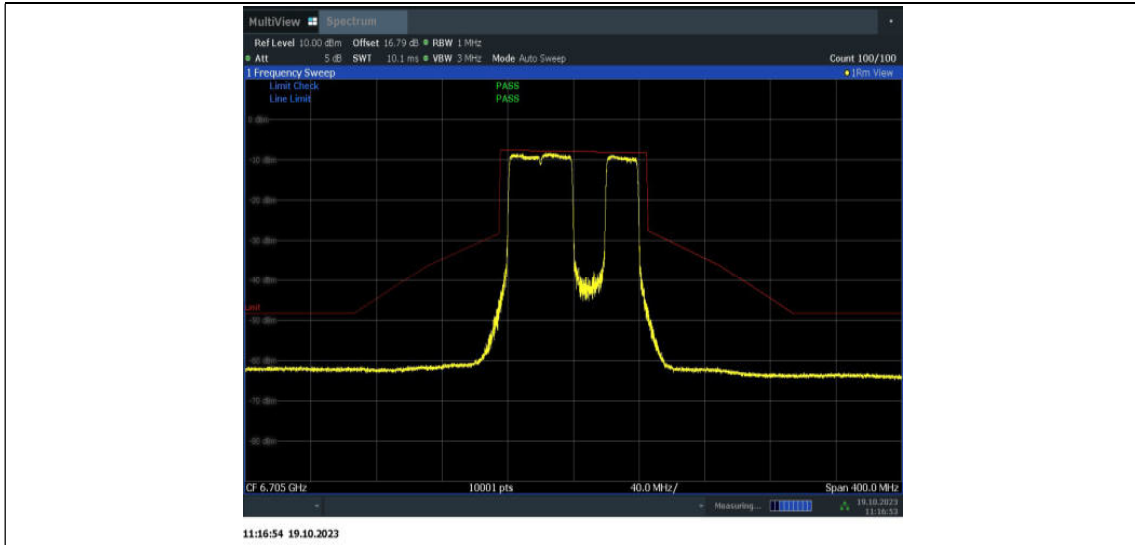
11BE80MIMO_Ant15_6705_484+242_OFDMA_1



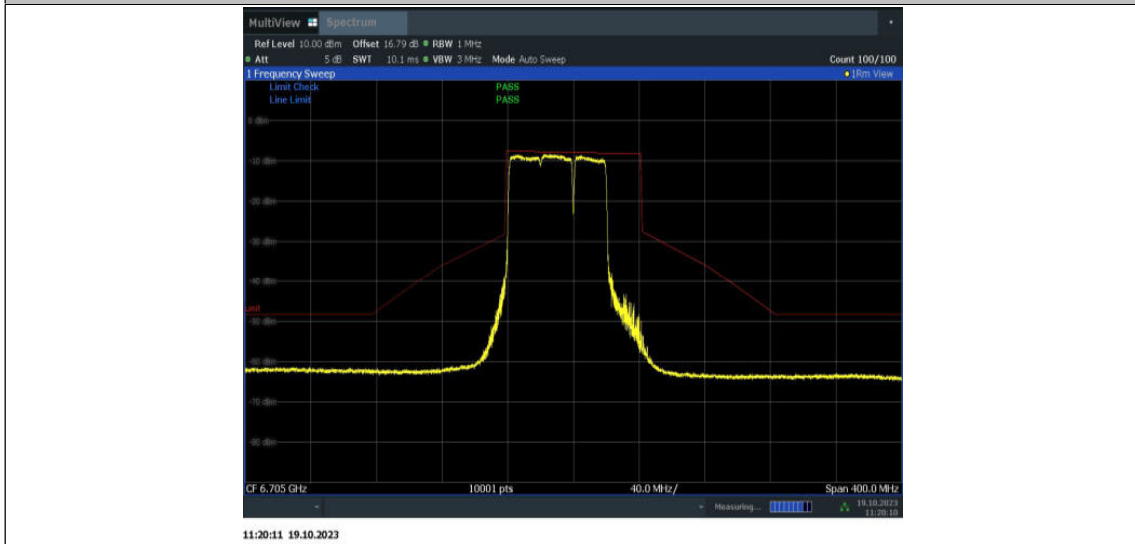
11BE80MIMO_Ant15_6705_484+242_OFDMA_2



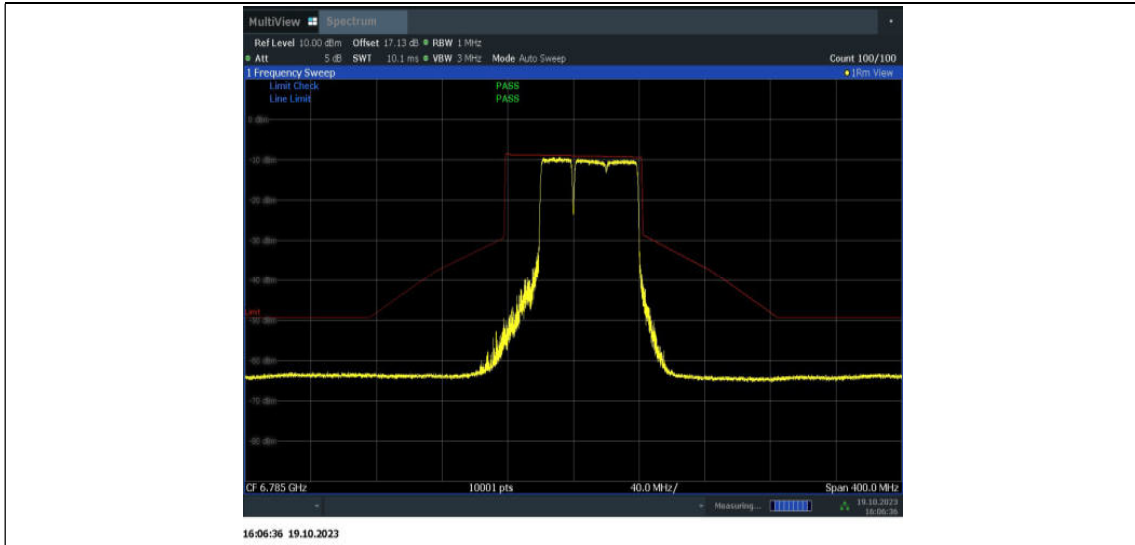
11BE80MIMO_Ant15_6705_484+242_OFDMA_3



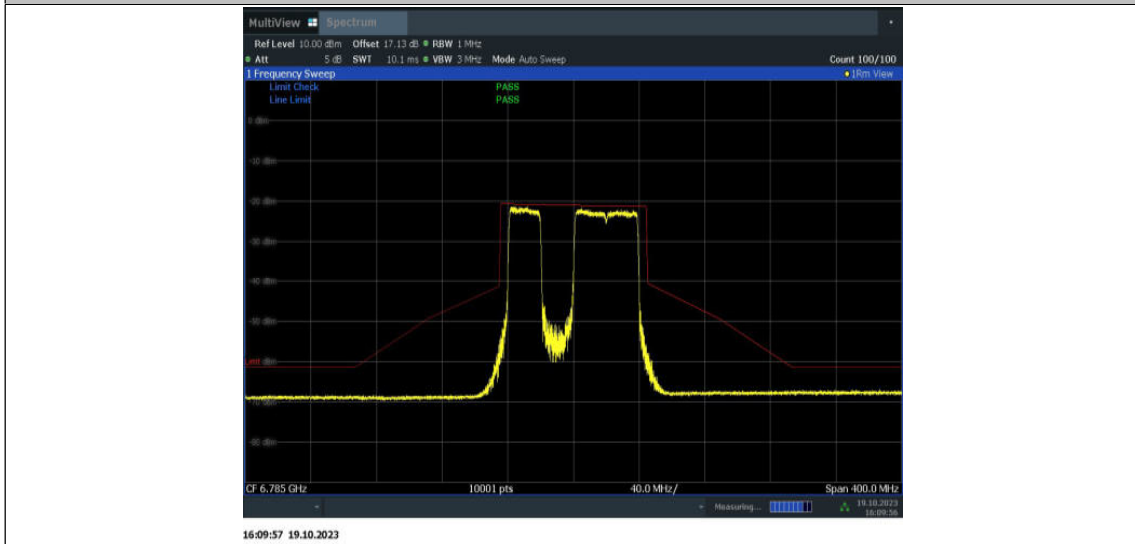
11BE80MIMO_Ant15_6705_484+242_OFDMA_4



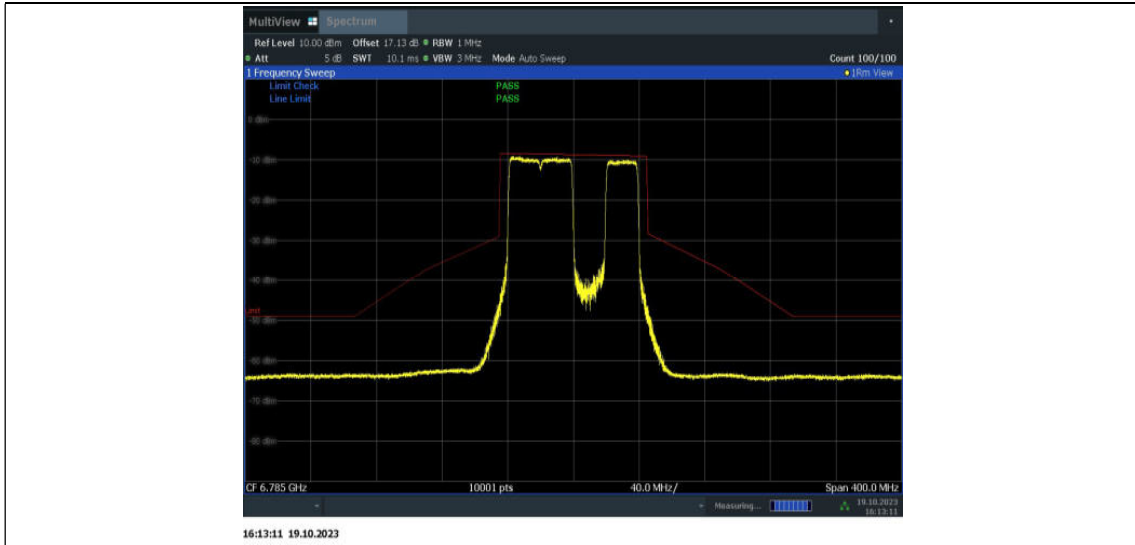
11BE80MIMO_Ant9_6785_484+242_OFDMA_1



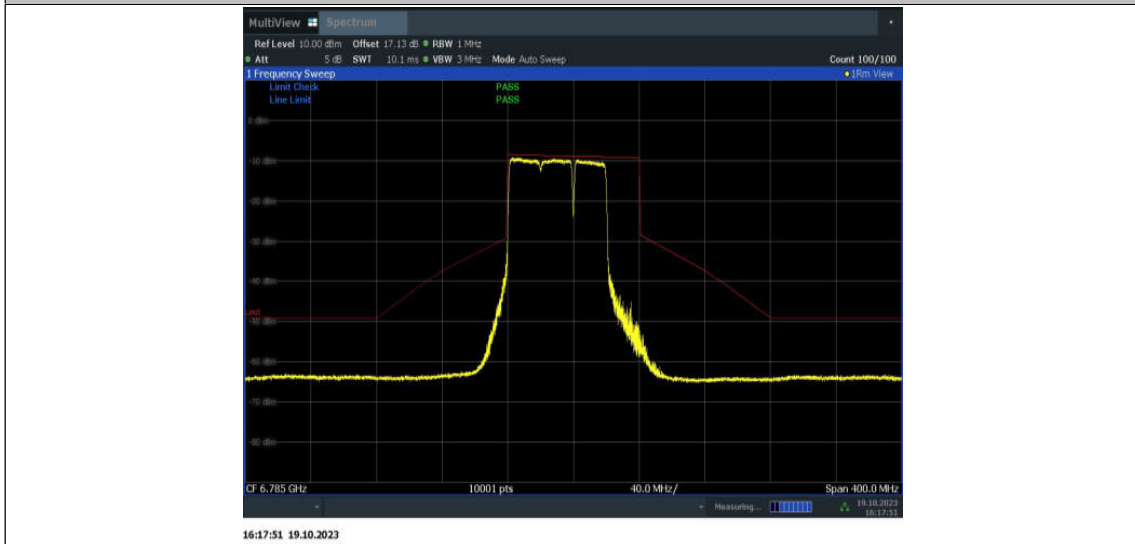
11BE80MIMO_Ant9_6785_484+242_OFDMA_2



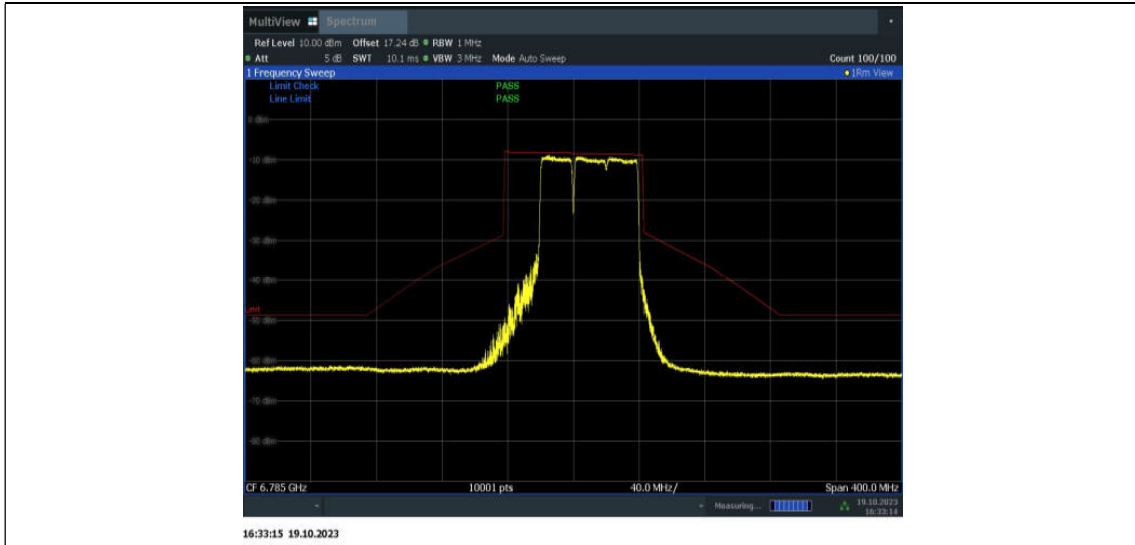
11BE80MIMO_Ant9_6785_484+242_OFDMA_3



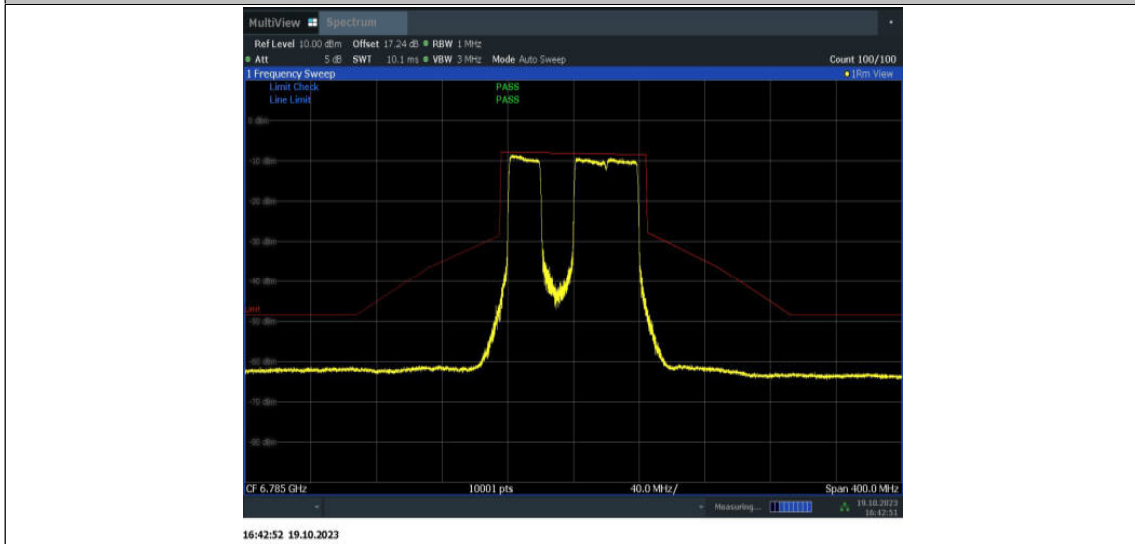
11BE80MIMO_Ant9_6785_484+242_OFDMA_4



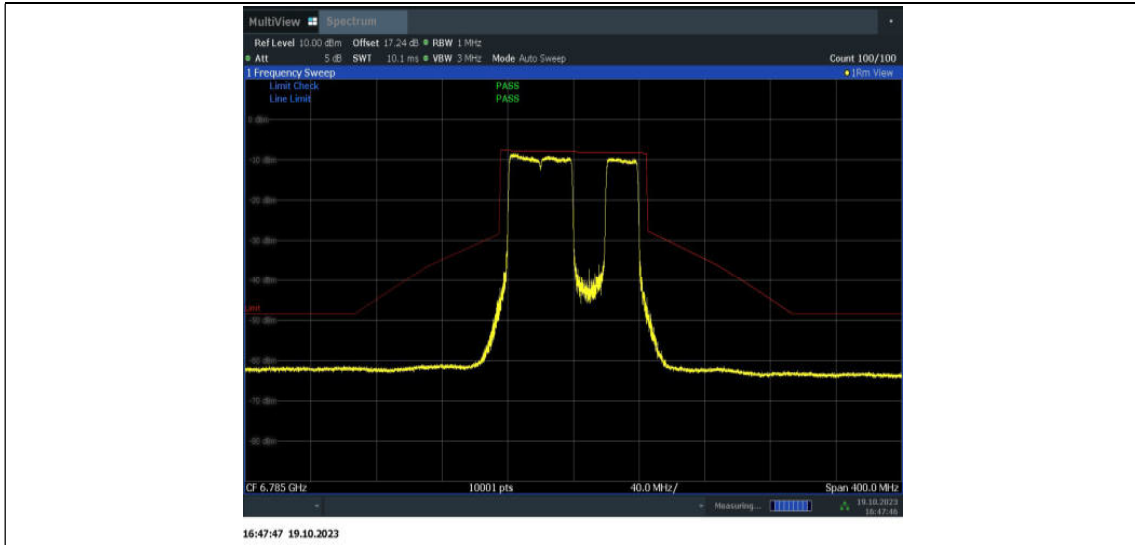
11BE80MIMO_Ant15_6785_484+242_OFDMA_1



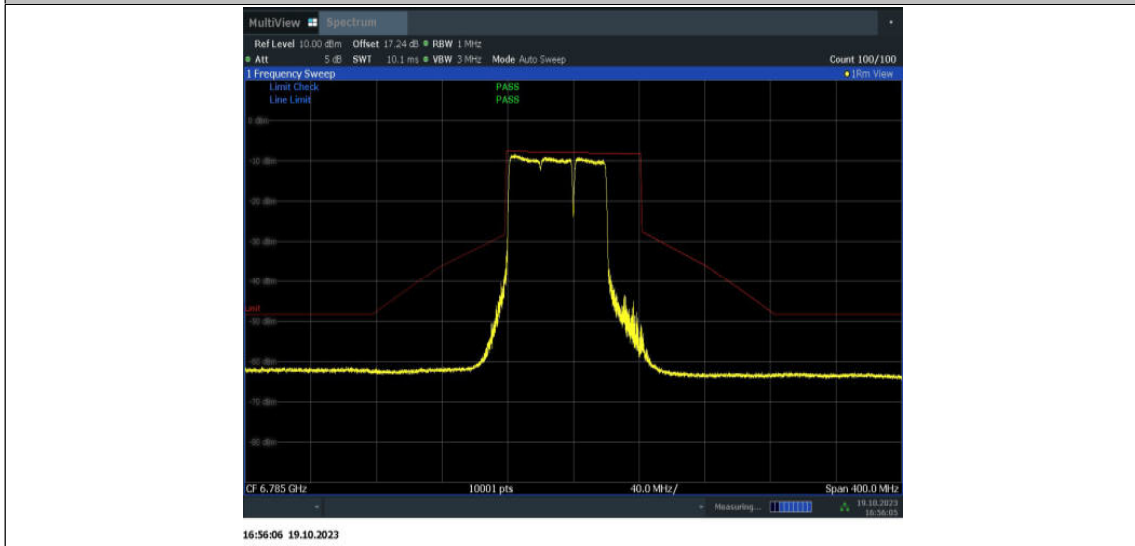
11BE80MIMO_Ant15_6785_484+242_OFDMA_2



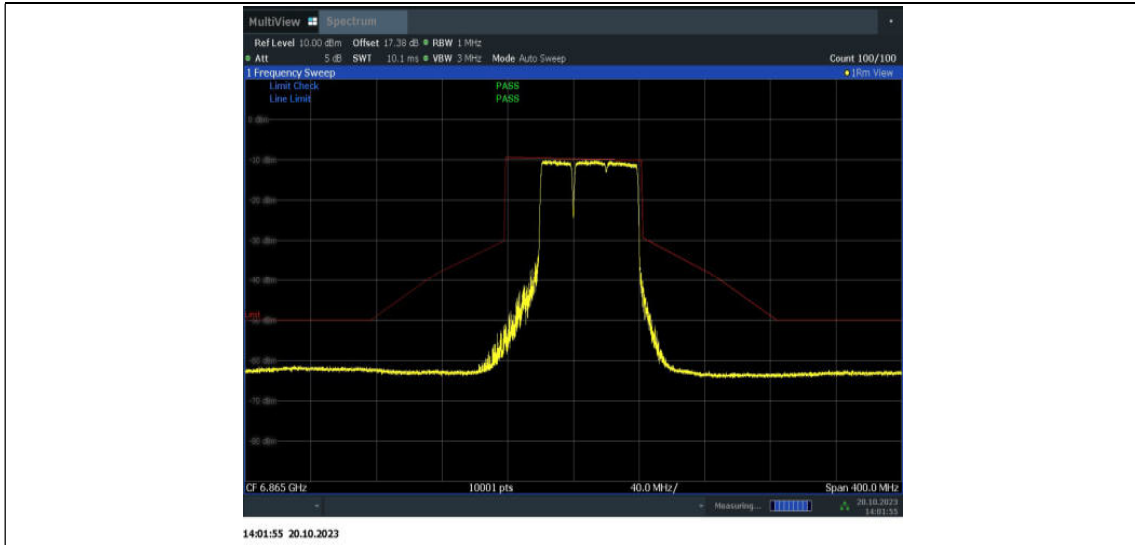
11BE80MIMO_Ant15_6785_484+242_OFDMA_3



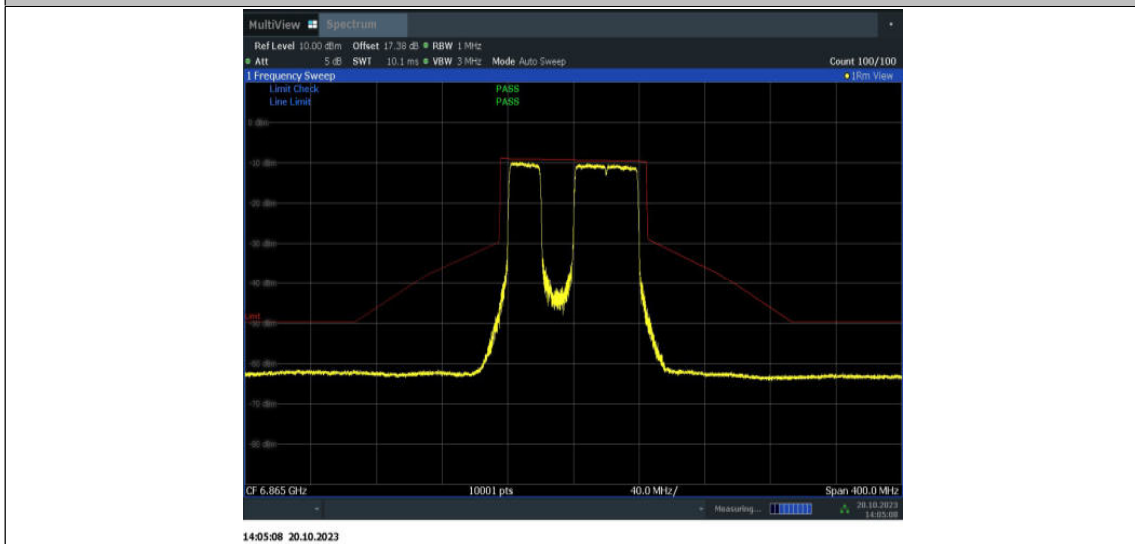
11BE80MIMO_Ant15_6785_484+242_OFDMA_4



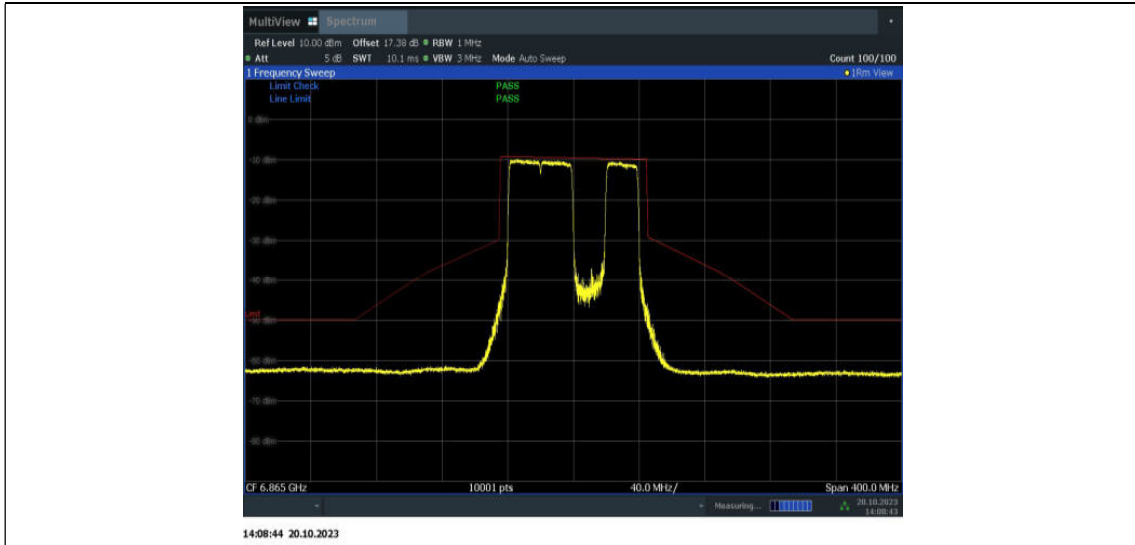
11BE80MIMO_Ant9_6865_484+242_OFDMA_1



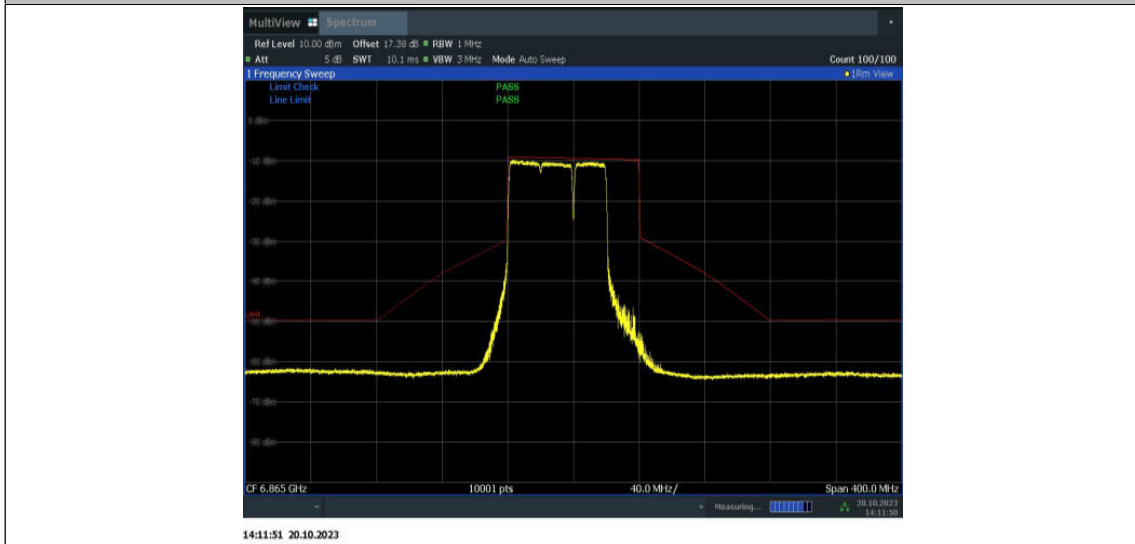
11BE80MIMO_Ant9_6865_484+242_OFDMA_2



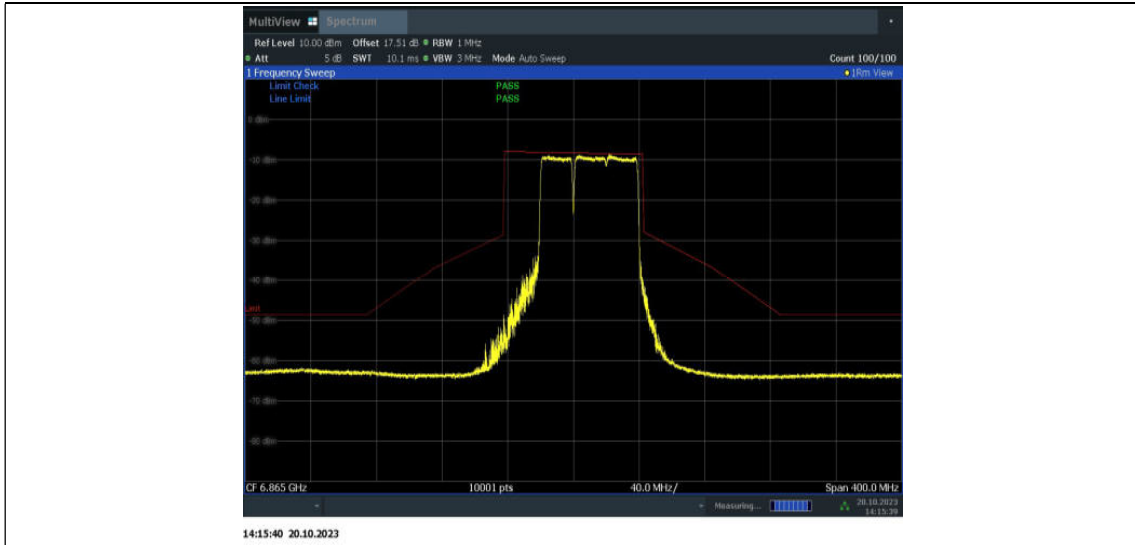
11BE80MIMO_Ant9_6865_484+242_OFDMA_3



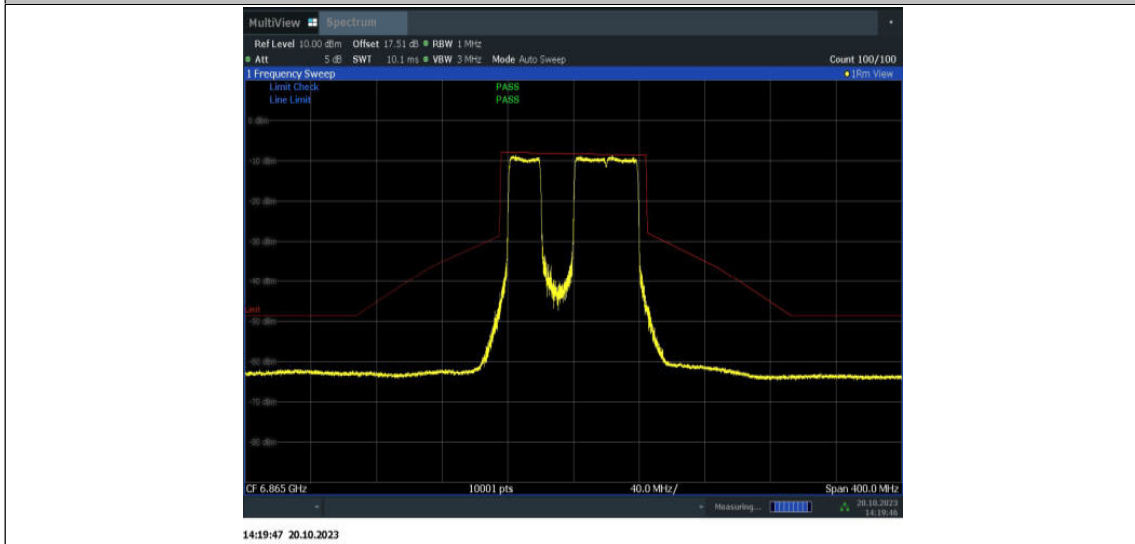
11BE80MIMO_Ant9_6865_484+242_OFDMA_4



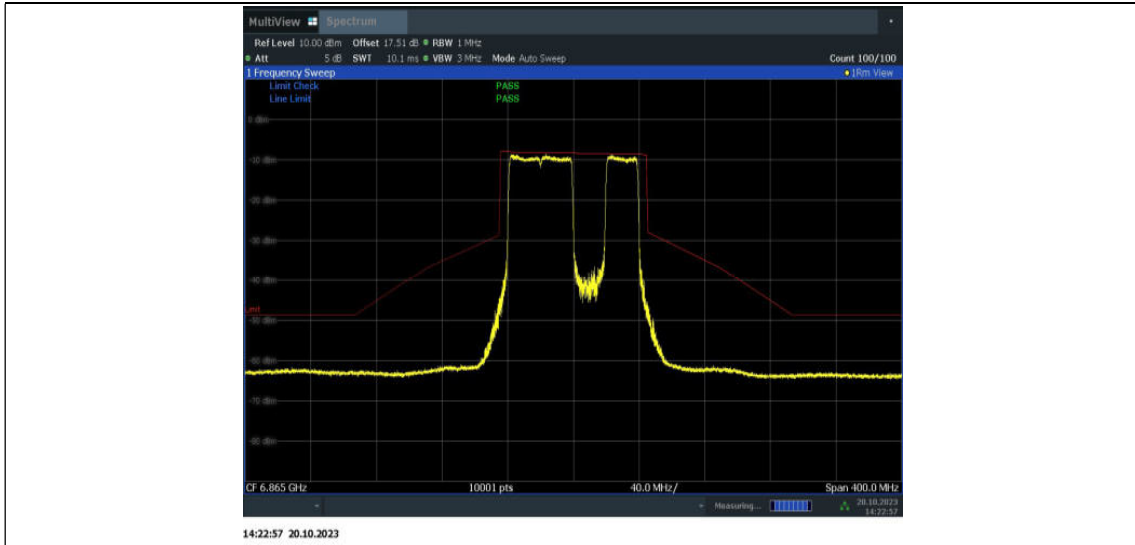
11BE80MIMO_Ant15_6865_484+242_OFDMA_1



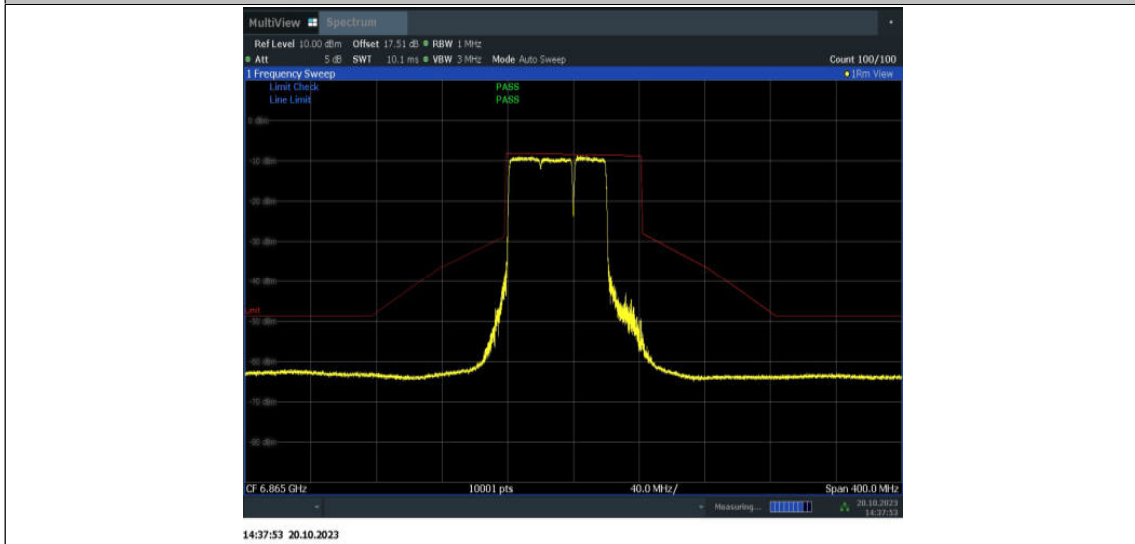
11BE80MIMO_Ant15_6865_484+242_OFDMA_2



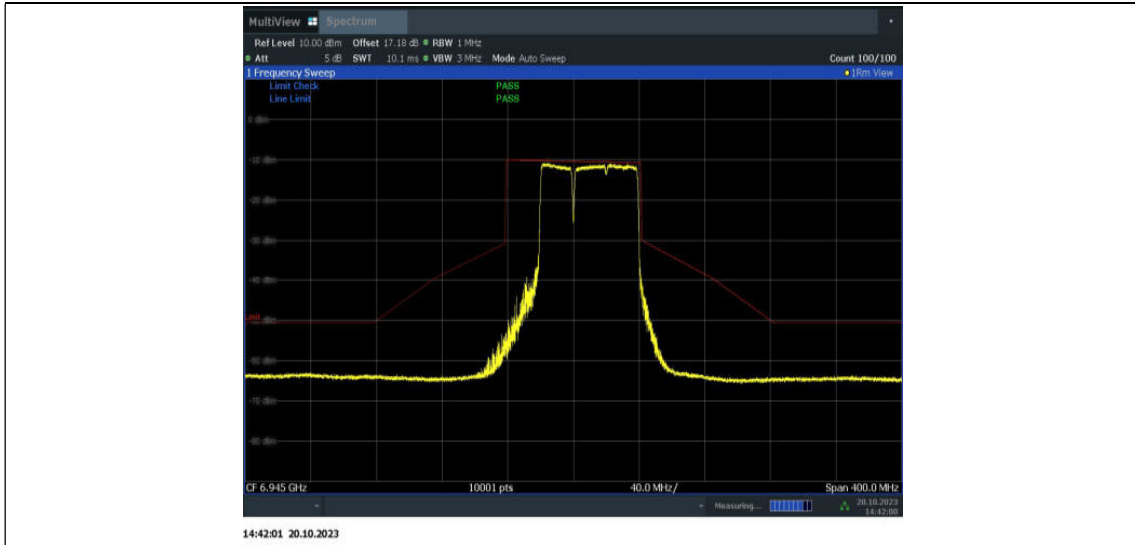
11BE80MIMO_Ant15_6865_484+242_OFDMA_3



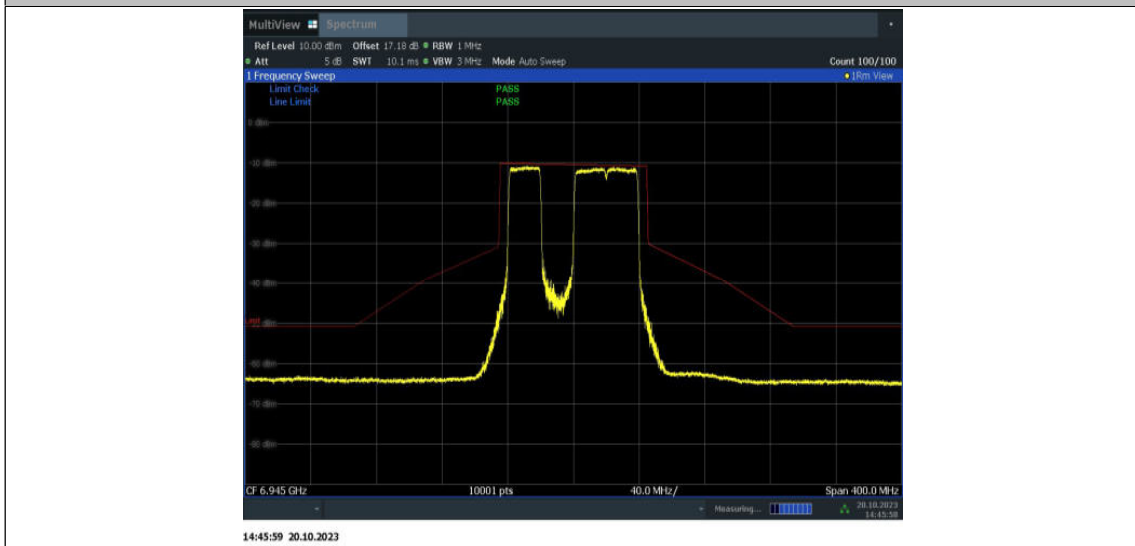
11BE80MIMO_Ant15_6865_484+242_OFDMA_4



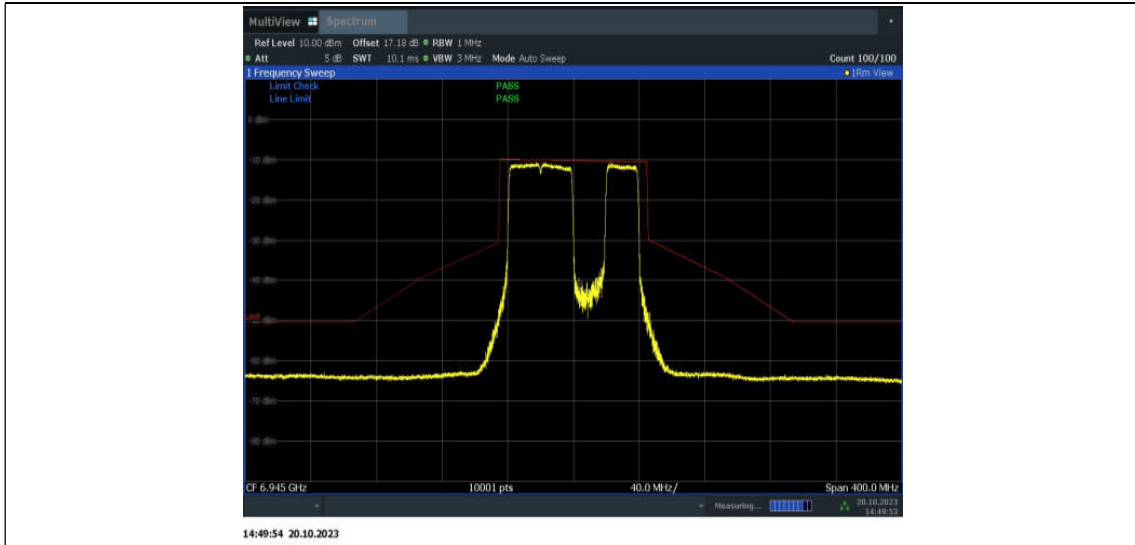
11BE80MIMO_Ant9_6945_484+242_OFDMA_1



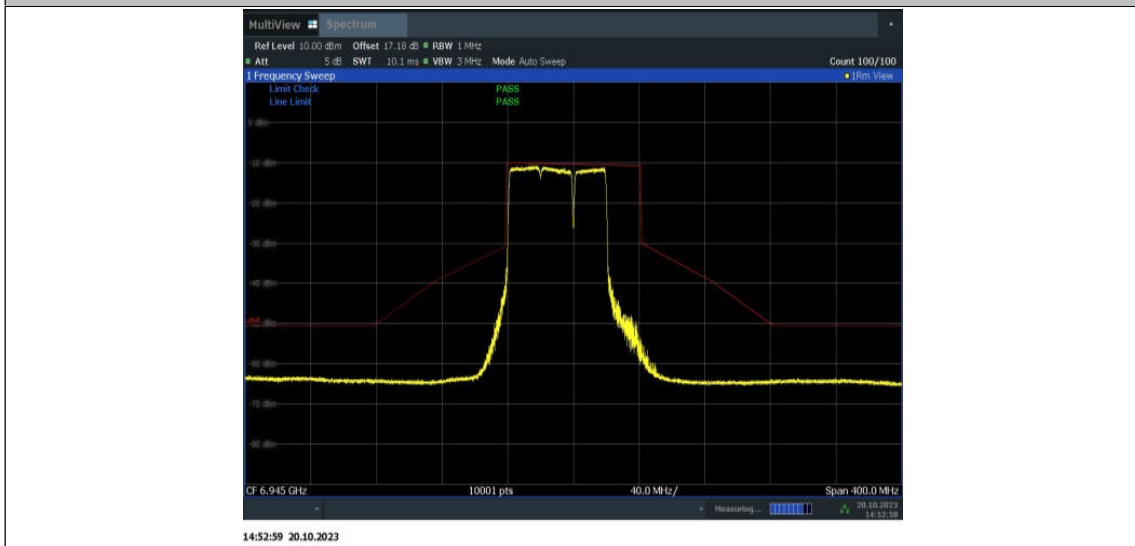
11BE80MIMO_Ant9_6945_484+242_OFDMA_2



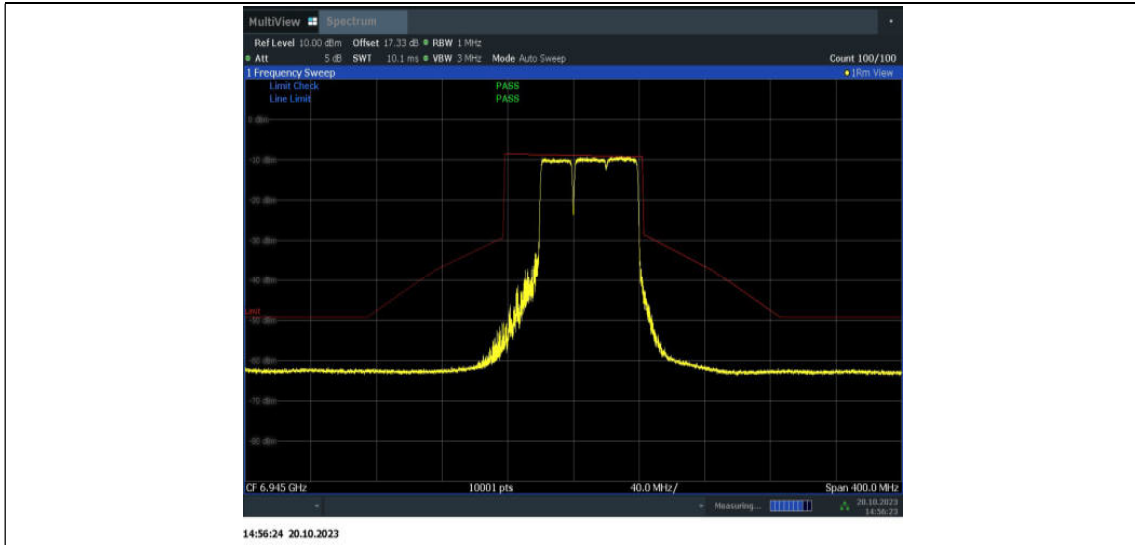
11BE80MIMO_Ant9_6945_484+242_OFDMA_3



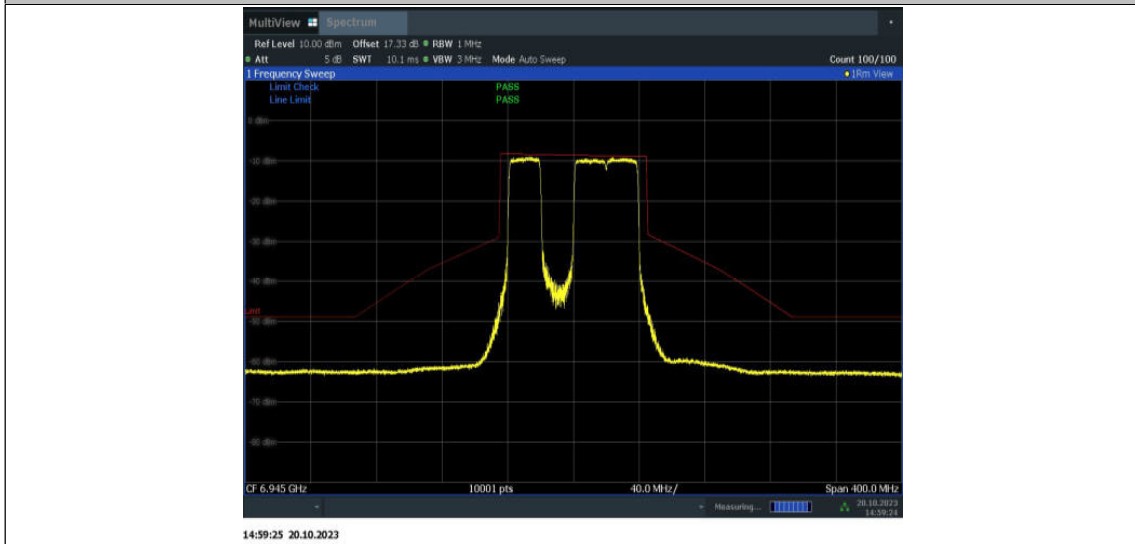
11BE80MIMO_Ant9_6945_484+242_OFDMA_4



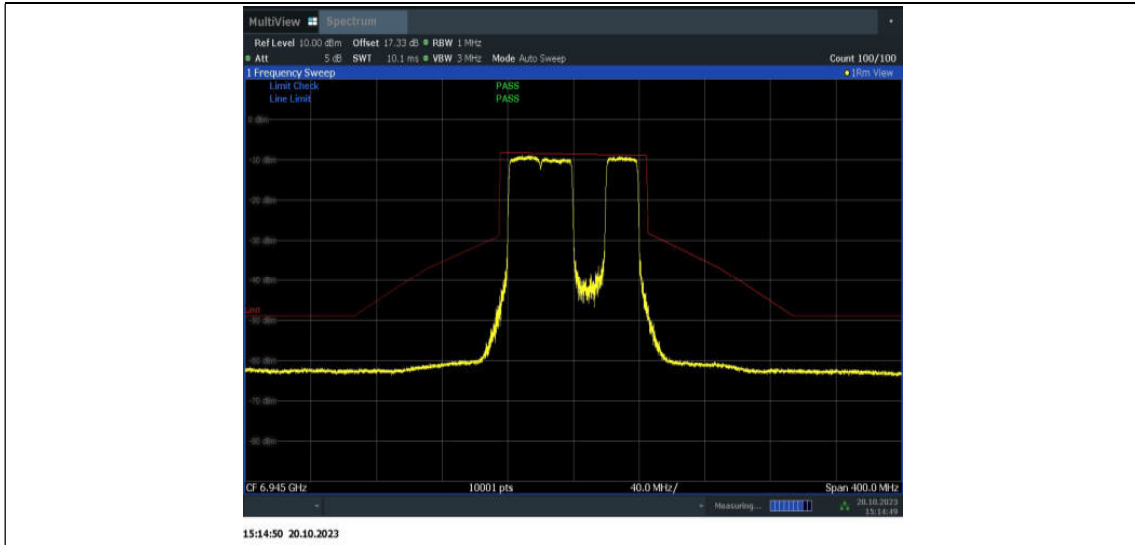
11BE80MIMO_Ant15_6945_484+242_OFDMA_1



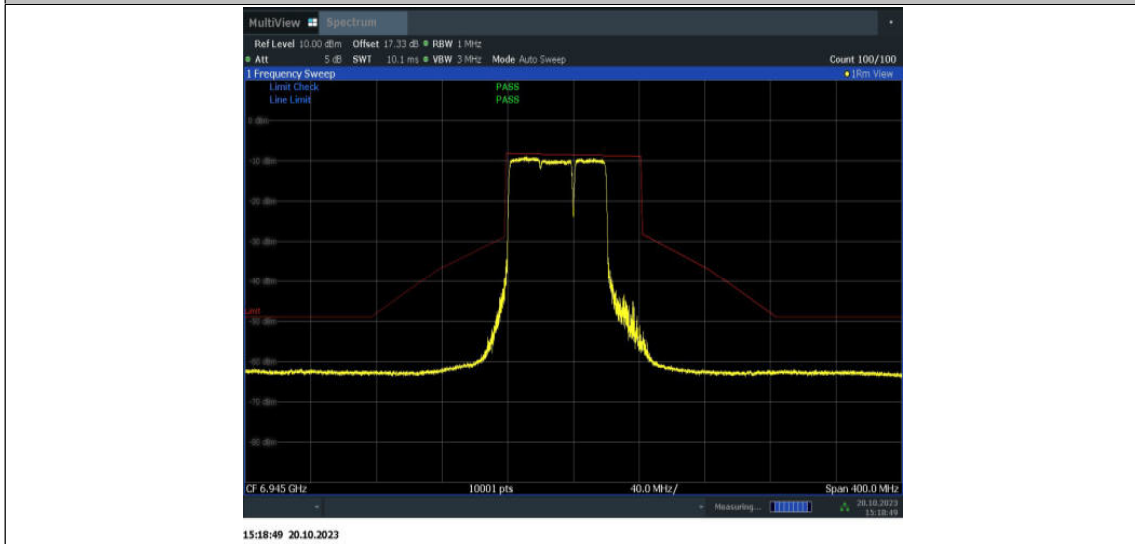
11BE80MIMO_Ant15_6945_484+242_OFDMA_2



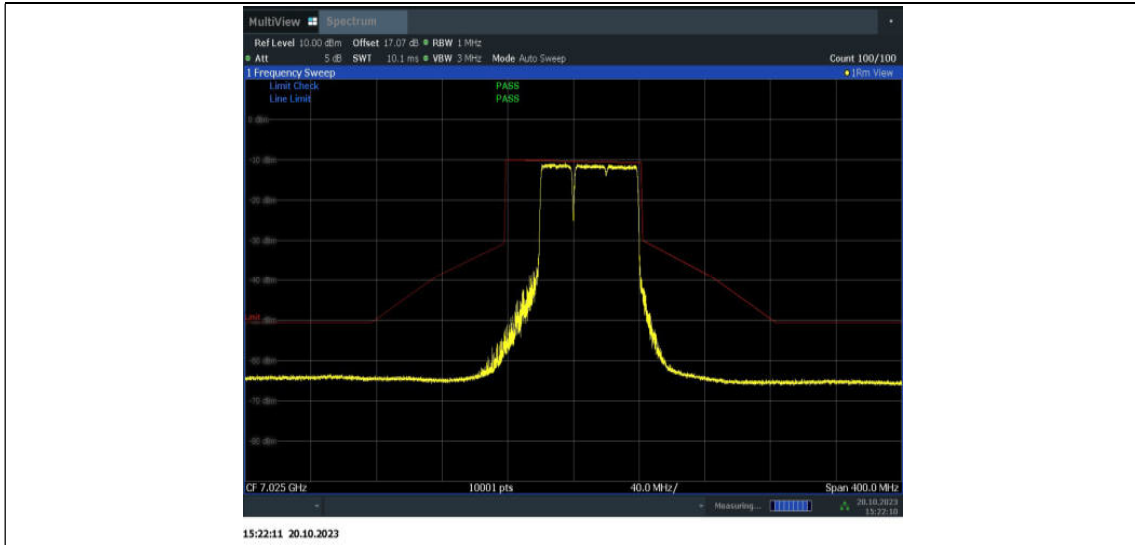
11BE80MIMO_Ant15_6945_484+242_OFDMA_3



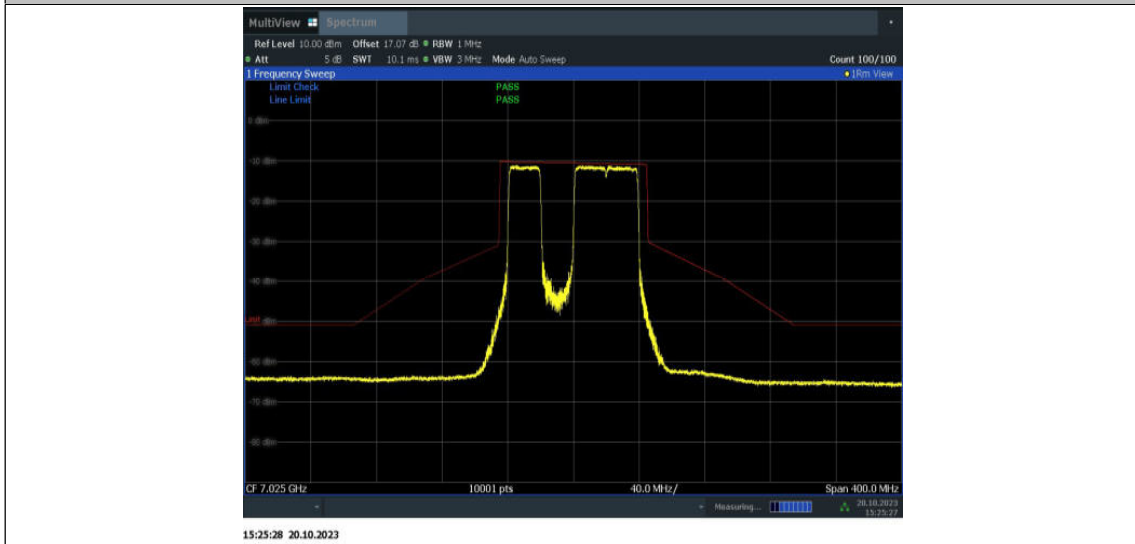
11BE80MIMO_Ant15_6945_484+242_OFDMA_4



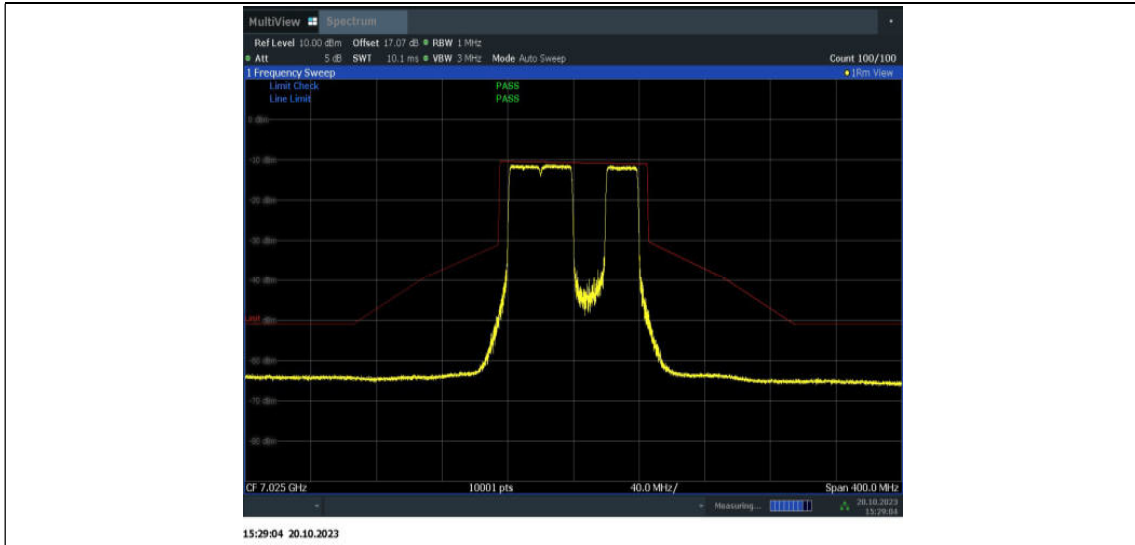
11BE80MIMO_Ant9_7025_484+242_OFDMA_1



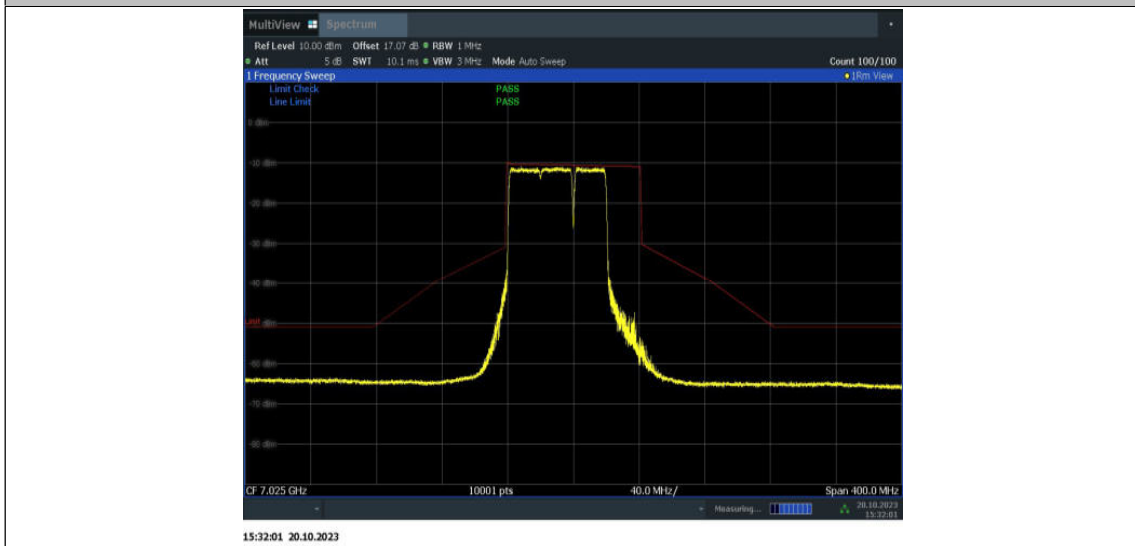
11BE80MIMO_Ant9_7025_484+242_OFDMA_2



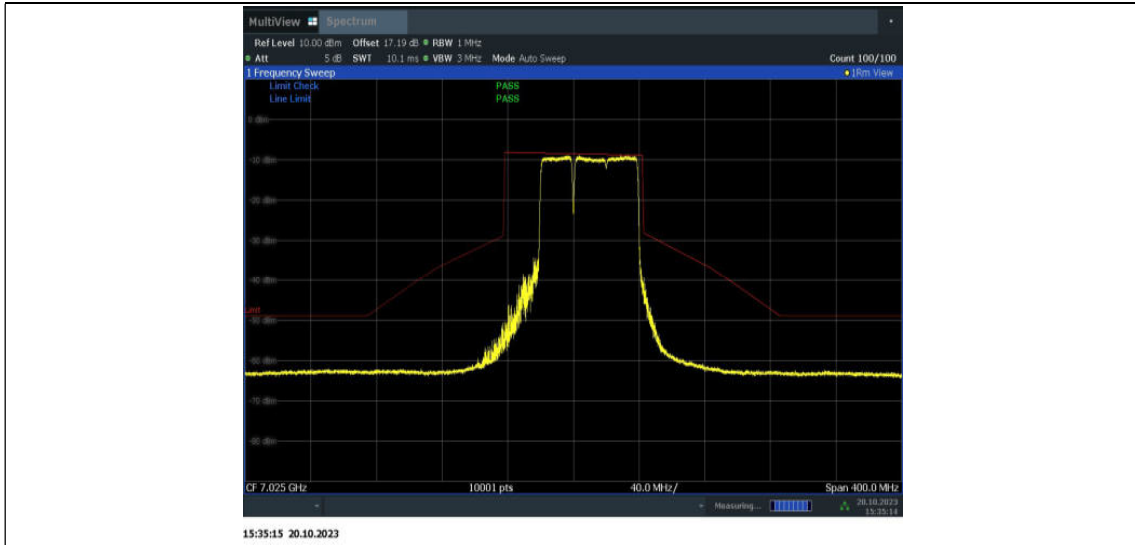
11BE80MIMO_Ant9_7025_484+242_OFDMA_3



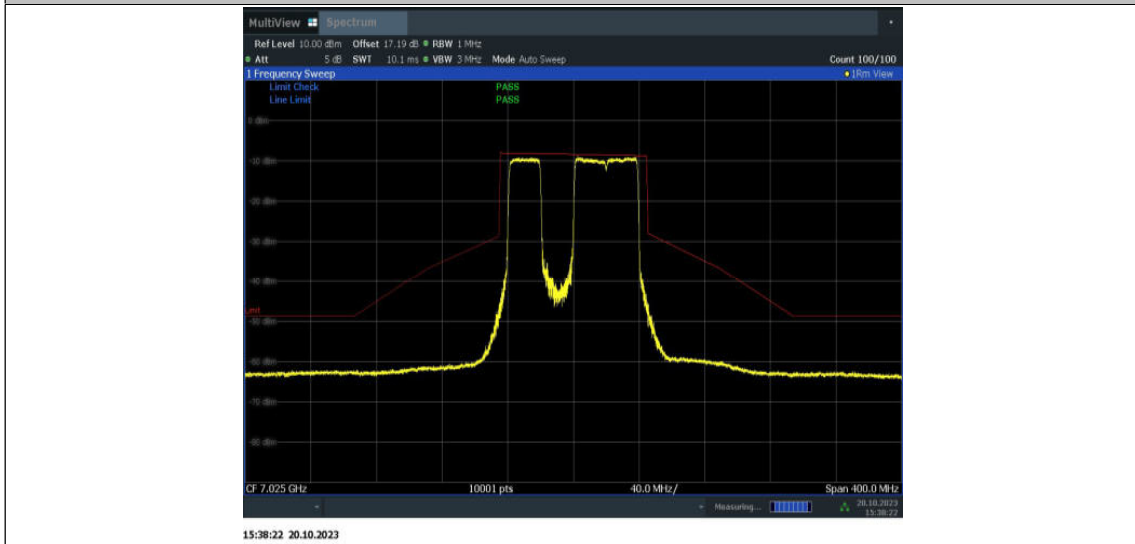
11BE80MIMO_Ant9_7025_484+242_OFDMA_4



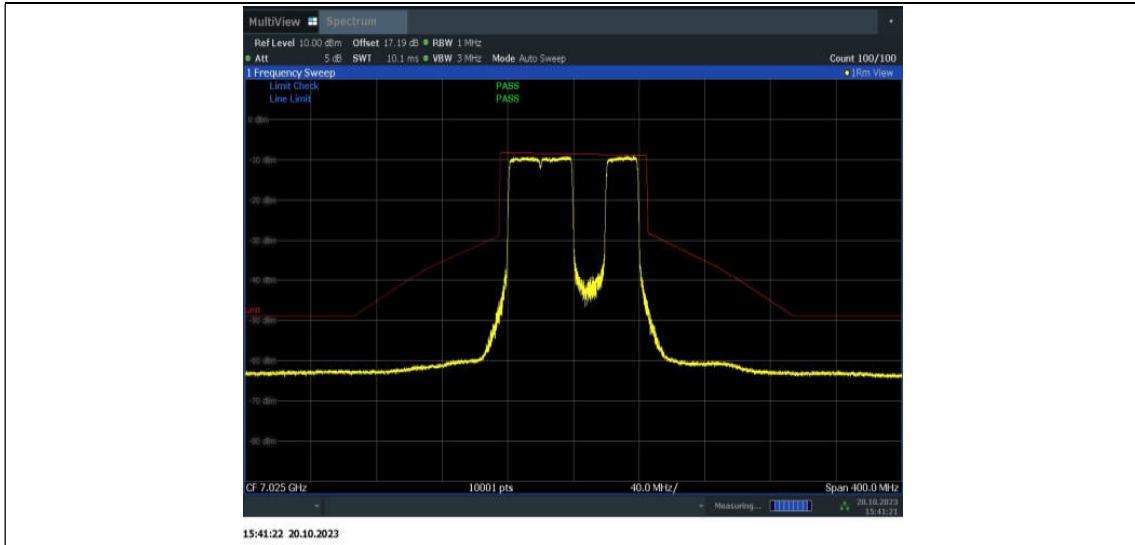
11BE80MIMO_Ant15_7025_484+242_OFDMA_1



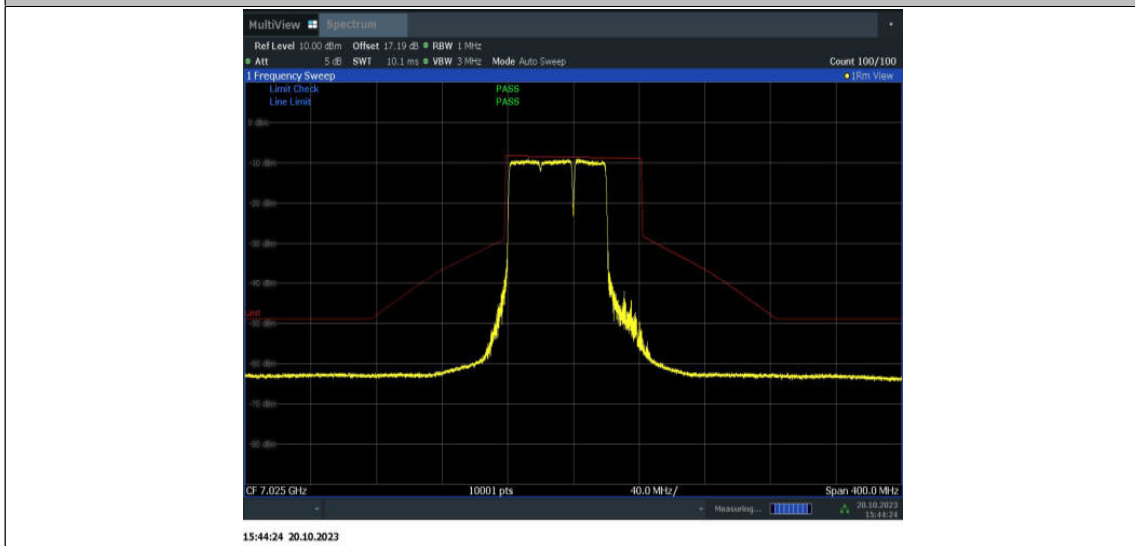
11BE80MIMO_Ant15_7025_484+242_OFDMA_2



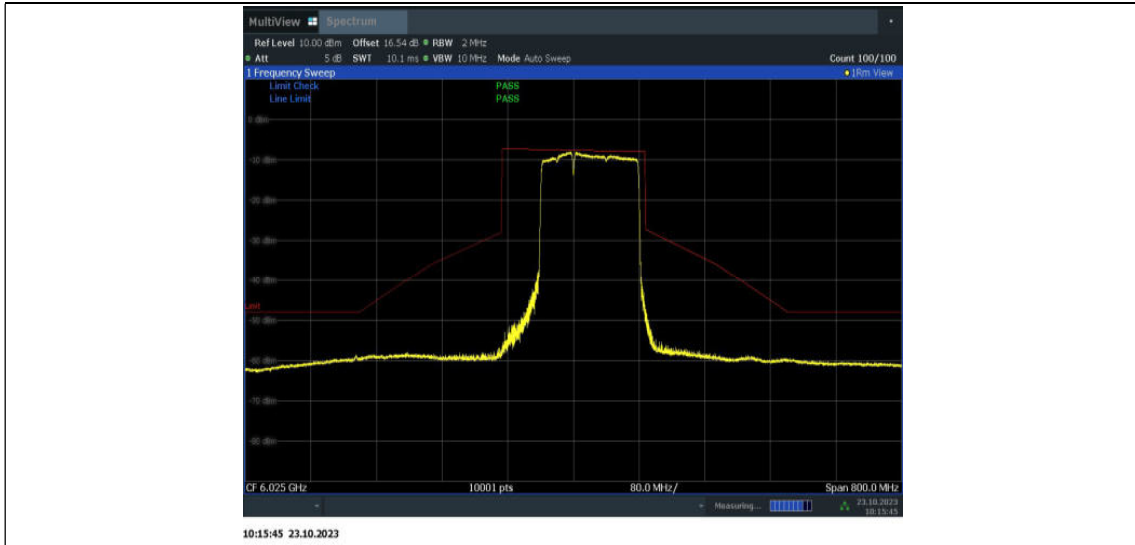
11BE80MIMO_Ant15_7025_484+242_OFDMA_3



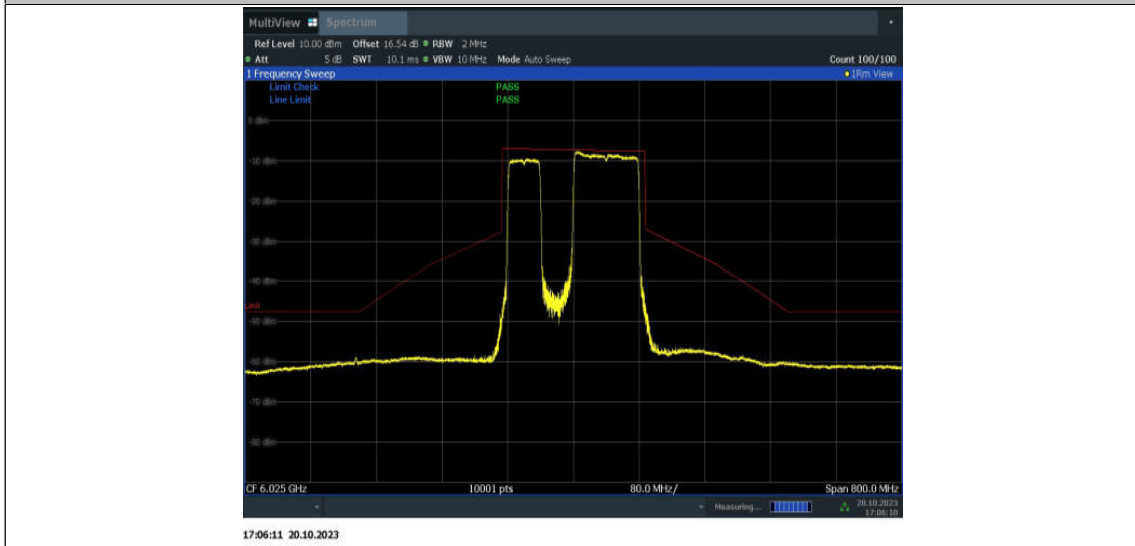
11BE80MIMO_Ant15_7025_484+242_OFDMA_4



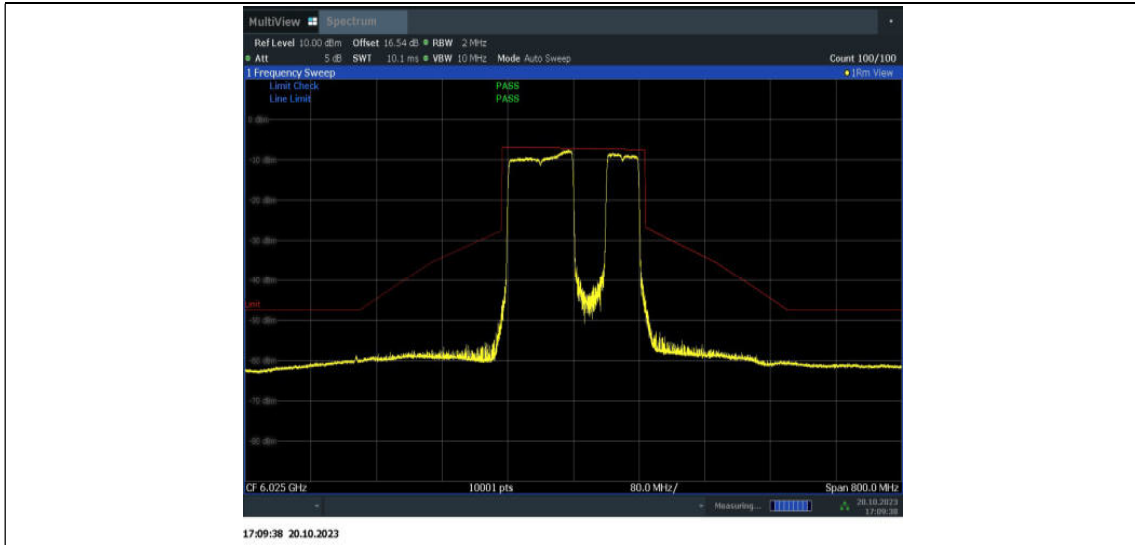
11BE160MIMO_Ant9_6025_996+484_OFDMA_1



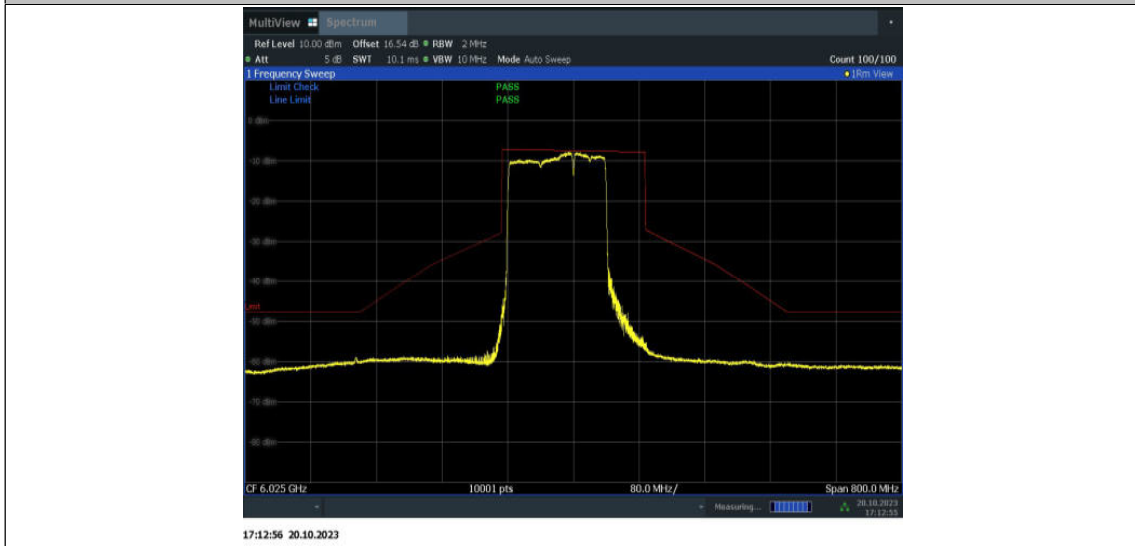
11BE160MIMO_Ant9_6025_996+484_OFDMA_2



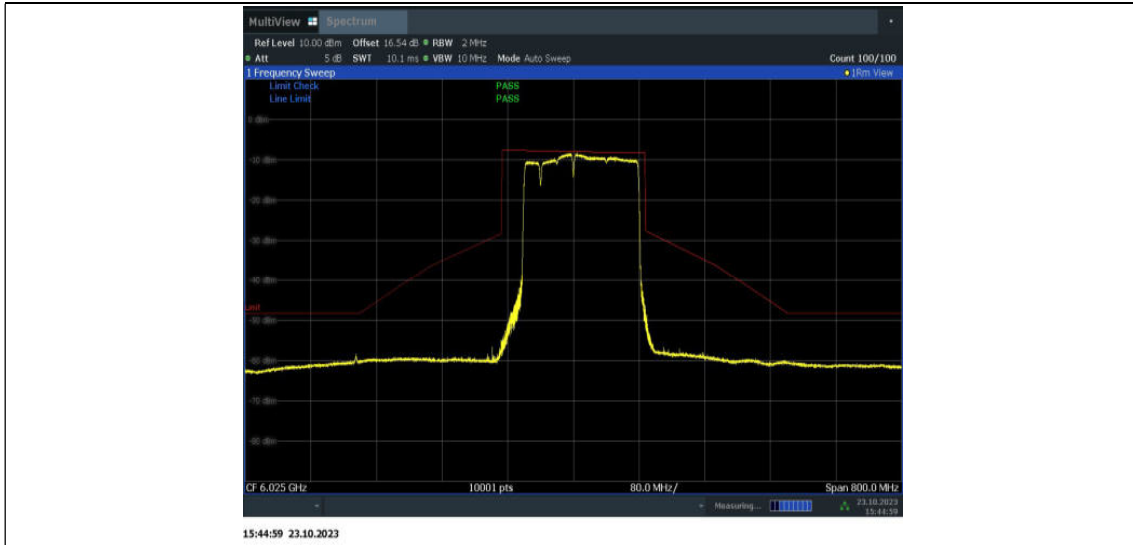
11BE160MIMO_Ant9_6025_996+484_OFDMA_3



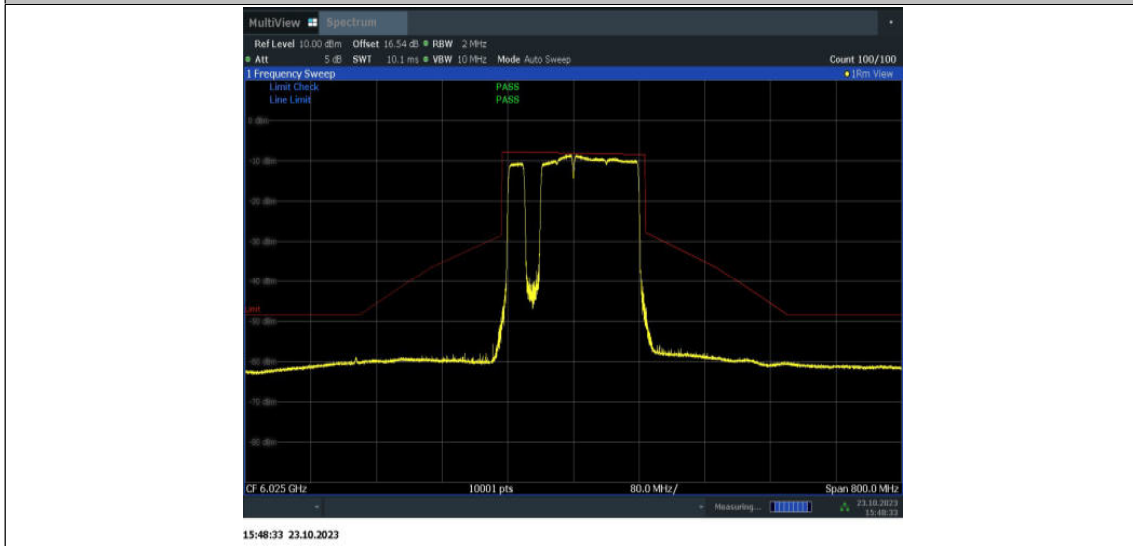
11BE160MIMO_Ant9_6025_996+484_OFDMA_4



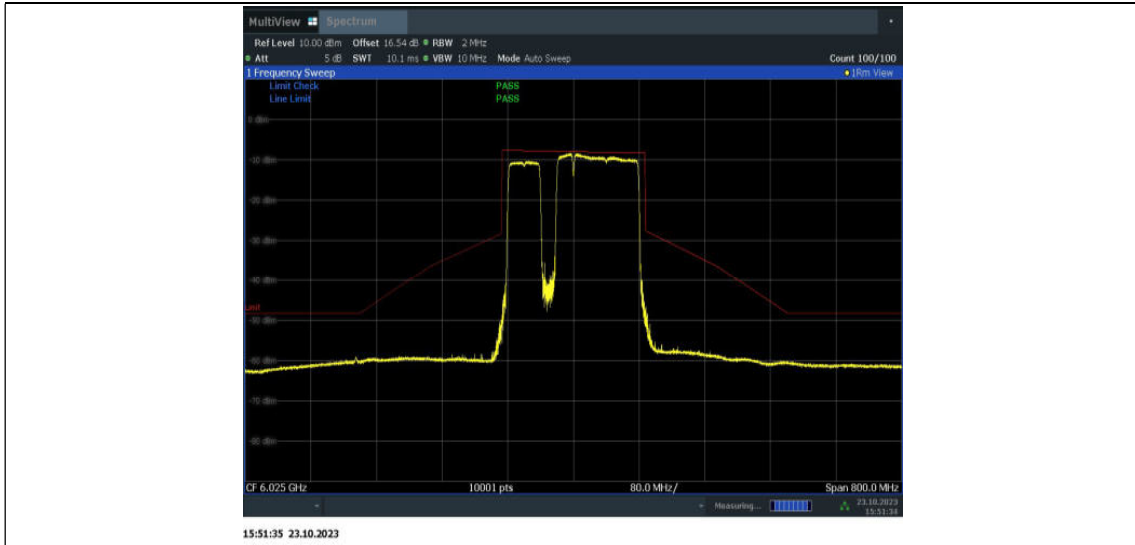
11BE160MIMO_Ant9_6025_996+484+242_OFDMA_1



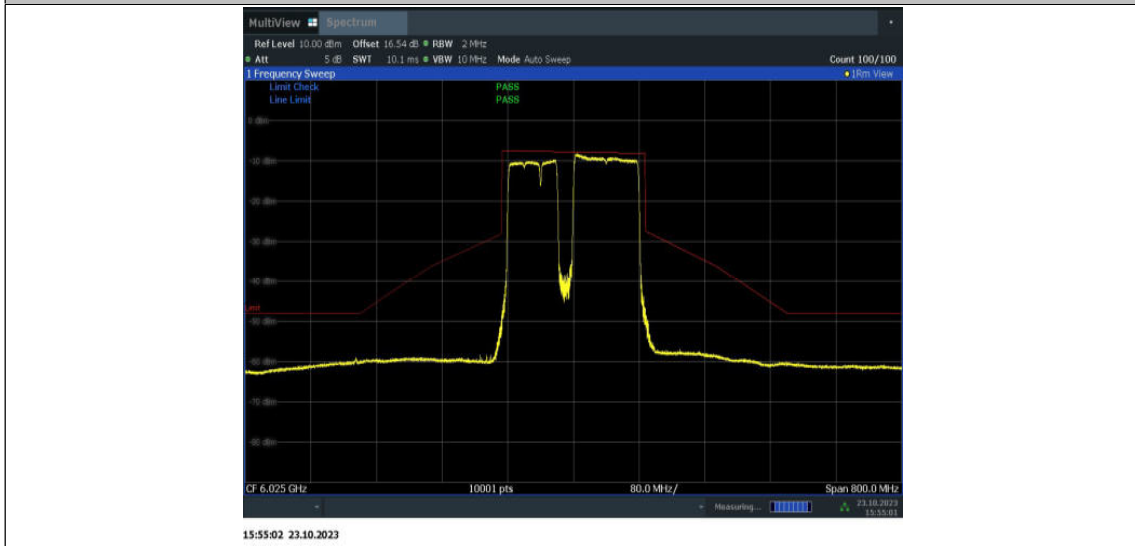
11BE160MIMO_Ant9_6025_996+484+242_OFDMA_2



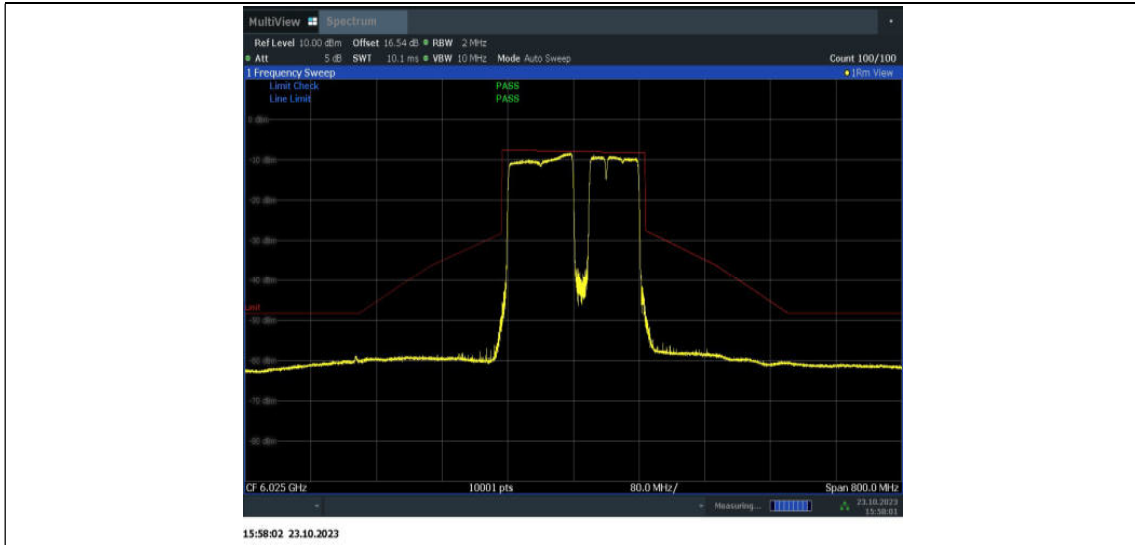
11BE160MIMO_Ant9_6025_996+484+242_OFDMA_3



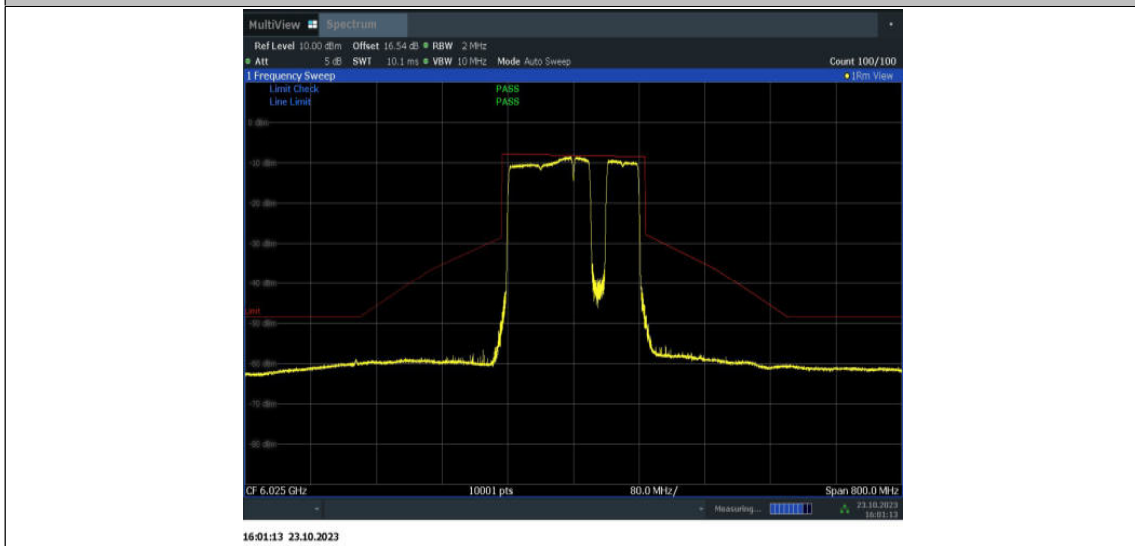
11BE160MIMO_Ant9_6025_996+484+242_OFDMA_4



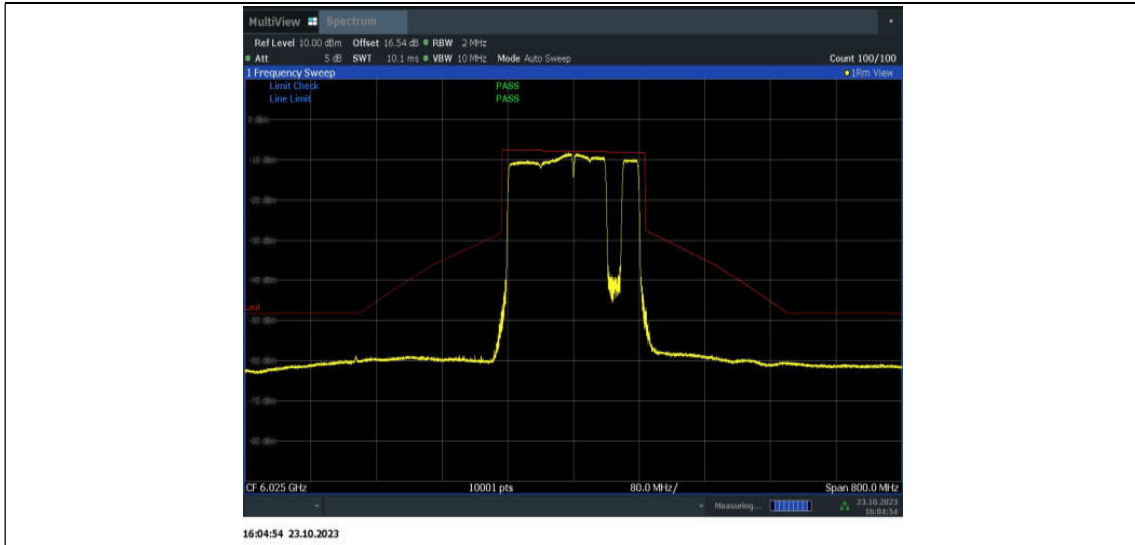
11BE160MIMO_Ant9_6025_996+484+242_OFDMA_5



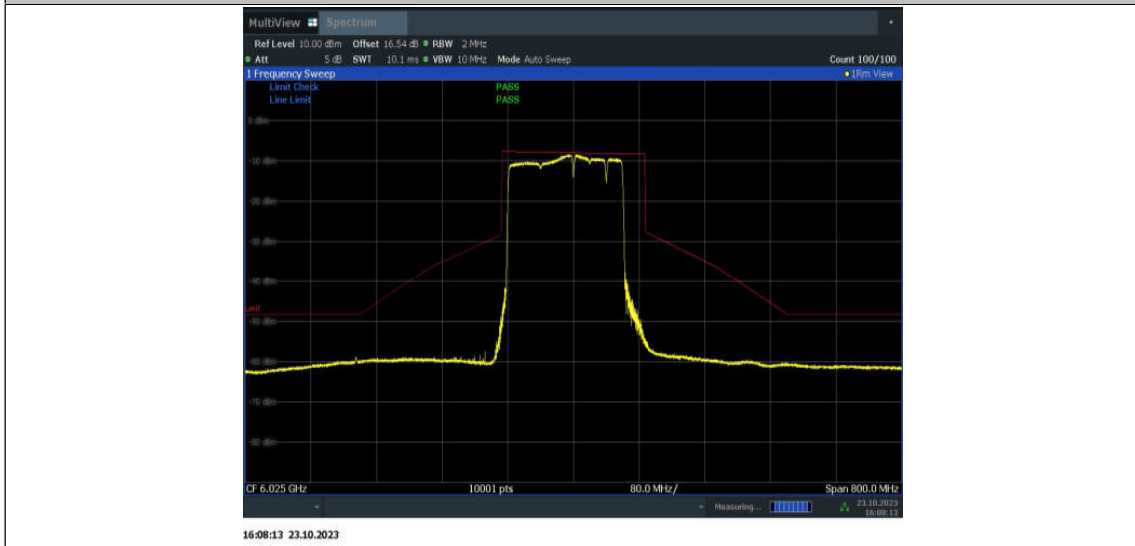
11BE160MIMO_Ant9_6025_996+484+242_OFDMA_6



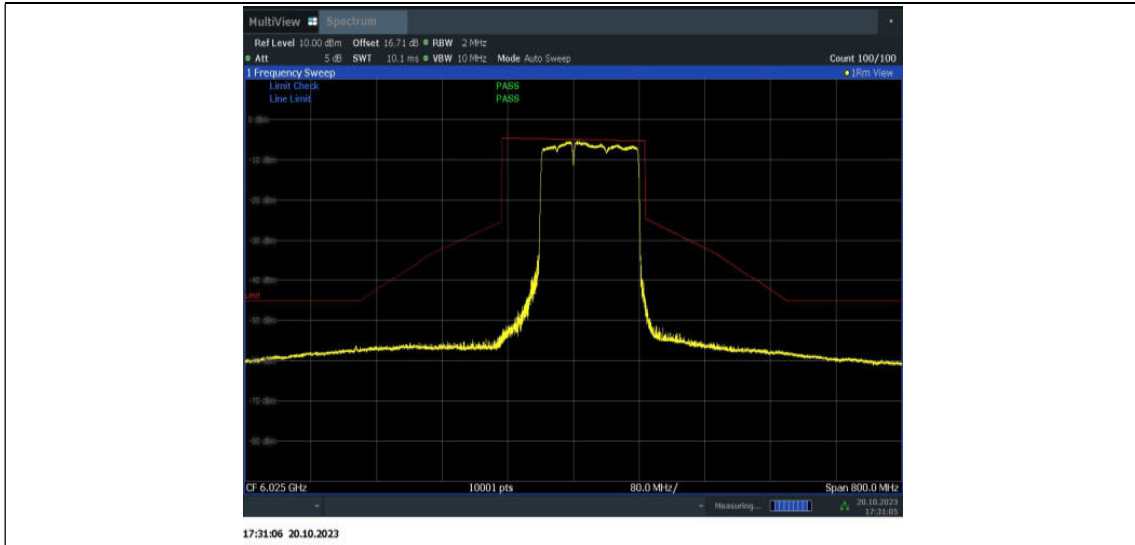
11BE160MIMO_Ant9_6025_996+484+242_OFDMA_7



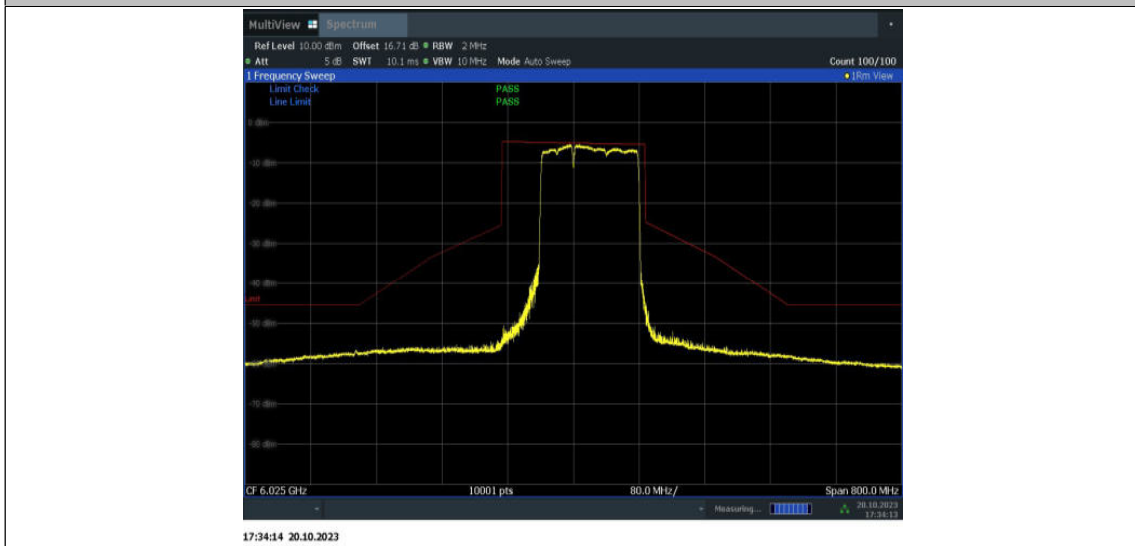
11BE160MIMO_Ant9_6025_996+484+242_OFDMA_8



11BE160MIMO_Ant15_6025_996+484_OFDMA_1



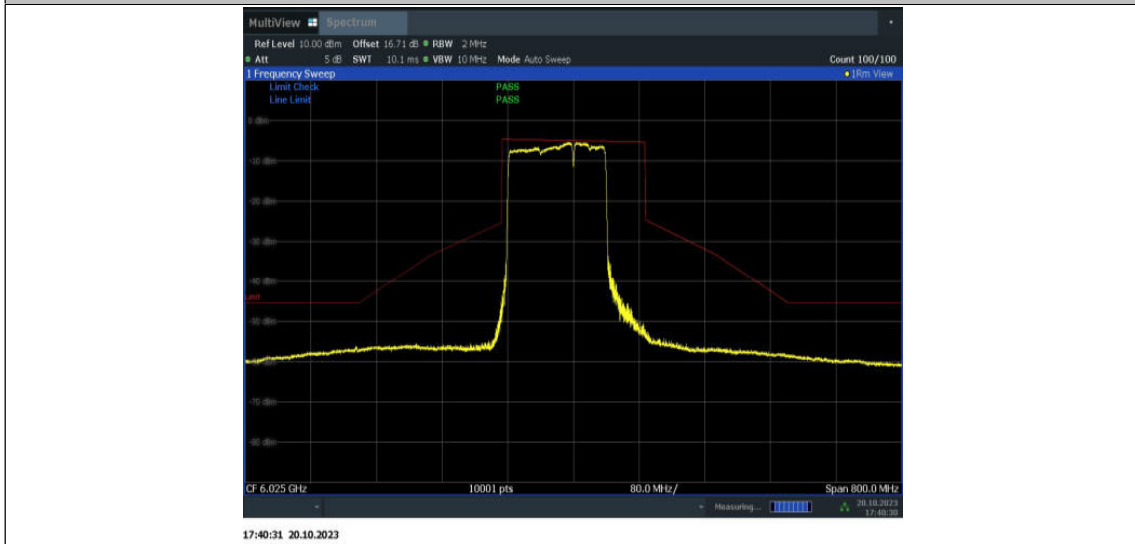
11BE160MIMO_Ant15_6025_996+484_OFDMA_2



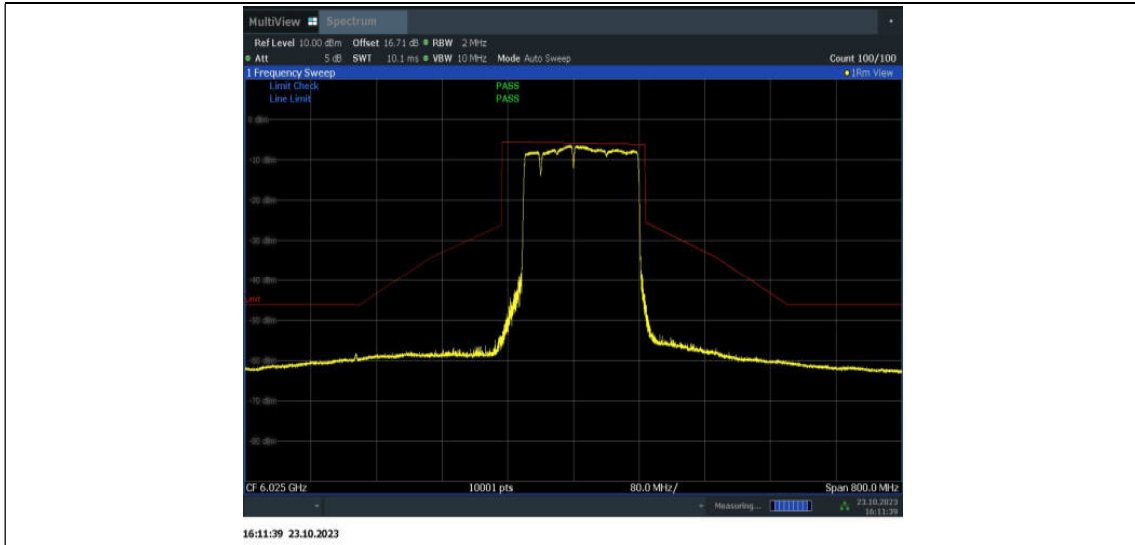
11BE160MIMO_Ant15_6025_996+484_OFDMA_3



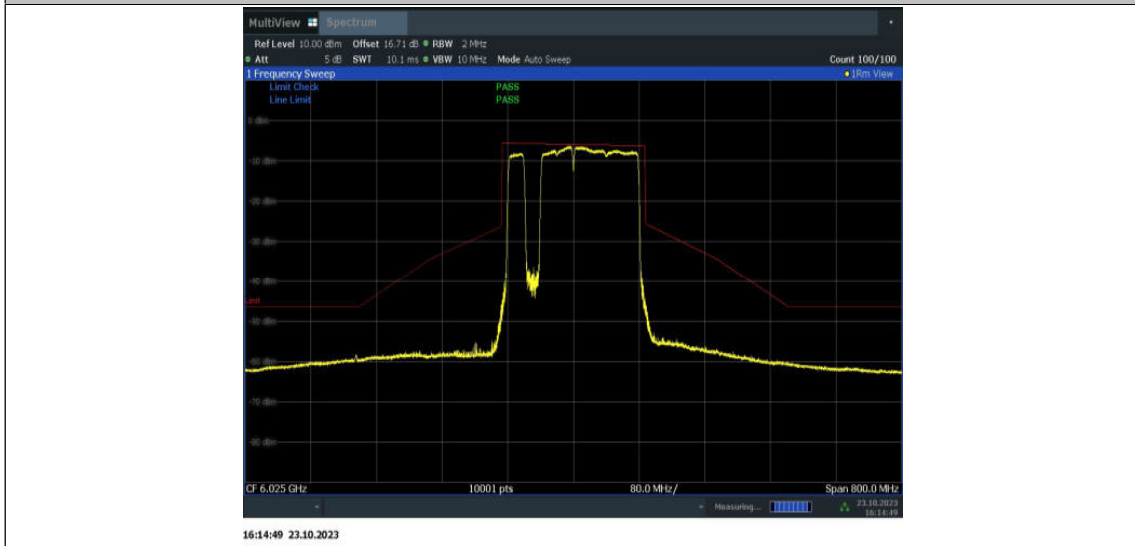
11BE160MIMO_Ant15_6025_996+484_OFDMA_4



11BE160MIMO_Ant15_6025_996+484+242_OFDMA_1



11BE160MIMO_Ant15_6025_996+484+242_OFDMA_2



11BE160MIMO_Ant15_6025_996+484+242_OFDMA_3



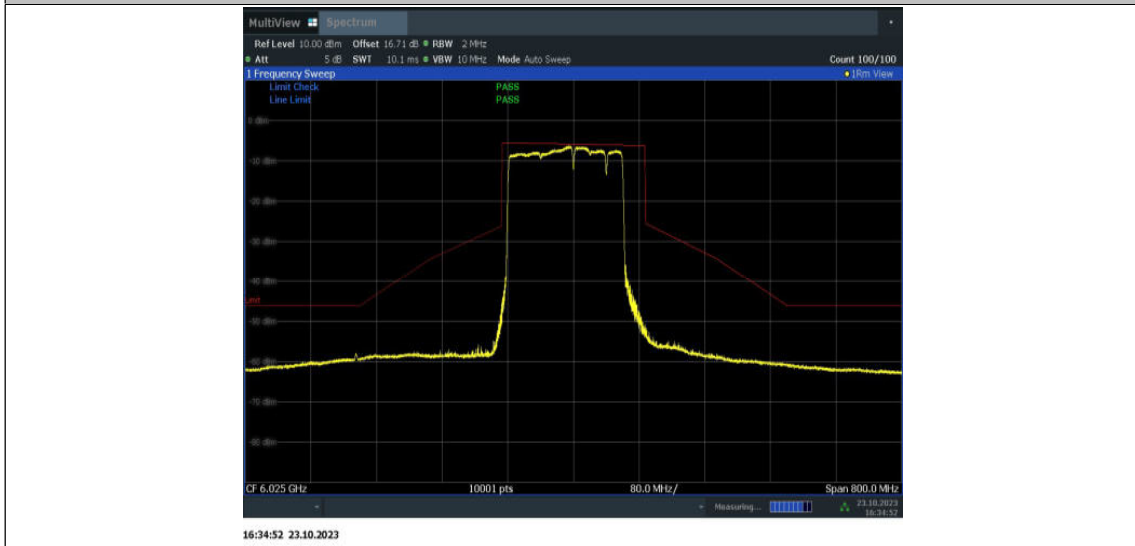
11BE160MIMO_Ant15_6025_996+484+242_OFDMA_4



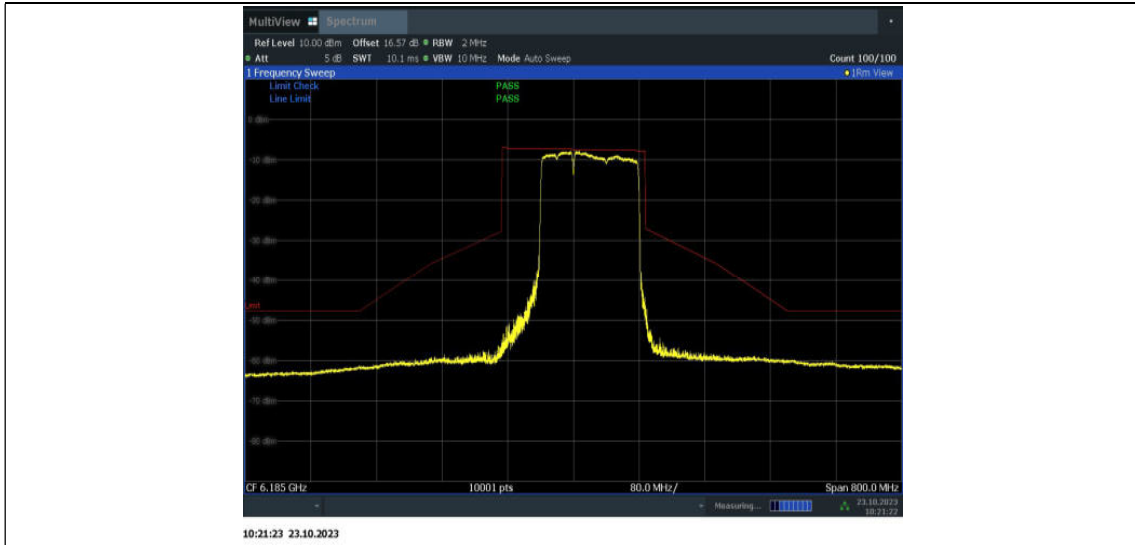
11BE160MIMO_Ant15_6025_996+484+242_OFDMA_5



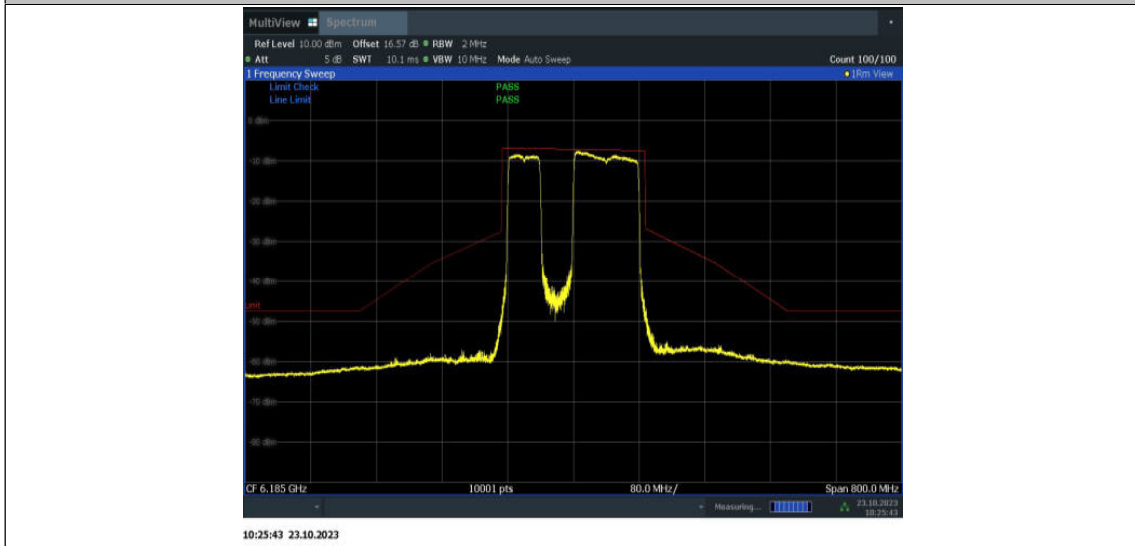
11BE160MIMO_Ant15_6025_996+484+242_OFDMA_8



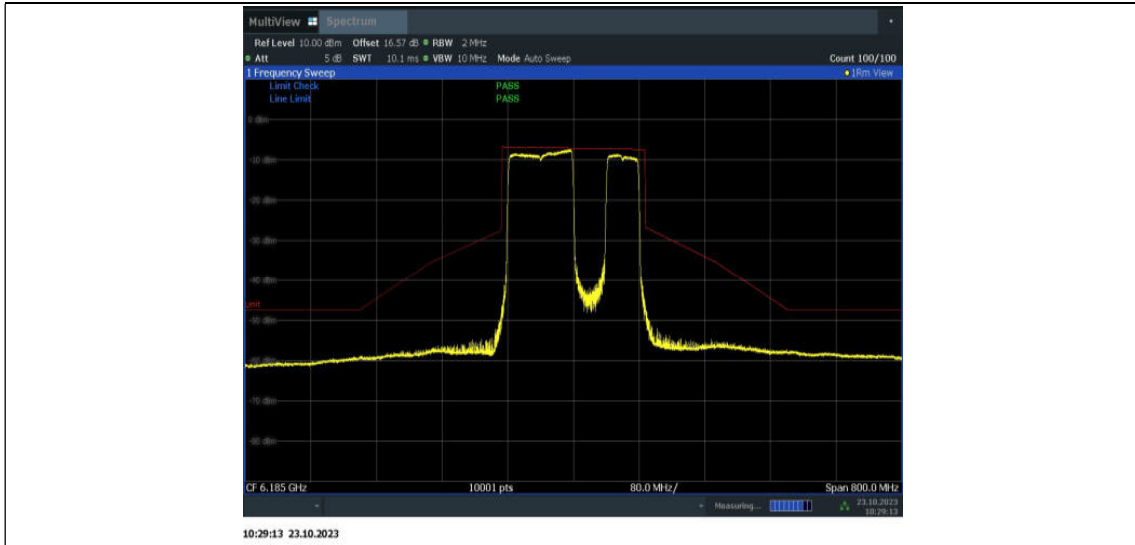
11BE160MIMO_Ant9_6185_996+484_OFDMA_1



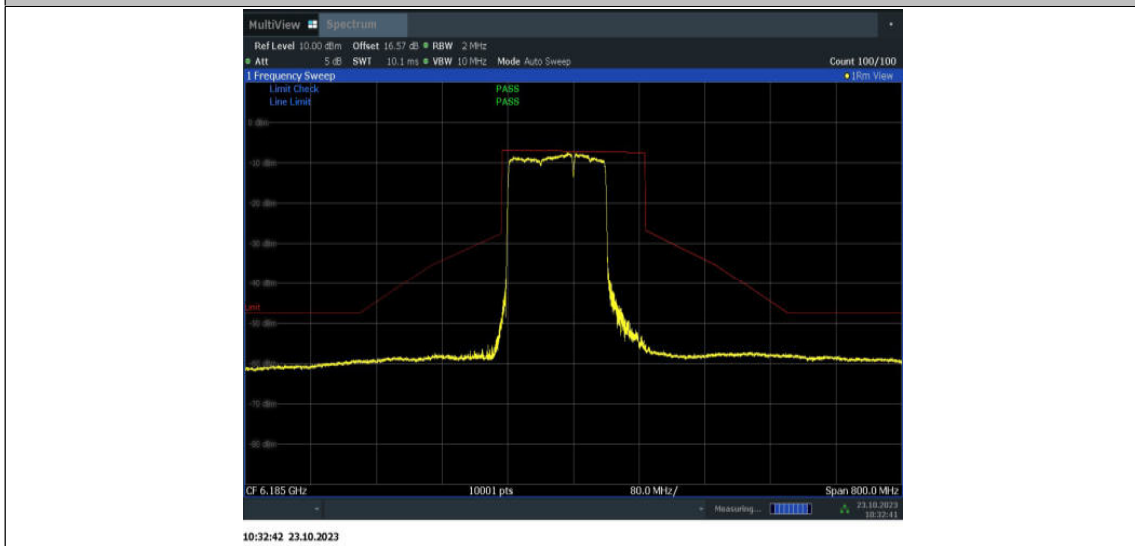
11BE160MIMO_Ant9_6185_996+484_OFDMA_2



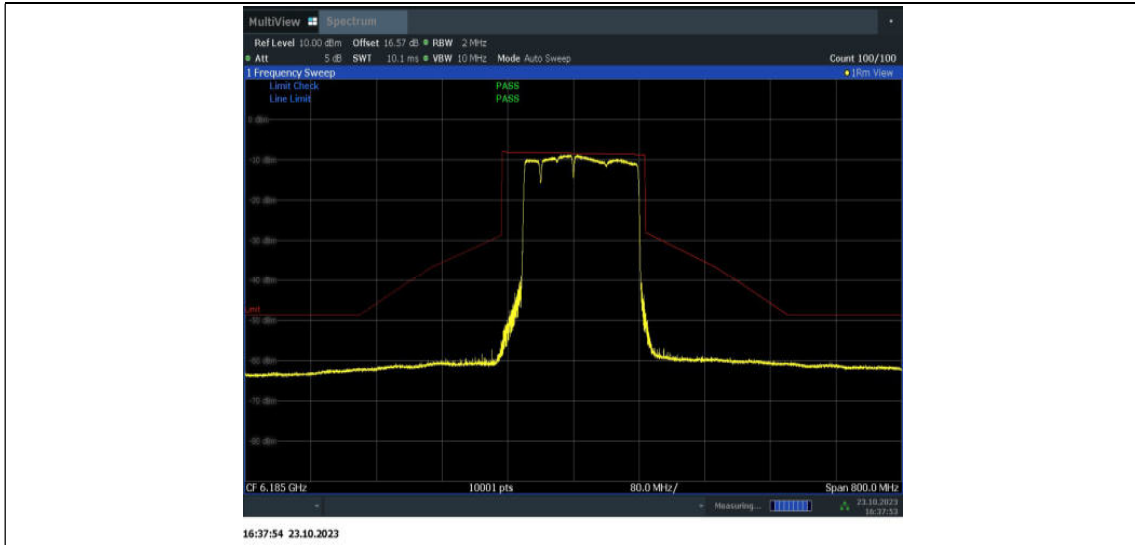
11BE160MIMO_Ant9_6185_996+484_OFDMA_3



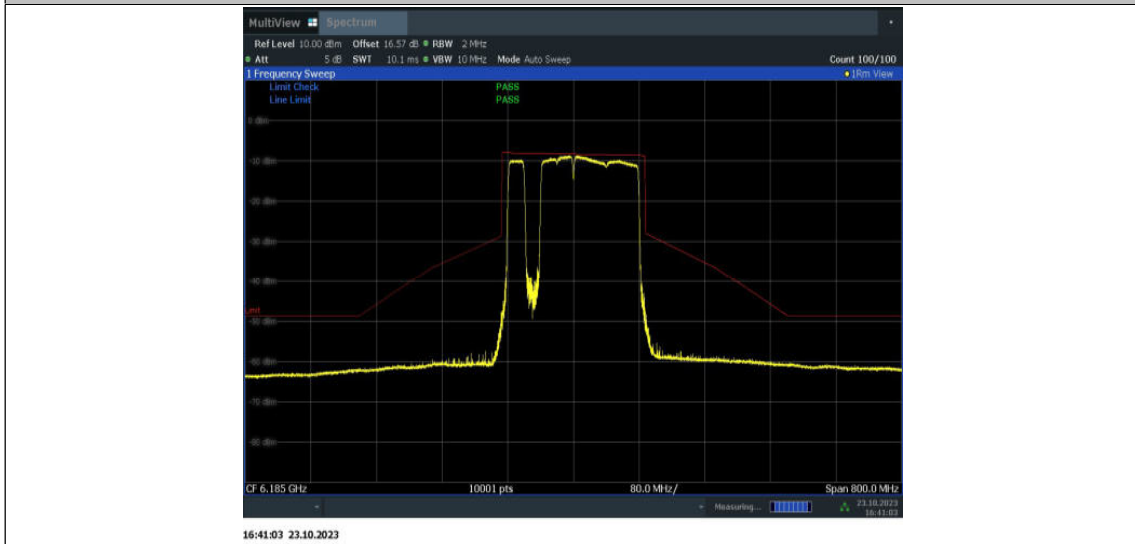
11BE160MIMO_Ant9_6185_996+484_OFDMA_4



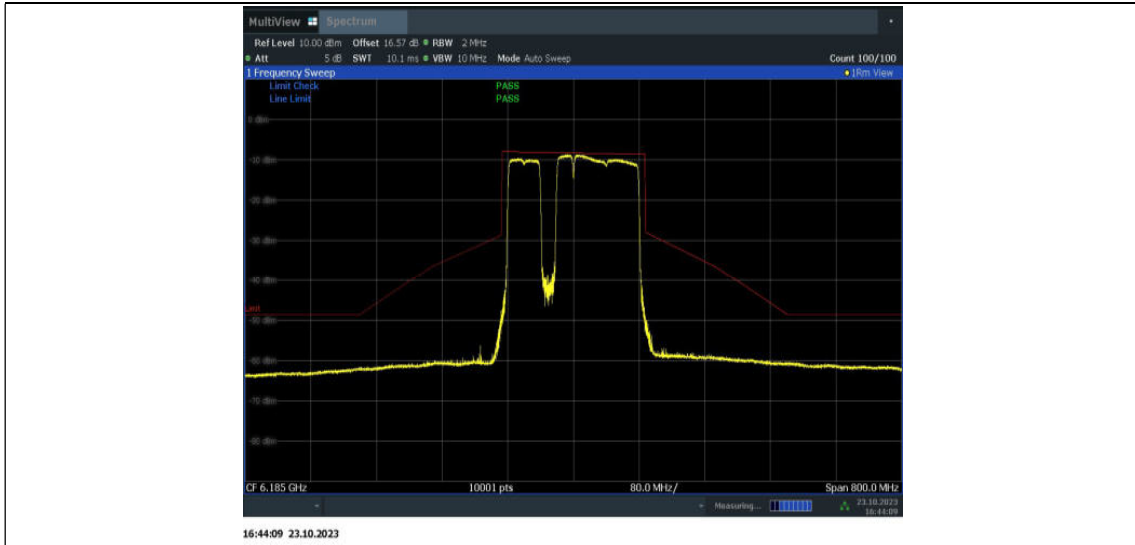
11BE160MIMO_Ant9_6185_996+484+242_OFDMA_1



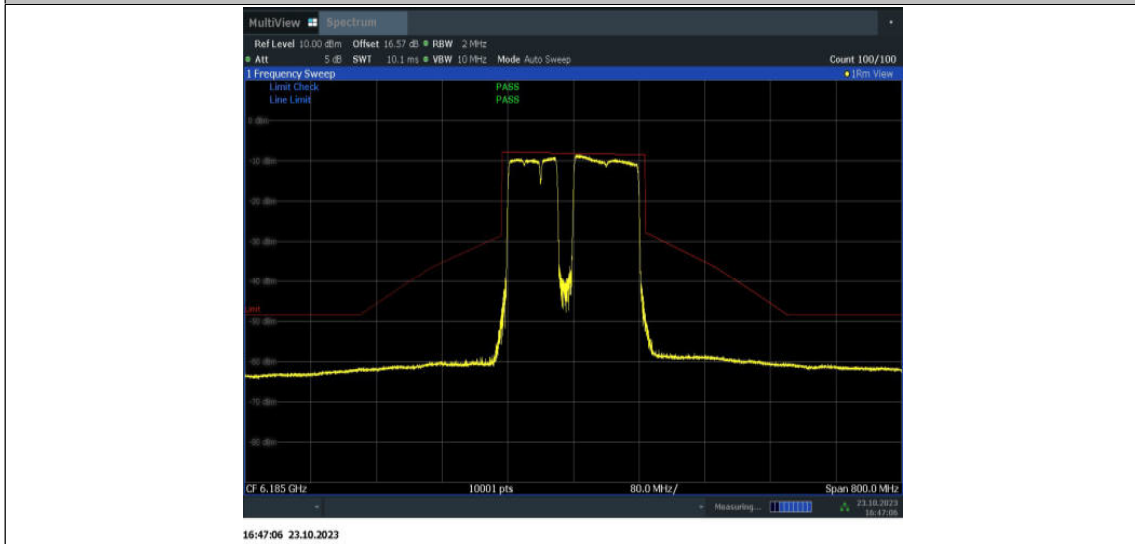
11BE160MIMO_Ant9_6185_996+484+242_OFDMA_2



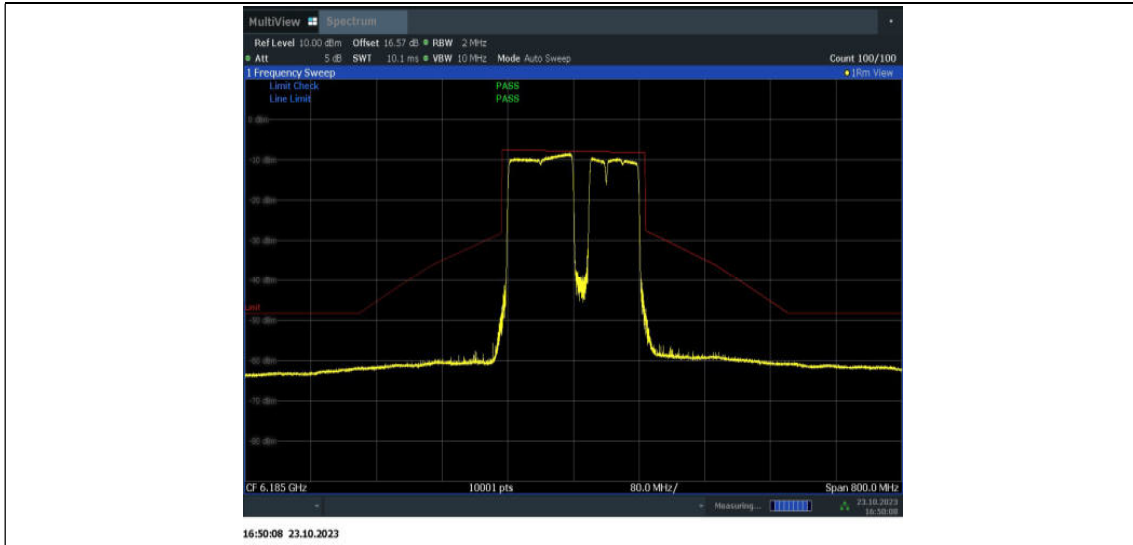
11BE160MIMO_Ant9_6185_996+484+242_OFDMA_3



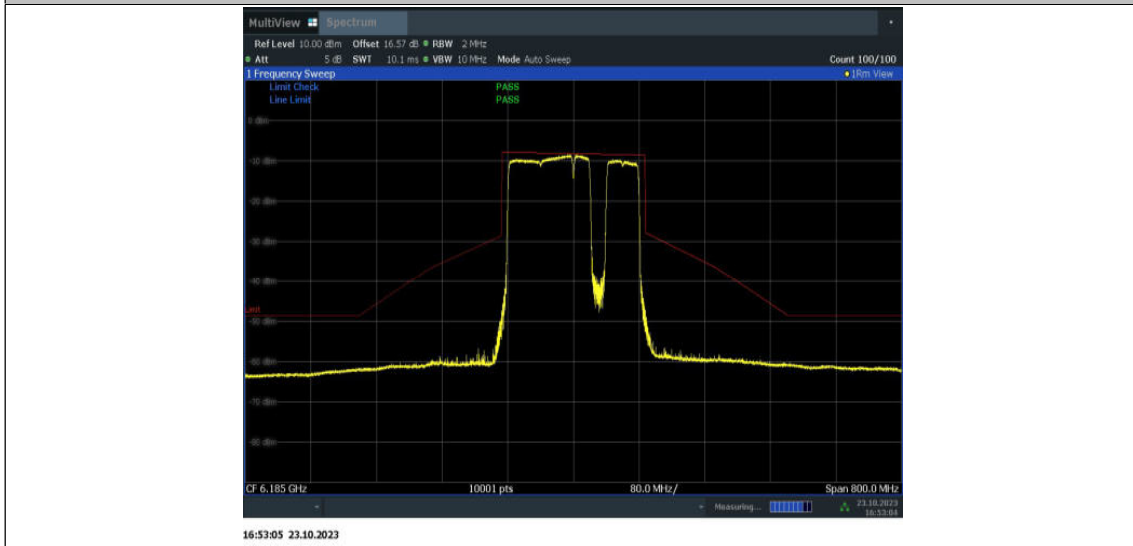
11BE160MIMO_Ant9_6185_996+484+242_OFDMA_4



11BE160MIMO_Ant9_6185_996+484+242_OFDMA_5



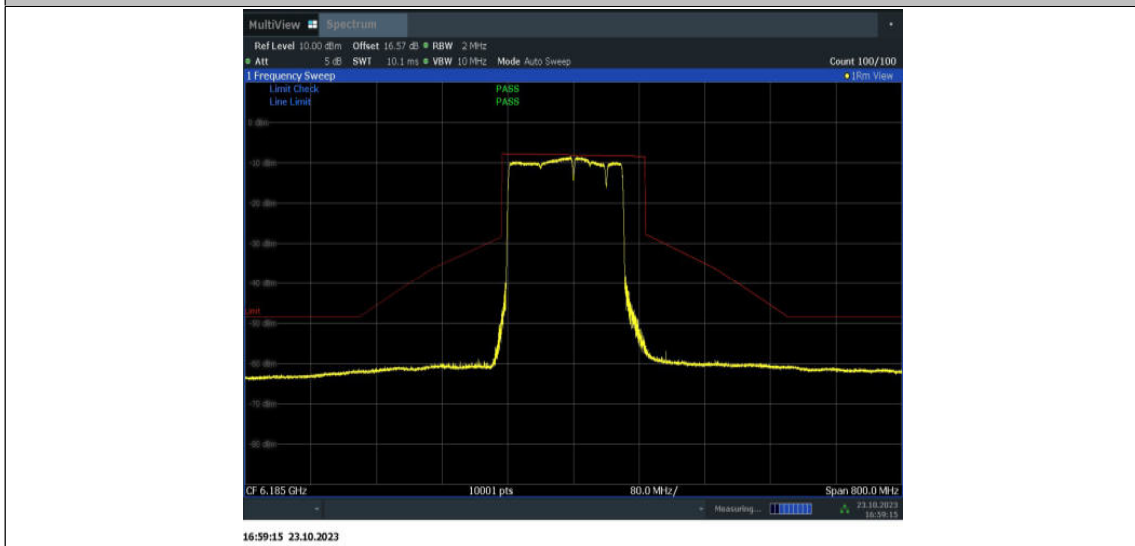
11BE160MIMO_Ant9_6185_996+484+242_OFDMA_6



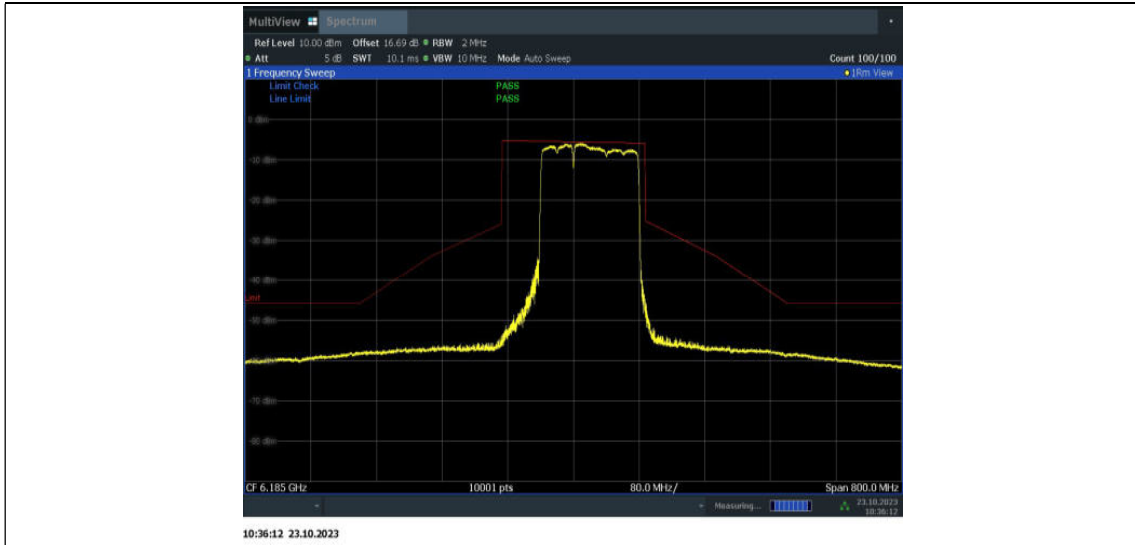
11BE160MIMO_Ant9_6185_996+484+242_OFDMA_7



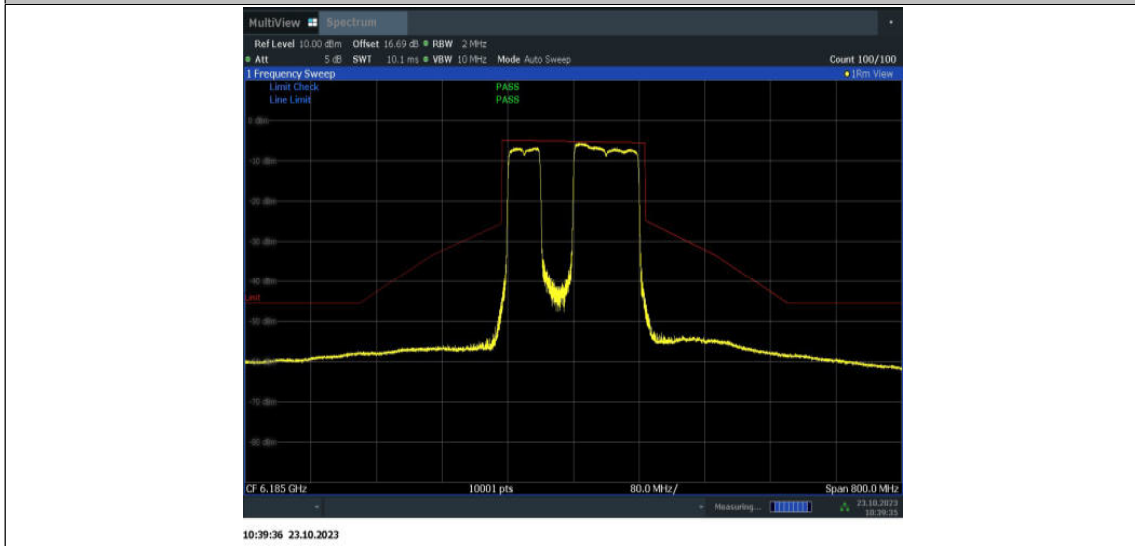
11BE160MIMO_Ant9_6185_996+484+242_OFDMA_8



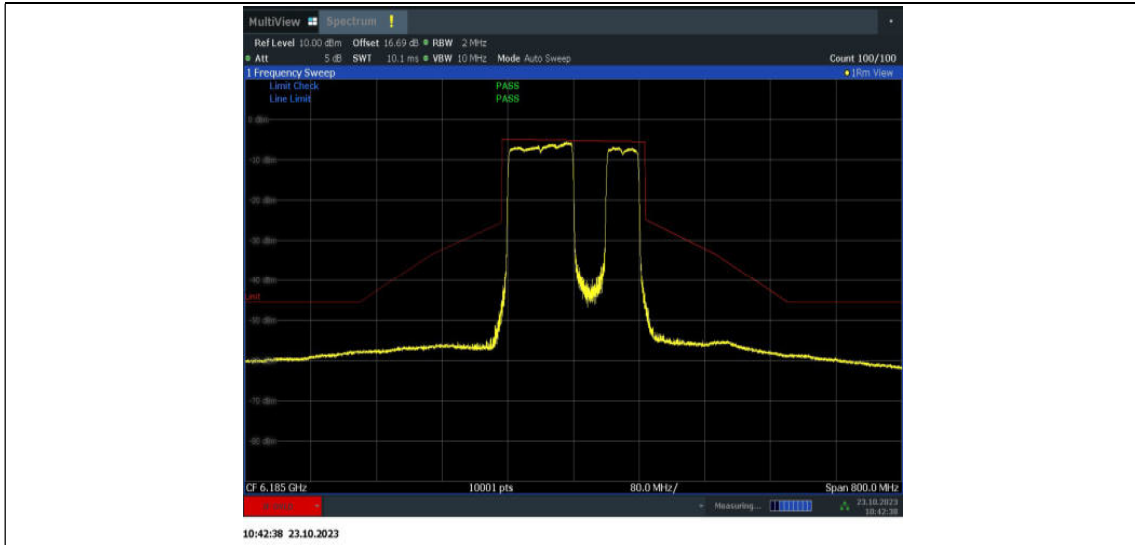
11BE160MIMO_Ant15_6185_996+484_OFDMA_1



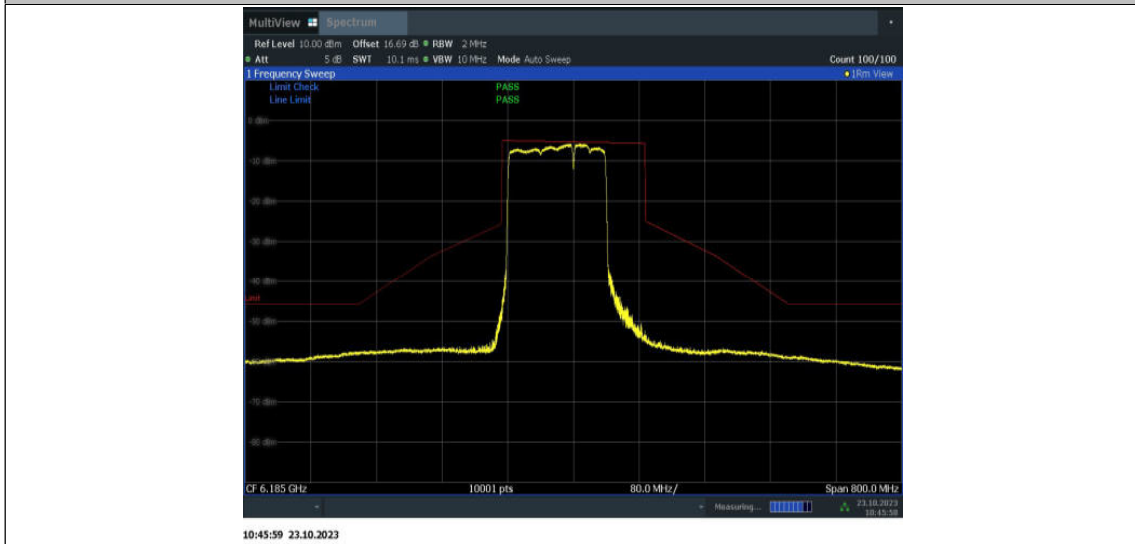
11BE160MIMO_Ant15_6185_996+484_OFDMA_2



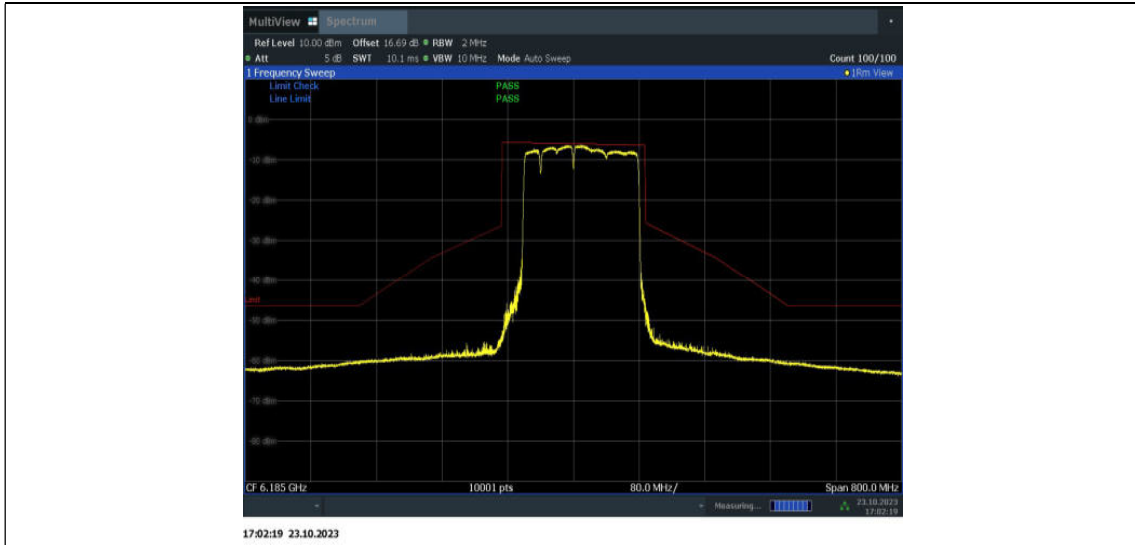
11BE160MIMO_Ant15_6185_996+484_OFDMA_3



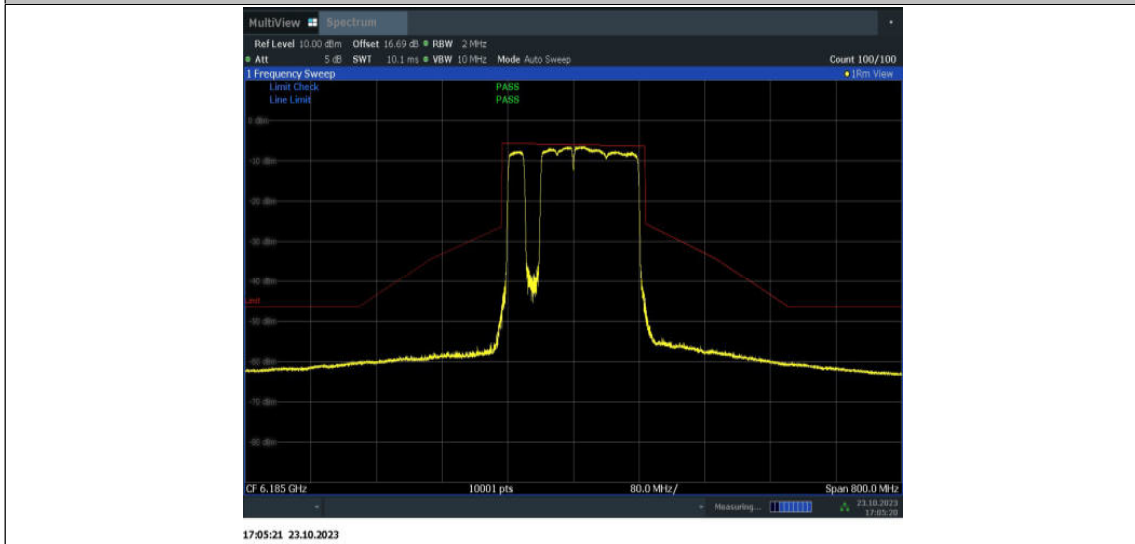
11BE160MIMO_Ant15_6185_996+484_OFDMA_4



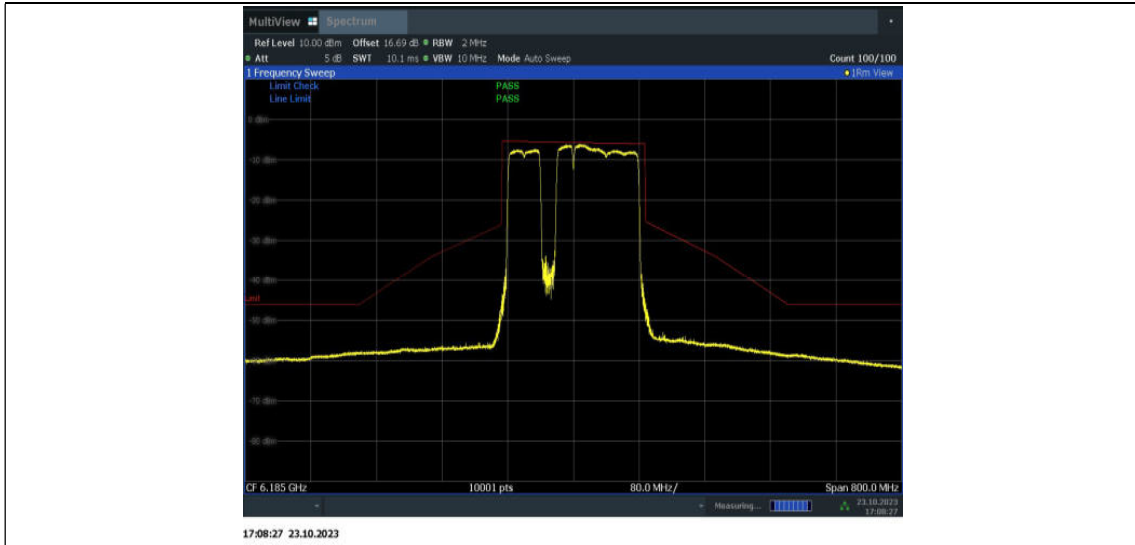
11BE160MIMO_Ant15_6185_996+484+242_OFDMA_1



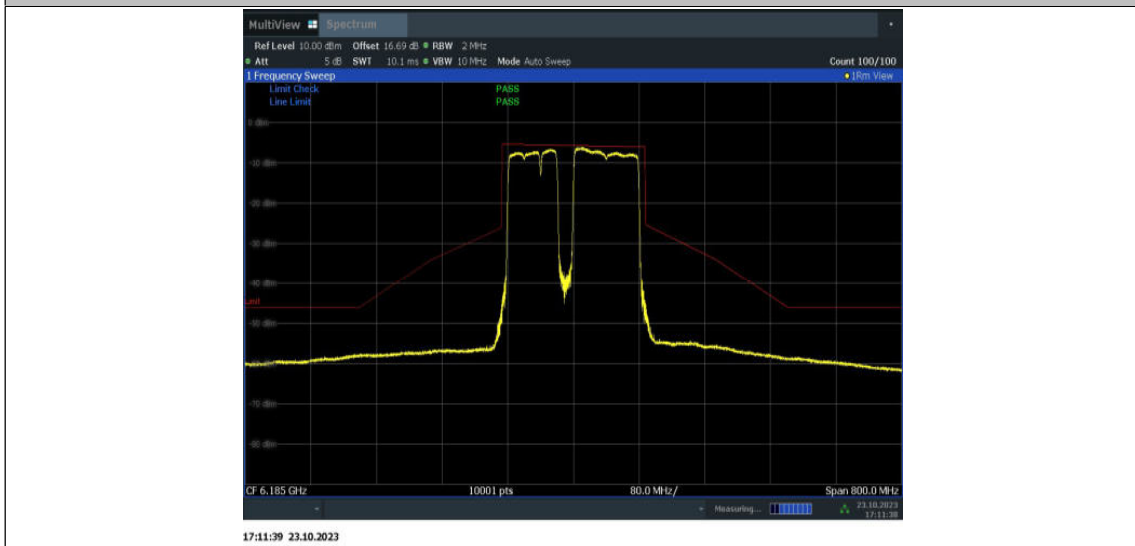
11BE160MIMO_Ant15_6185_996+484+242_OFDMA_2



11BE160MIMO_Ant15_6185_996+484+242_OFDMA_3



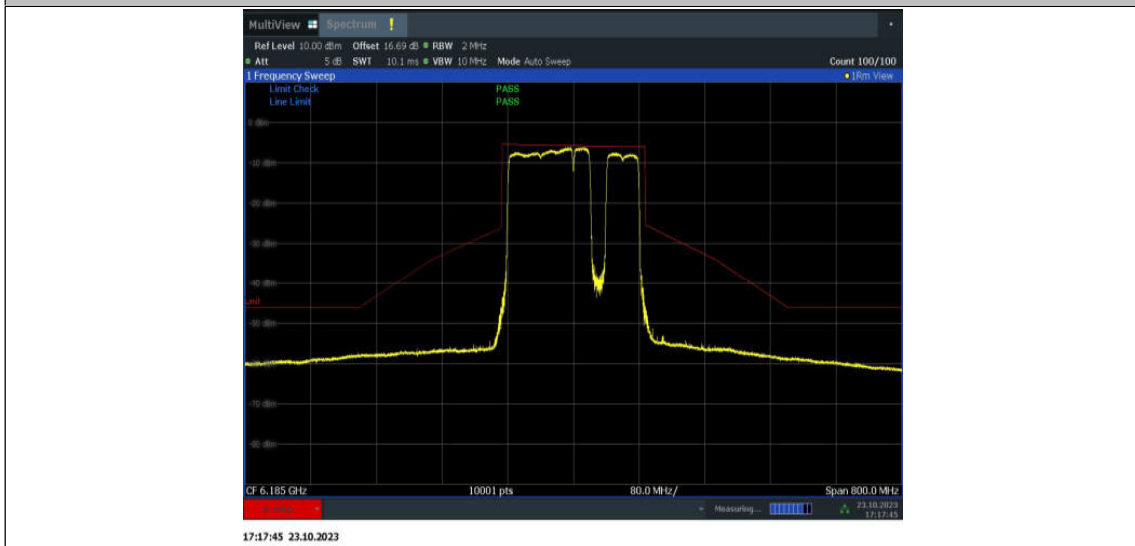
11BE160MIMO_Ant15_6185_996+484+242_OFDMA_4



11BE160MIMO_Ant15_6185_996+484+242_OFDMA_5



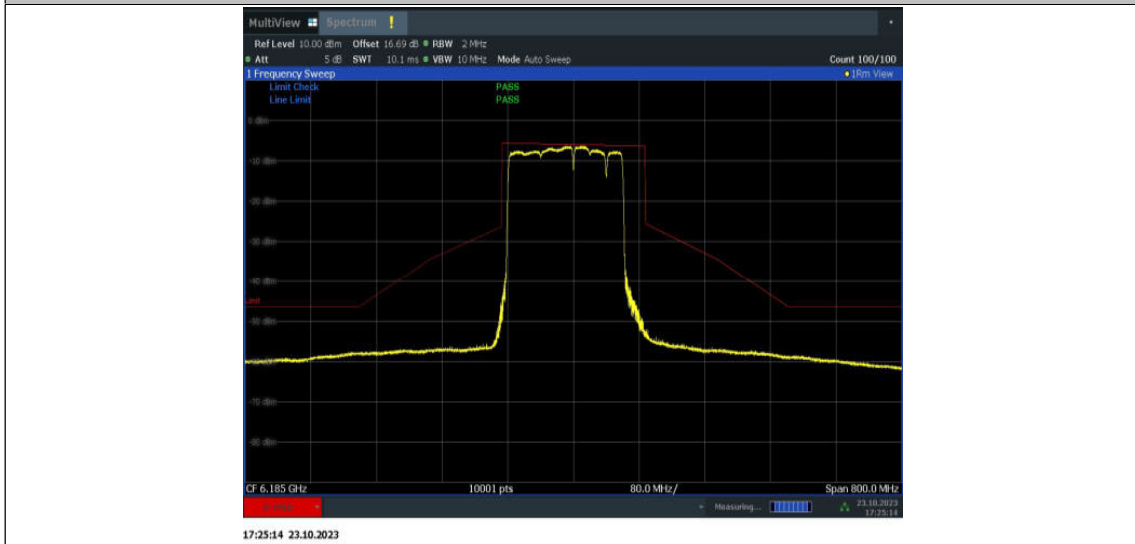
11BE160MIMO_Ant15_6185_996+484+242_OFDMA_6



11BE160MIMO_Ant15_6185_996+484+242_OFDMA_7



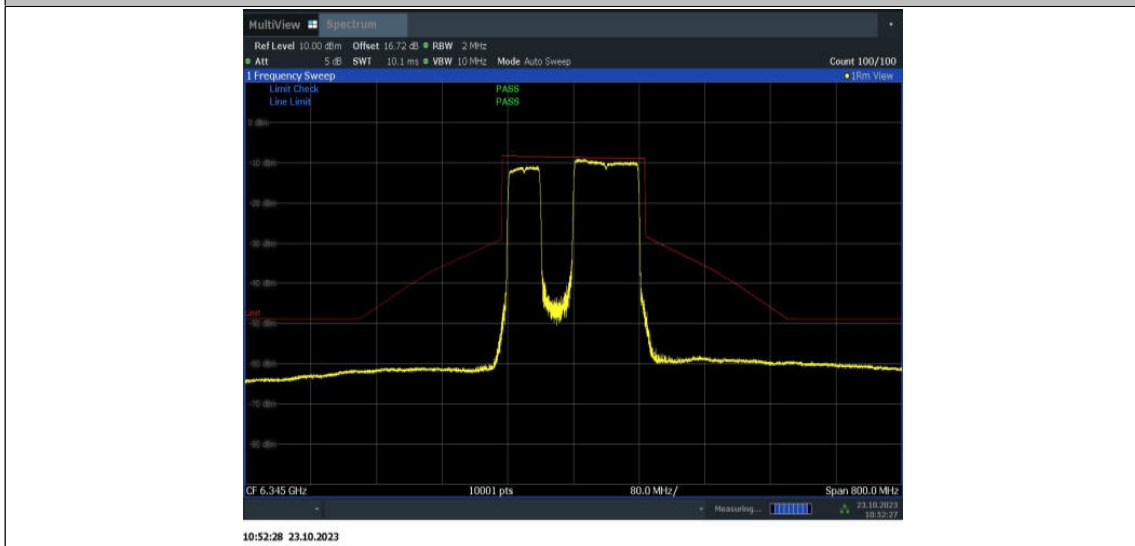
11BE160MIMO_Ant15_6185_996+484+242_OFDMA_8



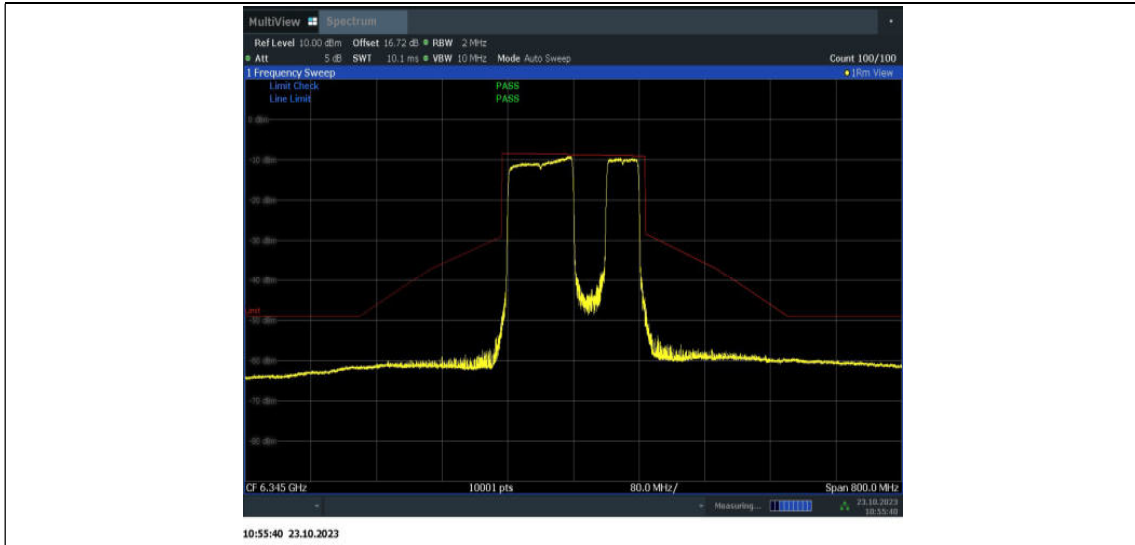
11BE160MIMO_Ant9_6345_996+484_OFDMA_1



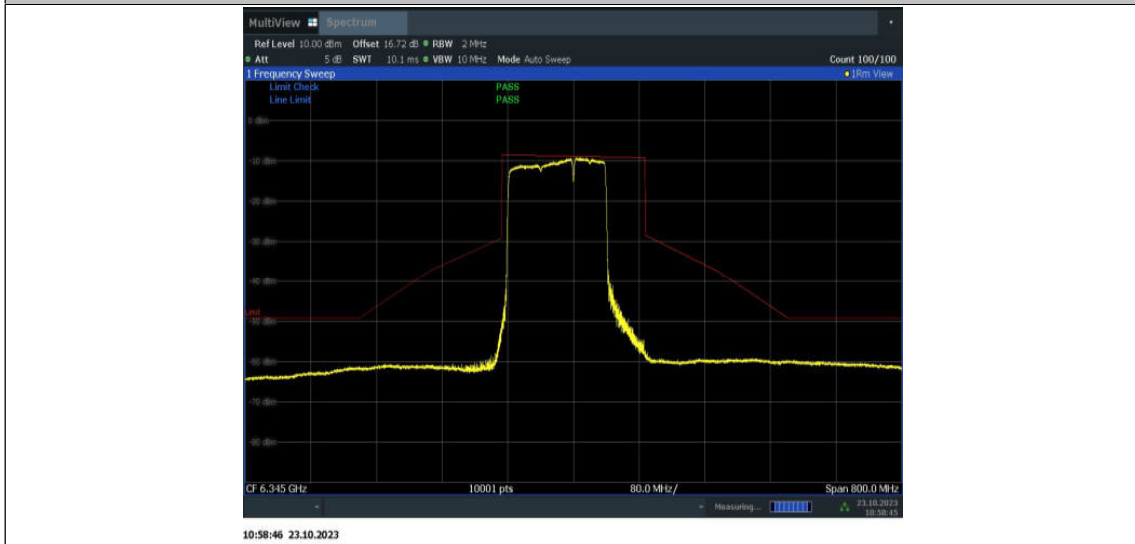
11BE160MIMO_Ant9_6345_996+484_OFDMA_2



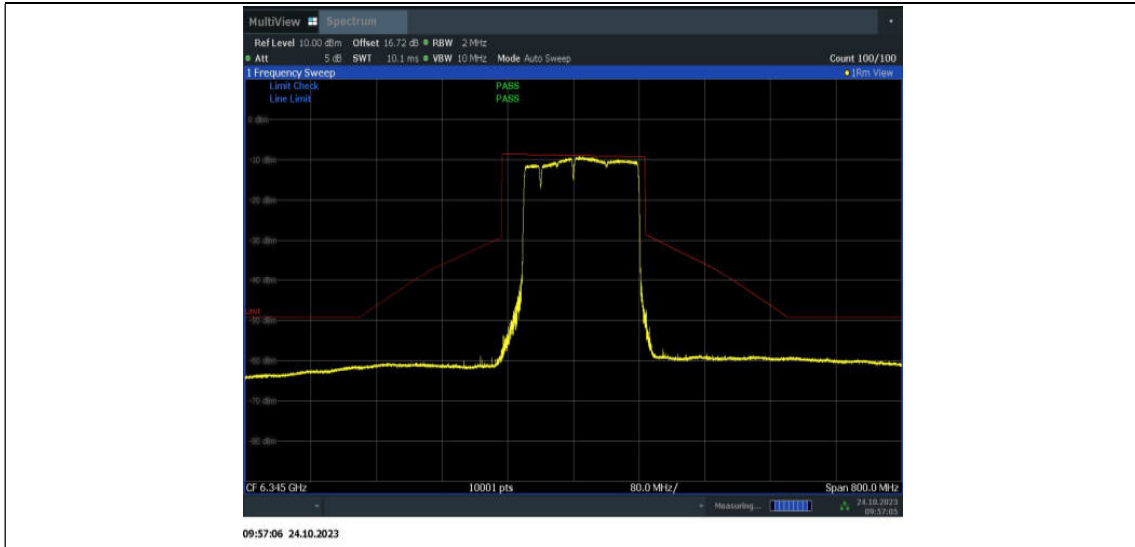
11BE160MIMO_Ant9_6345_996+484_OFDMA_3



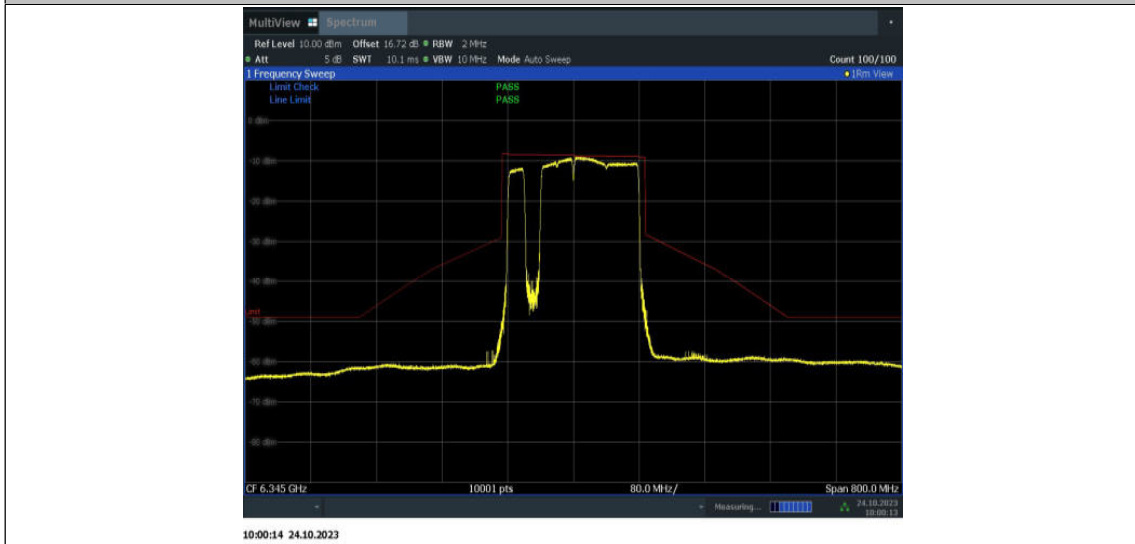
11BE160MIMO_Ant9_6345_996+484_OFDMA_4



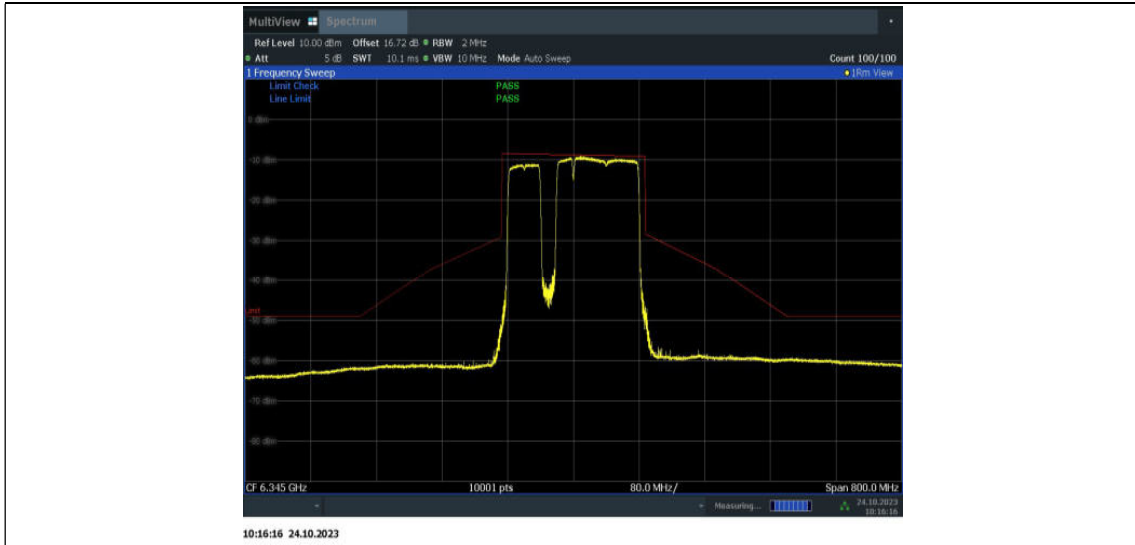
11BE160MIMO_Ant9_6345_996+484+242_OFDMA_1



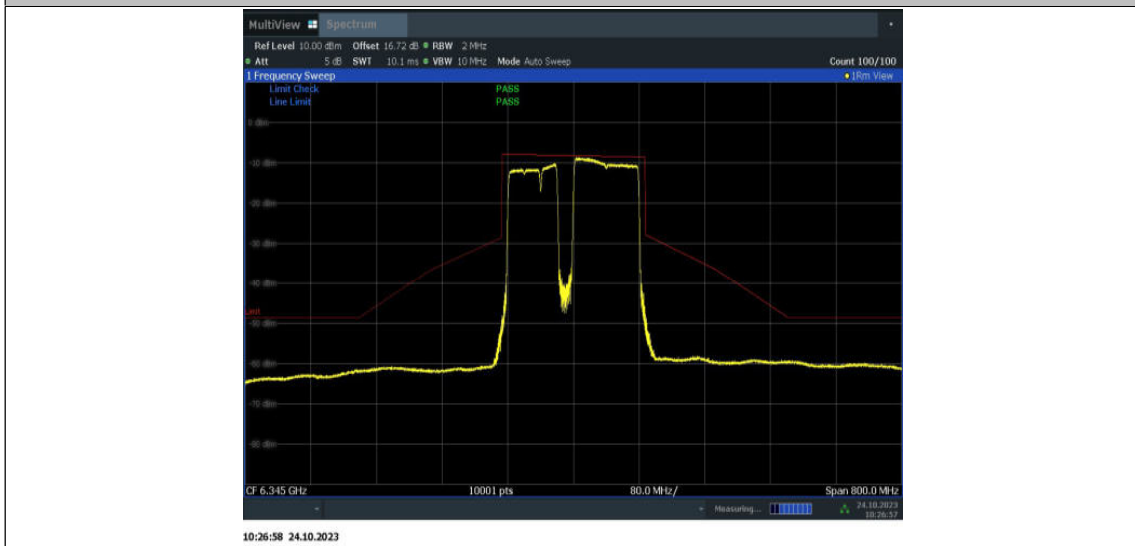
11BE160MIMO_Ant9_6345_996+484+242_OFDMA_2



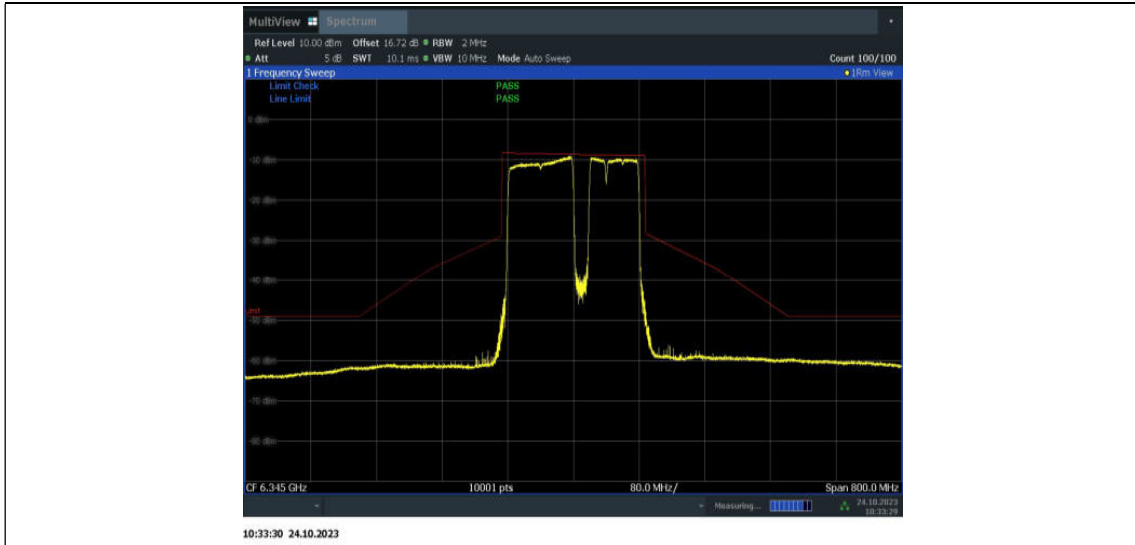
11BE160MIMO_Ant9_6345_996+484+242_OFDMA_3



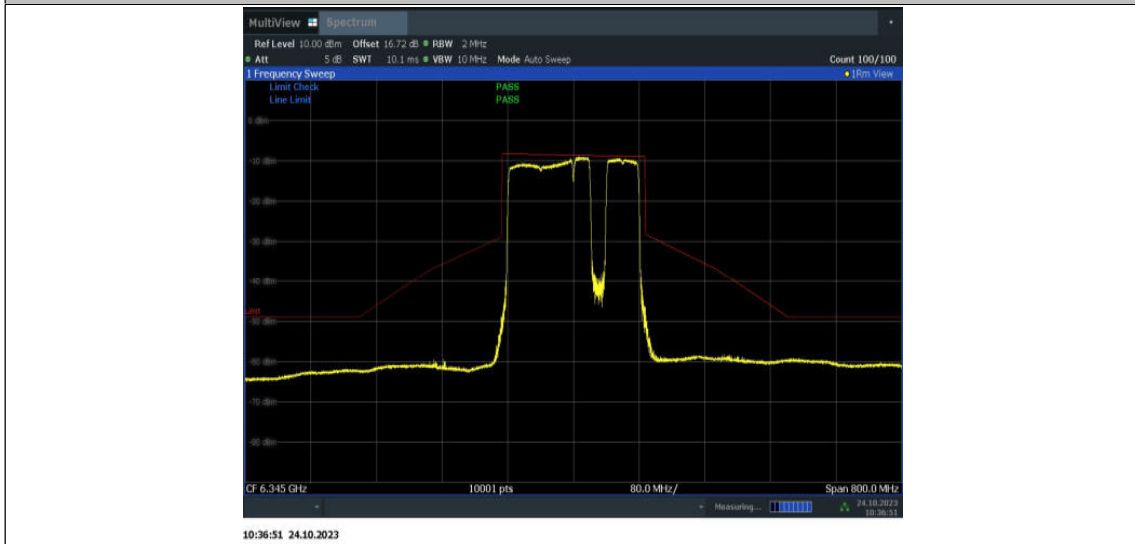
11BE160MIMO_Ant9_6345_996+484+242_OFDMA_4



11BE160MIMO_Ant9_6345_996+484+242_OFDMA_5



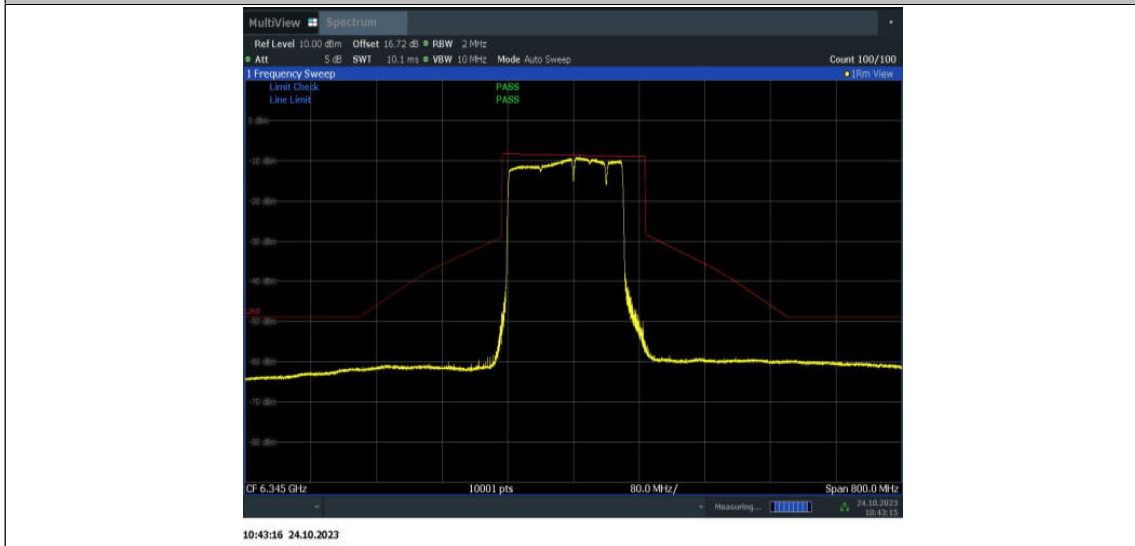
11BE160MIMO_Ant9_6345_996+484+242_OFDMA_6



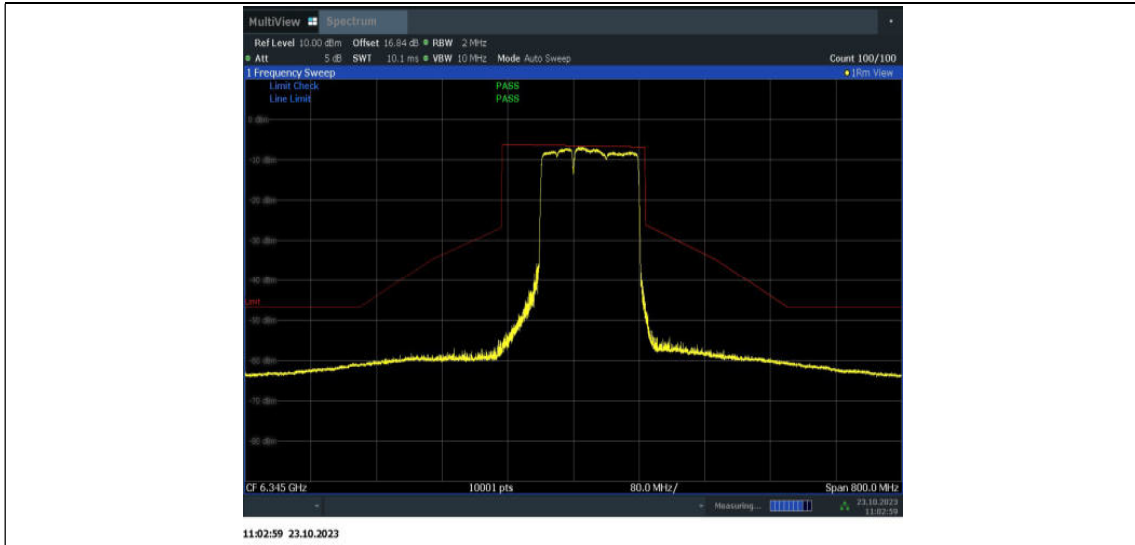
11BE160MIMO_Ant9_6345_996+484+242_OFDMA_7



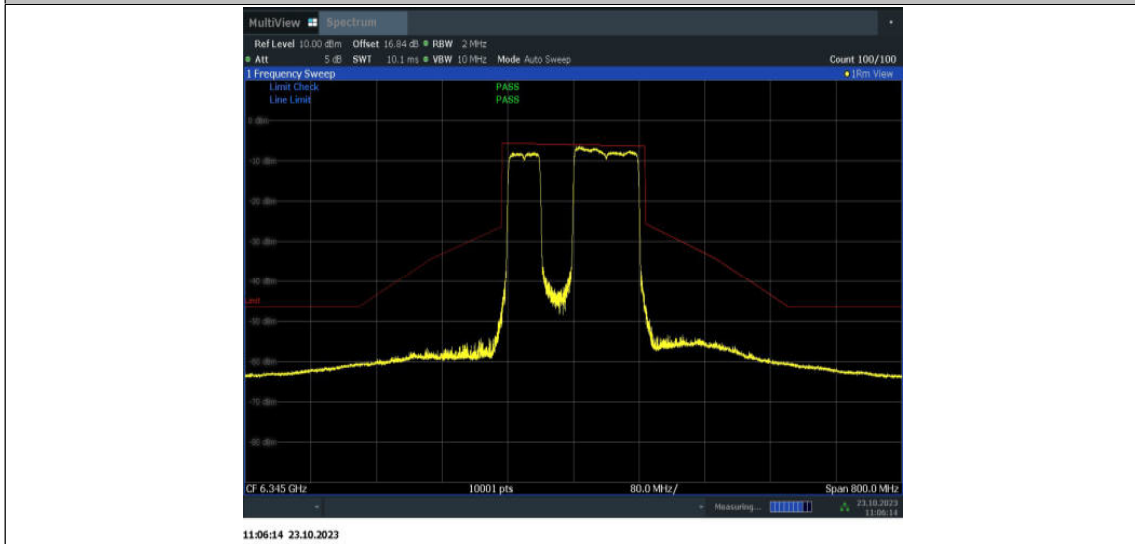
11BE160MIMO_Ant9_6345_996+484+242_OFDMA_8



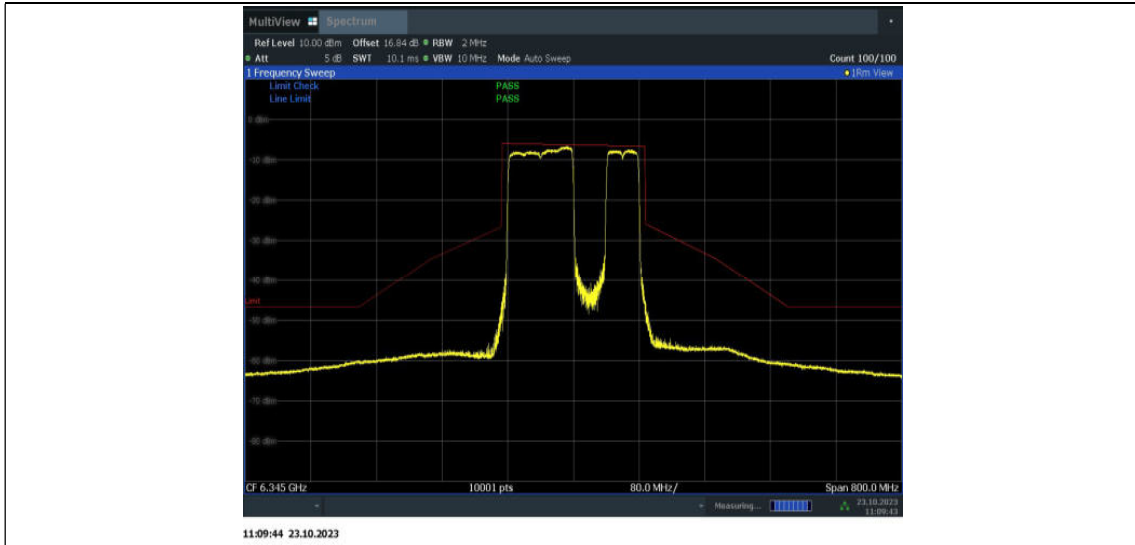
11BE160MIMO_Ant15_6345_996+484_OFDMA_1



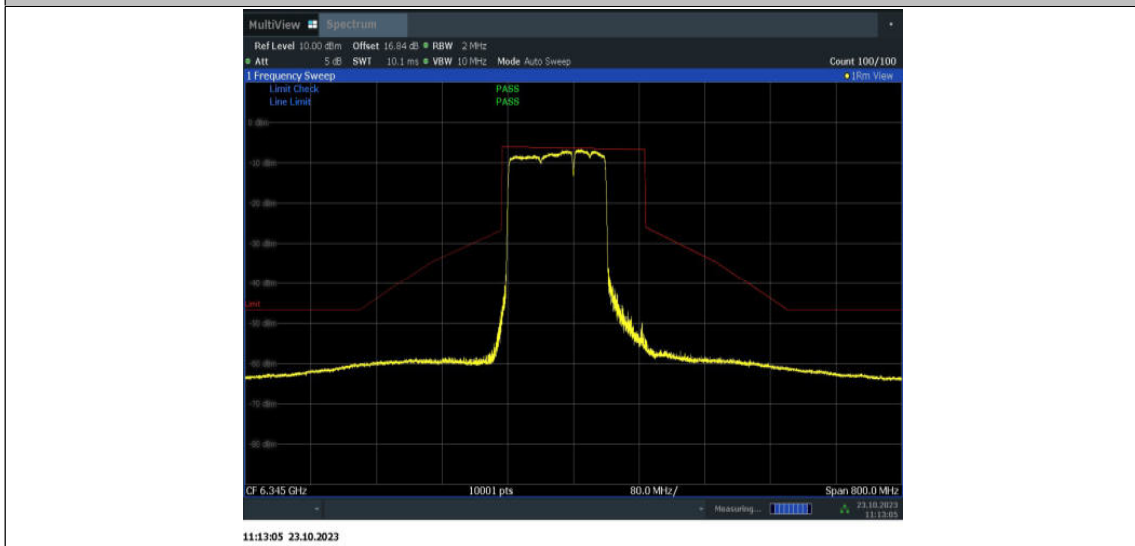
11BE160MIMO_Ant15_6345_996+484_OFDMA_2



11BE160MIMO_Ant15_6345_996+484_OFDMA_3



11BE160MIMO_Ant15_6345_996+484_OFDMA_4



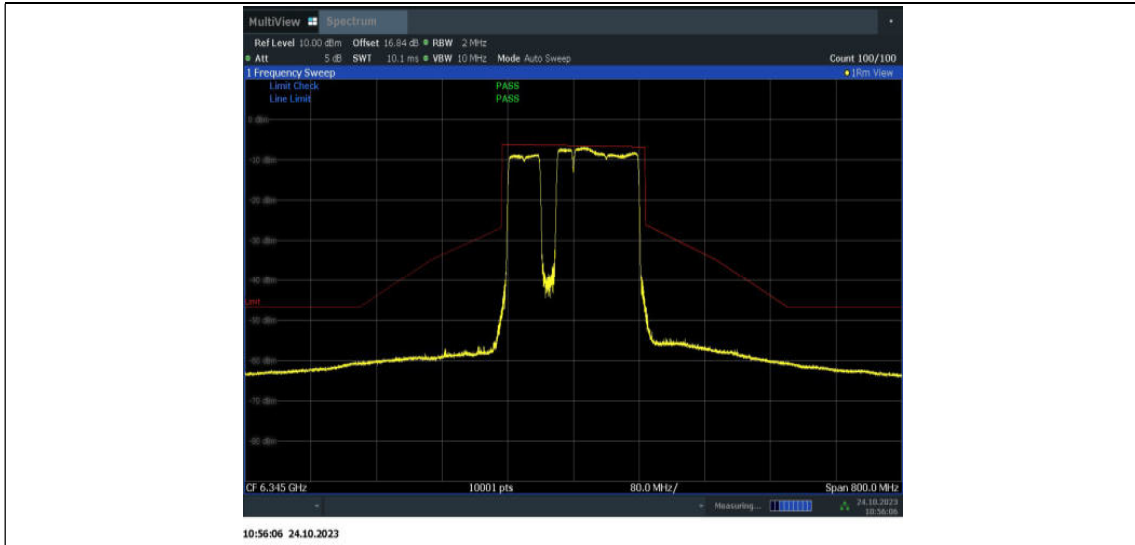
11BE160MIMO_Ant15_6345_996+484+242_OFDMA_1



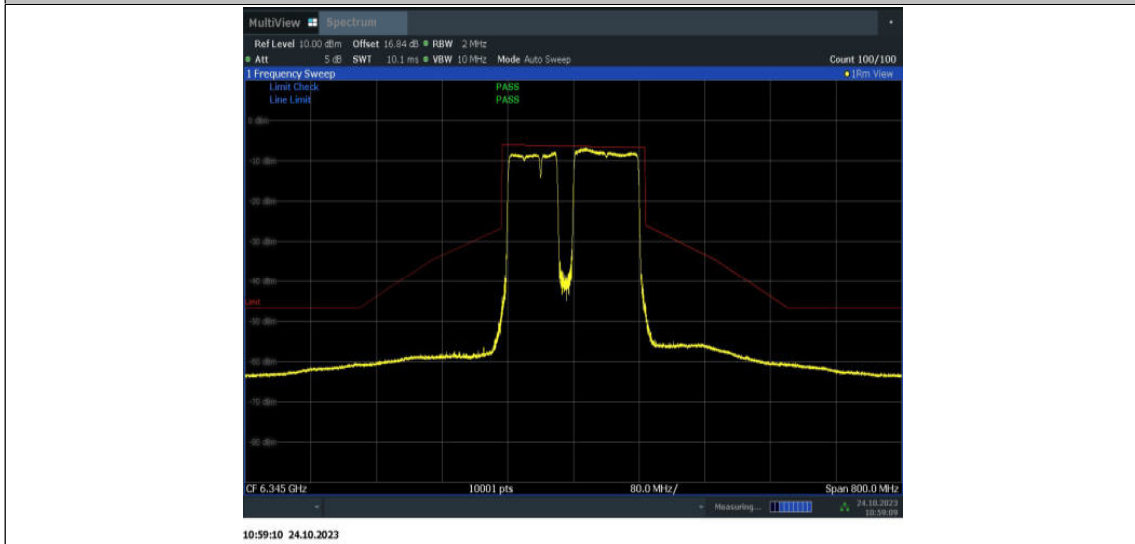
11BE160MIMO_Ant15_6345_996+484+242_OFDMA_2



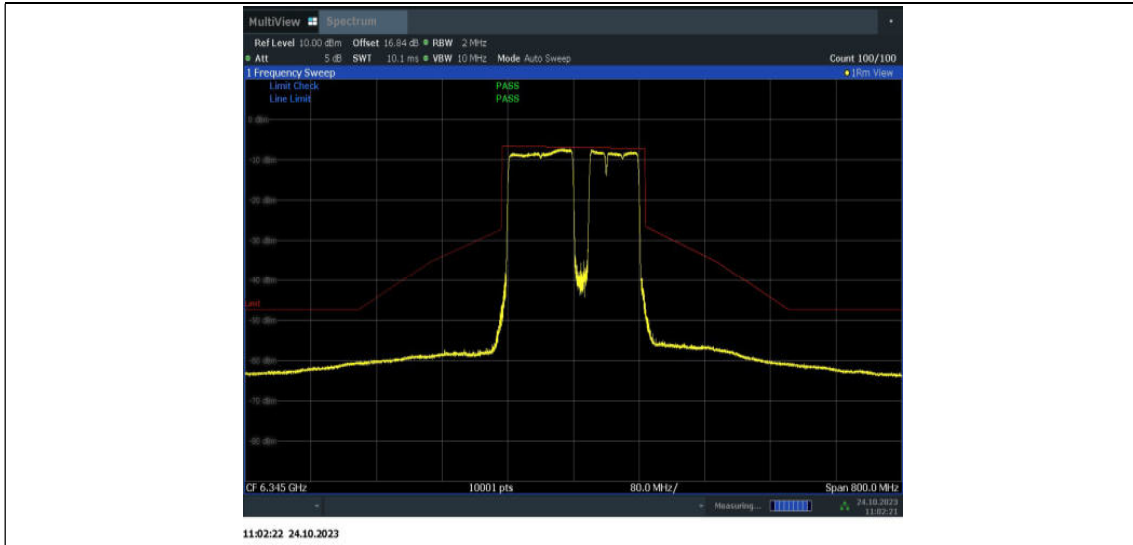
11BE160MIMO_Ant15_6345_996+484+242_OFDMA_3



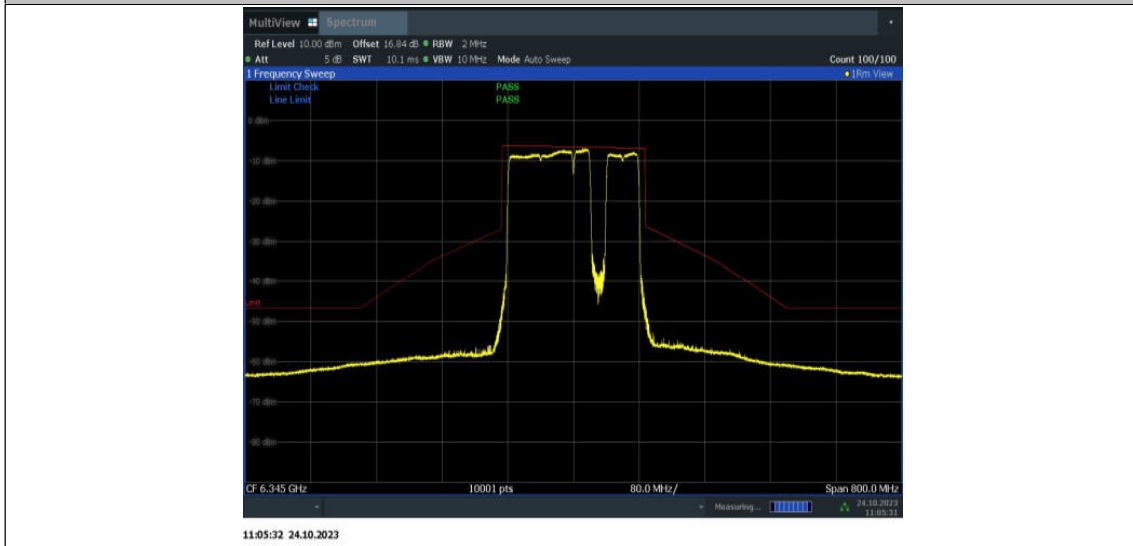
11BE160MIMO_Ant15_6345_996+484+242_OFDMA_4



11BE160MIMO_Ant15_6345_996+484+242_OFDMA_5



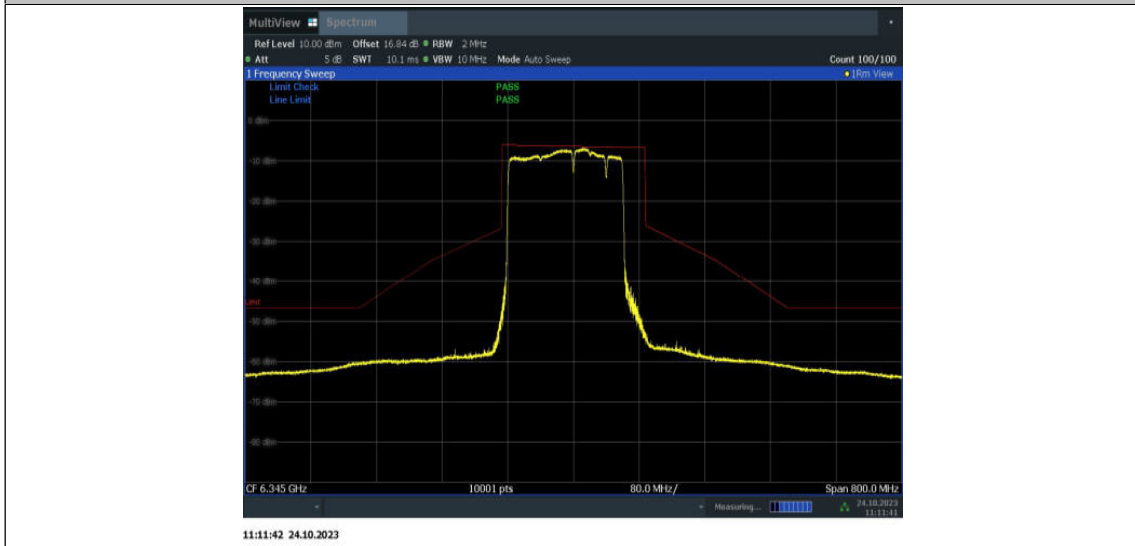
11BE160MIMO_Ant15_6345_996+484+242_OFDMA_6



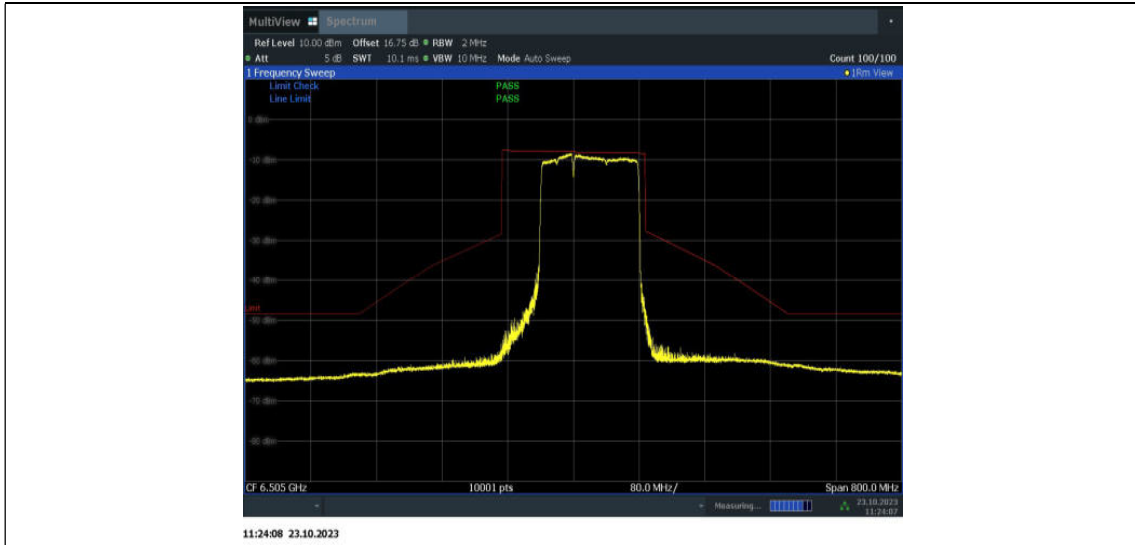
11BE160MIMO_Ant15_6345_996+484+242_OFDMA_7



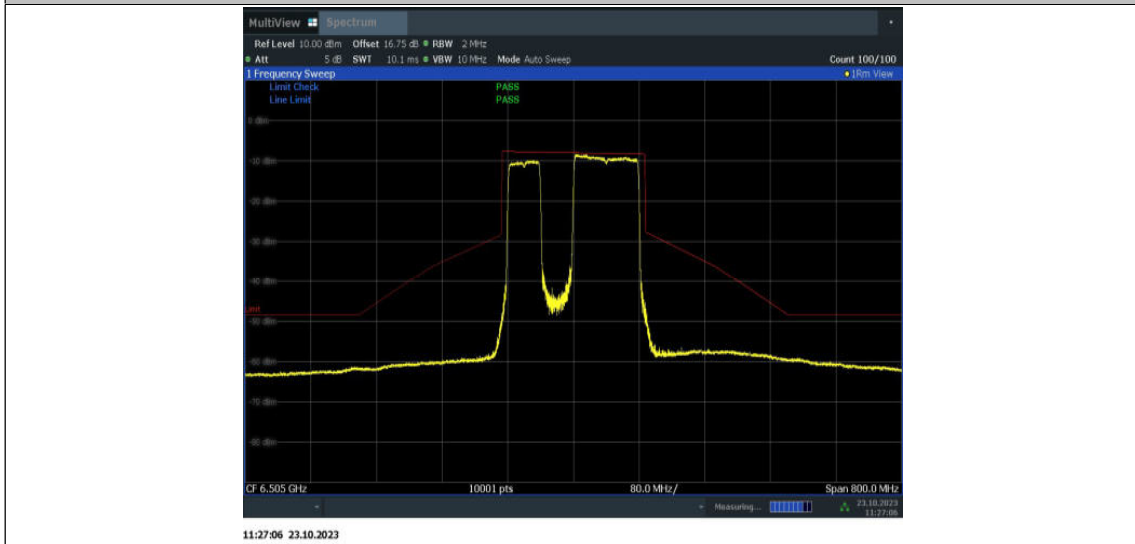
11BE160MIMO_Ant15_6345_996+484+242_OFDMA_8



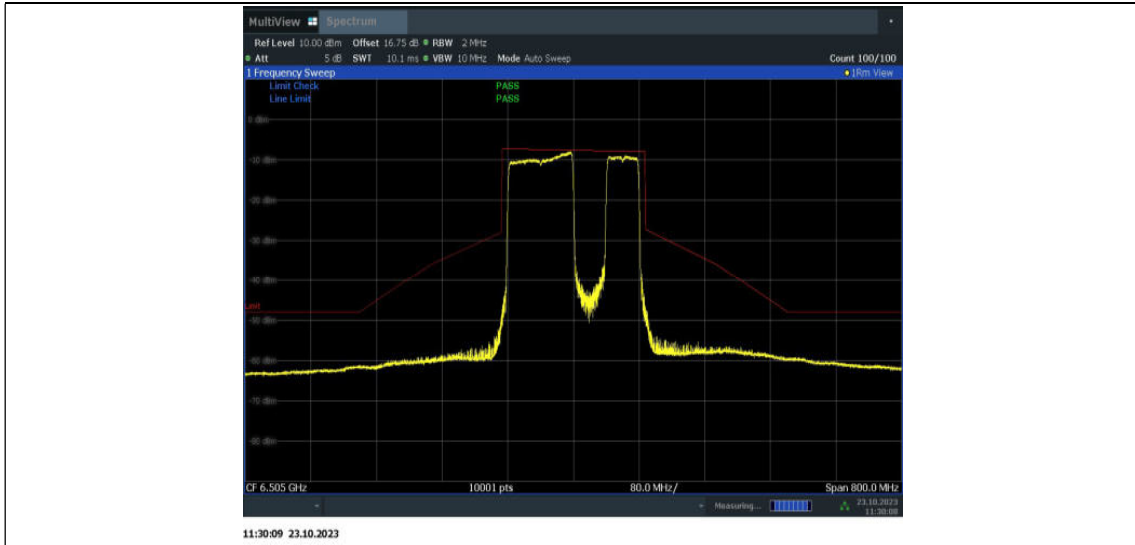
11BE160MIMO_Ant9_6505_996+484_OFDMA_1



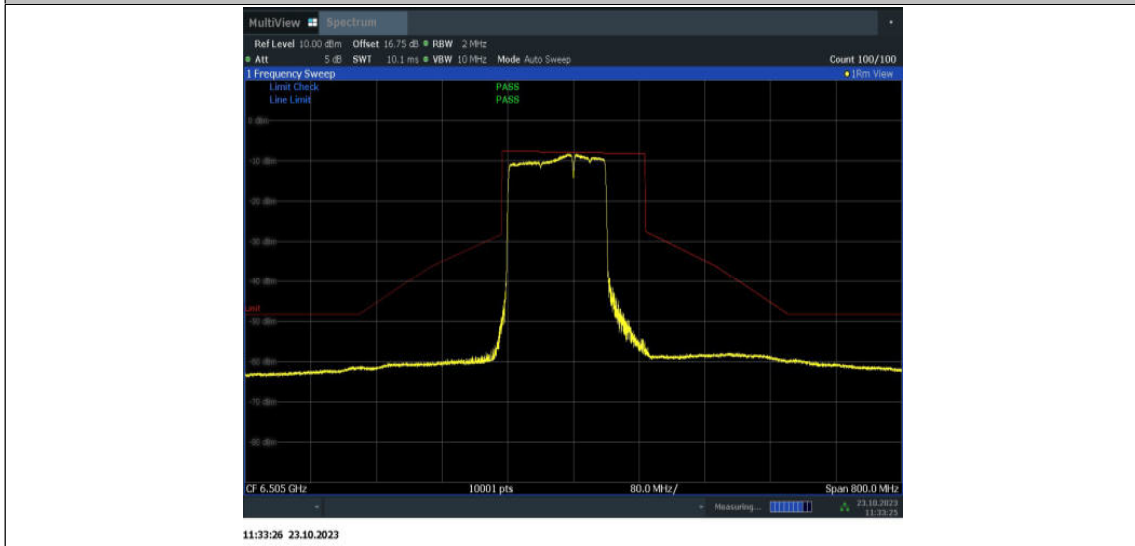
11BE160MIMO_Ant9_6505_996+484_OFDMA_2



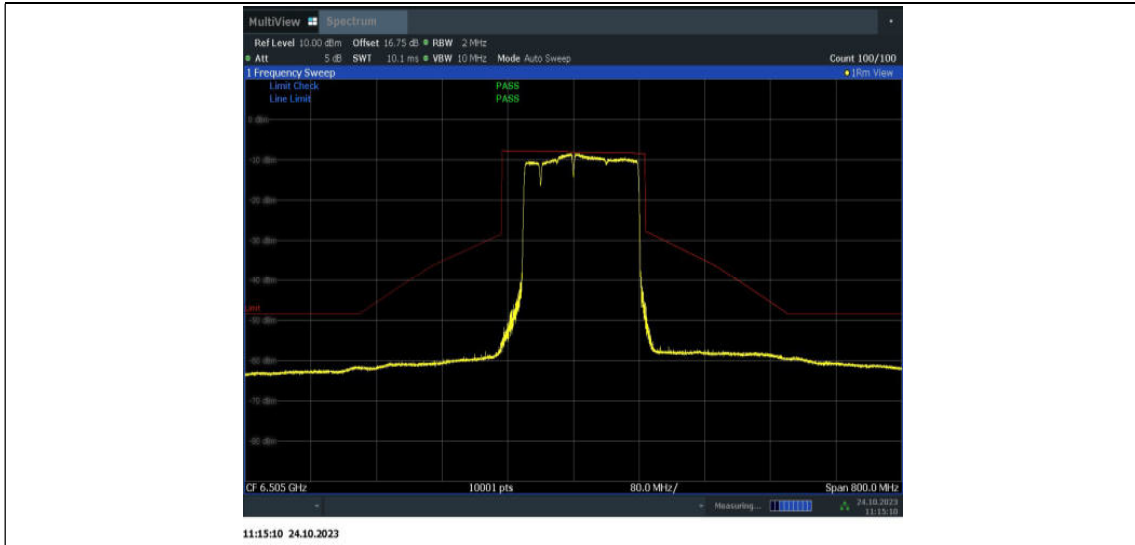
11BE160MIMO_Ant9_6505_996+484_OFDMA_3



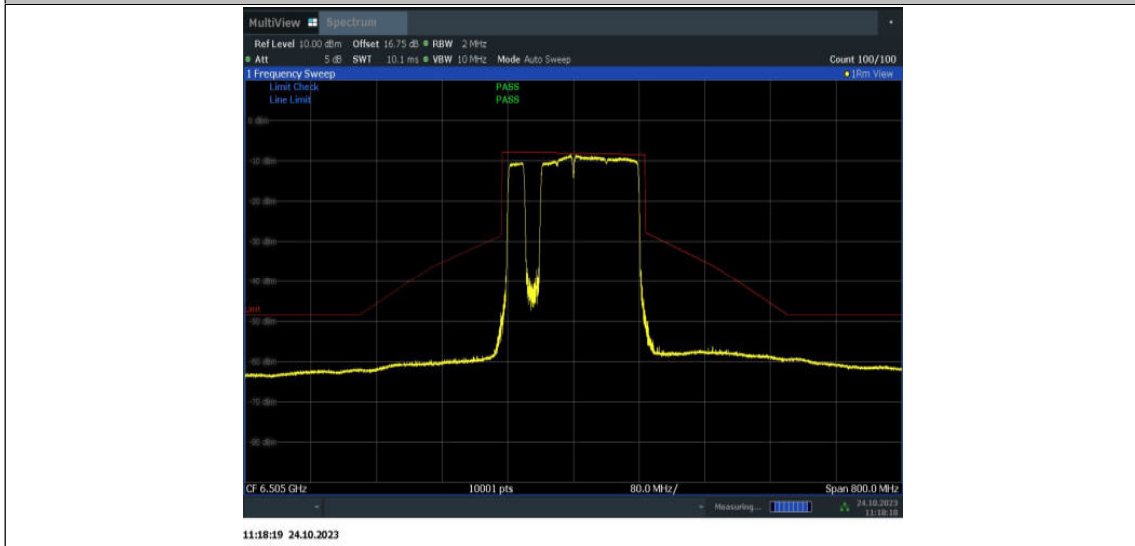
11BE160MIMO_Ant9_6505_996+484_OFDMA_4



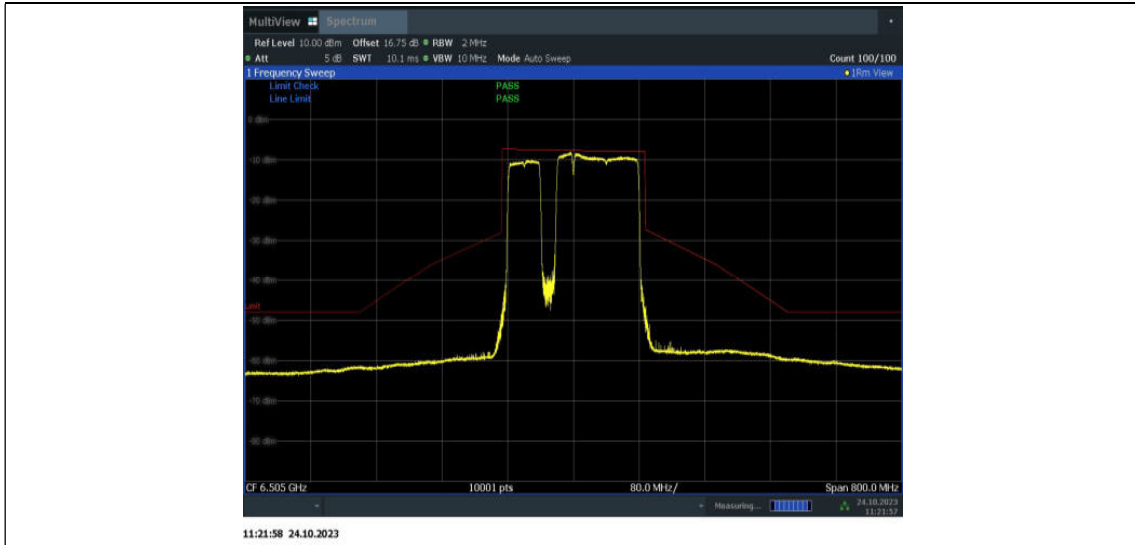
11BE160MIMO_Ant9_6505_996+484+242_OFDMA_1



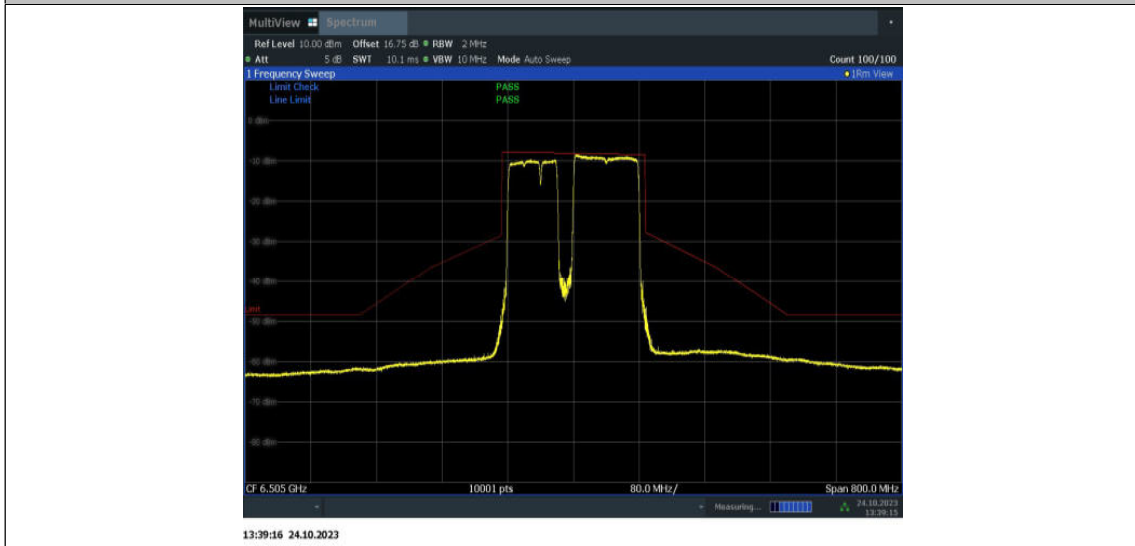
11BE160MIMO_Ant9_6505_996+484+242_OFDMA_2



11BE160MIMO_Ant9_6505_996+484+242_OFDMA_3



11BE160MIMO_Ant9_6505_996+484+242_OFDMA_4



11BE160MIMO_Ant9_6505_996+484+242_OFDMA_5